

QCD-Analyse von hadronischen τ -Lepton-Zerfällen

Diplomarbeit am
Institut für Physik
Johannes Gutenberg-Universität
Mainz

Florian Krajewski

Betreuer: Prof. Dr. J.G. Körner

Mainz, Juni 2000

Inhaltsverzeichnis

1	Einleitung	1
2	Quantenchromodynamik (QCD)	3
2.1	QCD - Die Theorie der starken Wechselwirkung	3
2.2	Renormierung	5
2.3	Dimensionale Regularisierung	7
2.3.1	Einfaches Beispiel für die dimensionale Regularisierung	7
2.3.2	Definition des “Integrals” in komplexwertigen Dimensionen	9
2.3.3	Clifford-Algebra in d Dimensionen	10
2.4	Berechnung von Schleifenintegralen	10
2.4.1	Das Ein-Schleifen-Integral	10
2.4.2	Das Zwei-Schleifen-Master-Integral	11
2.4.3	Drei-Schleifen-Diagramme	11
2.4.4	Vier Schleifen-Diagramme	12
2.5	Beispiele für Renormierungsschemata	13
3	Die Renormierungsgruppe (RG)	17
3.1	Die Gruppe der endlichen Renormierungen	18
3.2	Die Abhängigkeit von der Renormierungsskala	19
3.3	Lösungen der RG-Gleichungen	21
3.3.1	Exakte Lösung der RG-Gleichungen	21
3.3.2	Iterative Lösung der RG-Gleichungen	22
3.4	Die Gruppe der Skalentransformationen	23
3.5	Das Transformationsverhalten der β - und γ -Funktionen	24
3.5.1	Invarianz der RG-Funktionen unter Skalen-Transformationen	26
4	Theoretische Grundlagen des τ-Zerfalls	29
4.1	Die effektive Lagrangedichte der schwachen Wechselwirkung	30
4.2	Berechnung der τ -Zerfallsrate	31
4.2.1	Das Optische Theorem	31
4.2.2	Berechnung des Matrixelementes	33

4.3	Leptonische Zerfälle des τ -Leptons	37
4.4	Die relative Zerfallsrate R_τ	38
4.5	Die Zerlegung der Korrelationsfunktion in einen q - und einen g -Teil	39
4.6	Die Integration über die Kontur	39
5	Die Korrelationsfunktion	41
5.1	Herleitung der Dispersionsrelation	41
5.1.1	Die Spektraldichte für skalare Felder	41
5.1.2	Die Dispersionsrelation für skalare Felder	43
5.2	Dispersionsrelationen	44
5.3	Die Adlerfunktion	45
5.4	Die Operator-Produkt-Entwicklung (OPE)	45
5.5	Die Massenentwicklung der Korrelationsfunktion	46
5.6	Resultate für die Massenentwicklung der Korrelationsfunktion	49
6	Der masselose Teil	51
6.1	Interne störungstheoretische Beschreibung	51
6.2	τ -Lepton-Zerfallsrate	58
6.3	Infrarot-Fixpunktmodell	60
6.4	Zusammenfassung von Kapitel 6	62
7	Strange-Quarkmassen-Korrektur	63
7.1	Der g -Teil der Korrelationsfunktion	63
7.2	Der q -Teil der Korrelationsfunktion	67
7.3	Massenkorrektur zu τ -Lepton-Observablen	71
7.3.1	Totale τ -Lepton-Zerfallsrate	71
7.3.2	Die '1+0'-Methode	72
7.4	Zusammenfassung von Kapitel 7	75
8	Bestimmung der starken Kopplungskonstante α_s	77
8.1	Bestimmung der Kopplungskonstante mit FOPT	79
8.2	Bestimmung der Kopplungskonstante mit CIPT	83
8.3	Zusammenfassung von Kapitel 8	84
9	Bestimmung der Strange-Quarkmasse m_s	85
9.1	Resummation in einem effektiven Renormierungsschema	86
9.1.1	Definition des effektiven Schemas	87
9.1.2	Das Laufen der Kopplungs- und der Koeffizientenfunktionen	88
9.1.3	Resummation	90
9.2	Bestimmung der $\overline{\text{MS}}$ -Strange-Quarkmasse	92
9.2.1	Relation zwischen der $\overline{\text{MS}}$ -Masse und den effektiven Massenparametern	93
9.2.2	Kondensatkorrekturen der Dimension $D = 4$	94
9.2.3	Nummerische Resultate	97

9.3 Zusammenfassung von Kapitel 9	99
10 Zusammenfassung	101
A Feynman-Regeln der Quantenchromodynamik	103
B Die Gegenbauer-Polynom-Technik	107
C Das Ein-Schleifen-Integral	109
D Das Zwei-Schleifen-Master-Integral	111
E Rekursionsbeziehung für das Zwei-Schleifen-Integral	113
Danksagung	121

Kapitel 1

Einleitung

Das Studium der Zerfälle von τ -Leptonen bietet eine Vielzahl von Informationen über die niedrigenergetische Hadronphysik, wobei sich die Genauigkeit der experimentellen Daten in diesem Gebiet ständig verbessert [1, 2, 3, 4]. Die zentrale Größe ist hierbei die hadronische Spektraldichte bzw. die mit ihr verbundene Korrelationsfunktion, die mit einem großen Grad an Genauigkeit im Rahmen der Störungstheorie berechnet wurde. Die Observablen des τ -Systems sind durch Momente der Spektraldichte [5, 6, 7] gegeben. Sie wurden im Rahmen der Operator-Produkt-Entwicklung (OPE) in den letzten Jahren intensiv untersucht [8, 9, 10, 11, 12]. Dies macht die Physik der τ -Leptonen zu einem wichtigen Gebiet der phänomenologischen Elementarteilchenphysik, in dem die theoretischen Vorhersagen der Quantenchromodynamik (QCD) mit experimentellen Daten bei hoher Präzision konfrontiert werden können.

In dieser Arbeit wird die Störungsreihe von τ -Lepton-Observablen in endlicher Ordnung (FOPT¹) untersucht. Es zeigt sich, dass sowohl für die Cabibbo-bevorzugten Zerfälle ($s = 0$) als auch für die Strange-Quarkmassen-Korrektur der Cabibbo-unterdrückten Zerfälle ($s = 1$) die ultimative Genauigkeit der Störungsreihe aufgrund ihrer asymptotischen Struktur bereits erreicht ist [13, 14]. Diese Schlussfolgerung ist in einer vom Renormierungsschema unabhängigen Art und Weise möglich. Will man theoretische Vorhersagen erzielen, die in ihrer Genauigkeit mit den heute schon vorhandenen experimentellen Daten der Cabibbo-bevorzugten Zerfälle und den in naher Zukunft verfügbaren Daten der Cabibbo-unterdrückten Zerfälle vergleichbar sind, so ist eine Neuinterpretation der QCD-Störungsreihen unumgänglich. Zwei Probleme von besonderem Interesse sind hierbei eine genauere Bestimmung der starken Kopplungskonstanten α_s und der Strange-Quarkmasse m_s [15, 16].

Die Bestimmung des numerischen Wertes der starken Kopplungskonstante bei niedrigen Energien wie der τ -Lepton-Masse ermöglicht einen beeindruckenden Test der QCD. Der bei niedrigen Energien bestimmte Wert der starken Kopplungskonstante kann mit Hilfe des Formalismus der Renormierungsgruppe (RG) auf große Energien übertragen werden. So kann dieser Wert mit aus Hochenergieexperimenten bestimmten Werten für α_s verglichen

¹FOPT steht für “finite order perturbation theory”

werden. Auf diese Weise lässt sich die Gültigkeit der QCD in einen Energiebereich von einem bis zu einigen hundert GeV auf ihre Konsistenz testen. Aus theoretischer Sicht erwartet man aufgrund der großen Anzahl bereits berechneter Terme der Störungsreihe einen hohen Grad an Genauigkeit bei der Bestimmung der starken Kopplungskonstante α_s durch τ -Zerfälle. Da jedoch der numerische Wert der starken Kopplungskonstante im Energiebereich der τ -Lepton-Masse nicht klein ist, sind die Beiträge von Termen höherer Ordnung in α_s entscheidend. Hier zeigt sich die asymptotische Struktur der Störungsreihe, welche die Genauigkeit der Kopplungskonstante α_s beschränkt. In dieser Arbeit wird ein neues Verfahren zur Bestimmung der starken Kopplungskonstante aus der Störungsreihe vorgeschlagen. Ein entscheidender Vorteil dieses Verfahrens ist die Unabhängigkeit der Resultate von dem verwendeten Renormierungsschema.

Auch die bei der Bestimmung der Strange-Quarkmasse m_s auftretende Störungsreihe zeigt bereits in den heute bekannten Termen asymptotischen Charakter. Dies macht auch bei diesem Problem eine Neuinterpretation der Störungsreihe notwendig. Die Wahl eines Resummationsverfahrens, mit dem aus einer divergenten Reihe ein numerischer Wert extrahiert werden kann, ist nicht eindeutig und es gibt viele Möglichkeiten, eine asymptotische Reihe zu resumieren oder ihr Konvergenzverhalten zu verbessern [17, 18]. Das in dieser Arbeit für die Bestimmung von m_s verwendete Resummationsverfahren wurde nach folgenden Kriterien ausgewählt: Das Renormierungsschema soll dem physikalischen Problem angemessen und so einfach wie möglich sein. Außerdem muss die durch die Renormierungsgruppe gegebenen Struktur der Störungsreihe berücksichtigt werden. Aus diesem Grund wird für die Bestimmung der Strange-Quarkmasse die sogenannte konturverbesserte Störungstheorie (CIPT²) [19, 20] verwendet und ein effektives Renormierungsschema (nicht das “modified minimal subtraction”- $(\overline{\text{MS}})$ -Schema) mit effektiver Ladung und Massen verwendet, welches für das τ -System natürlich ist.

Die vorliegende Arbeit gliedert sich folgendermaßen: Im ersten Teil werden die für die Analyse der Störungsreihen notwendigen Aspekte der QCD als renormierbare Quantenfeldtheorie wiederholt und die durch die Renormierungsgruppe gegebene Struktur der Störungsreihe beschrieben. Außerdem werden die für die Beschreibung von τ -Lepton-Zerfällen notwendigen theoretischen Grundlagen hergeleitet, wie der Ausdruck für die relative τ -Lepton-Zerfallsrate und die Eigenschaften der Korrelationsfunktion zweier Hadronströme. Insbesondere sind die für die perturbative Berechnung der Korrelationsfunktion zweier Hadronströme notwendigen Techniken – das Berechnen von masselosen Graphen mit Gegenbauer-Polynomen (GPXT³) sowie die Methode der partiellen Integration – beschrieben.

Im zweiten Teil werden die im Rahmen meiner Arbeit neu erzielten Ergebnisse vorgestellt. Die Störungsreihen für τ -Lepton-Observable aus Cabibbo-bevorzugten-Zerfällen und die Störungsreihen der bei Cabibbo-unterdrückten Zerfällen notwendigen m_s^2 -Korrektur aufgrund der Strange-Quarkmasse werden auf ihr asymptotisches Verhalten analysiert. In den beiden letzten Kapiteln werden die starke Kopplungskonstante α_s und die Strange-Quarkmasse (m_s) mit den oben erwähnten Verfahren bestimmt.

²CIPT steht für “contour improved perturbation theory”

³GPXT steht für “Gegenbauer polynomial X space technique”

Kapitel 2

Quantenchromodynamik (QCD)

2.1 QCD - Die Theorie der starken Wechselwirkung

Die Quantenchromodynamik (QCD) ist eine renormierbare Quantenfeldtheorie, die die starke Wechselwirkung beschreibt. Ein guter Übersichtsartikel über QCD ist [21]. Ihre fundamentalen Felder sind die Spin-1/2-Felder der Quarks, welche gebrochene elektrische Ladungen tragen und ein nicht-abelsches Spin-1-Eichfeld, das die Gluonen beschreibt. Das Gluonfeld wechselwirkt mit den Quarkfeldern, mit zur Erhaltung der Unitarität der S -Matrix im Quantisierungsprozess einzuführenden Geistfeldern und mit sich selbst. Die Quarkfelder werden durch Dirac-Spinoren $q_{\alpha i}^A$ beschrieben. α bezeichnet den Spinorindex und wird mit der 4-dimensionalen Spinordarstellung der Lorenzgruppe transformiert. i bezeichnet das Flavour des Quarkfeldes. In der QCD besitzt das Flavour keine dynamische Funktion, sondern spielt nur die Rolle einer weiteren Quantenzahl. Zur Zeit sind sechs verschiedene Flavours bekannt, die in drei Generationen eingeteilt werden $((u, d), (s, c), (b, t))$. Nimmt man eine Symmetrie zwischen den Generationen der Leptonen und Quarks an, so lässt sich die Existenz einer vierten Quarkgeneration mit großer Wahrscheinlichkeit ausschließen. Experimentell kann kein Zerfallskanal des Z_0 -Bosons in ein Neutrino-Antineutrino-Paar der vierten Generation nachgewiesen werden. Dieses müsste somit mehr als die halbe Masse des Z_0 -Bosons besitzen¹. Der Index A an den Quarkfeldern steht für den Farbfreiheitsgrad. Es wird angenommen, dass es genau drei verschiedene Farbladungen gibt, die nach den Grundfarben mit rot, grün und blau bezeichnet werden. Für genau drei Farbladungen sprechen verschiedene experimentelle Tatsachen, von denen hier zwei genannt werden sollen:

1. Baryonen sind gebundene Zustände aus drei Quarks. Da Quarks Fermionen sind, müssen sie dem Pauli-Prinzip Rechnung tragen und eine antisymmetrische Wellenfunktion bilden. Das Ω^- ist der gebundene Grundzustand aus drei Strange-Quarks mit Gesamtspin 3/2. Das bedeutet, dass die Spin-Wellenfunktion vollständig symmetrisch ist. Außerdem wird angenommen, dass sich die Quarks in einem symmetrischen s -Zustand befinden. Will man an Quarks festhalten, welche das Pauliprinzip

¹An dieser Stelle sei Prof. Dr. K. Jakobs für ein hilfreiches Gespräch gedankt.

erfüllen, so ist es notwendig, eine weitere Quantenzahl einzuführen, bezüglich derer die Wellenfunktion des Ω^- antisymmetrisch ist. Diese Quantenzahl wird aus anschaulichen Überlegungen heraus als Farbquantenzahl bezeichnet. Dies und die experimentelle Tatsache, dass Hadronen mit Farbladung in der Natur nicht beobachtet werden, führt zu der Annahme, dass Quarks eine Farbladung besitzen und Hadronwellenfunktionen total antisymmetrisch in der Farbwellenfunktion sind.

2. Für große Energien und abseits der nichtperturbativen Resonanzen erwartet man bei einer asymptotisch freien Theorie wie der QCD, dass die Effekte der Wechselwirkung gering sind. Für den e^+e^- -Vernichtungs-Wirkungsquerschnitt in Hadronen ist das Partonmodell unter diesen Bedingungen eine gute Approximation. Für das Verhältnis des totalen Wirkungsquerschnittes der e^+e^- -Vernichtung in Hadronen und Myonen erhält man

$$R = \frac{\sigma(e^+e^- \rightarrow \text{Hadronen})}{\sigma(e^+e^- \rightarrow \mu^+\mu^-)} = N_c \sum_f Q_f^2, \quad (2.1)$$

wobei N_c die Anzahl der Farbfreiheitsgrade und Q_f die elektromagnetische Ladung der Quarks in Einheiten der Elementarladung bezeichnet. Ein Vergleich mit experimentellen Befunden führt zu $N_c = 3$.

Wegen $N_c = 3$ sind die einzigen möglichen einfachen Lie-Gruppen, die als Eichgruppen für die Farbladung in Frage kommen, $SO(3)$ und $SU(3)$. Es stellt sich heraus, dass Eichtheorien mit Eichgruppe $SO(3)$ und mehr als 2 Flavours keine asymptotische Freiheit besitzen ($\beta_0^{SO(3)} = 11/3 - 4/3n_f$) [24], wogegen Eichtheorien mit Eichgruppe $SU(3)$ mit bis zu 16 Flavours noch asymptotisch frei sind ($\beta_0^{SU(3)} = 11 - 2/3n_f$). Außerdem würde in einer Theorie mit Eichgruppe $SO(3)$ ein Zweiquarksystem als Farbsingulett existieren, welches nicht beobachtet wird.

Die Dynanik der Wechselwirkung wird durch die Forderung nach lokaler Eichsymmetrie bestimmt. Um dies zu erreichen, muss ein Vektorfeld (A_μ^a , $a = 1, 2, \dots, 8$) eingeführt werden, das sich mit der adjungierten Darstellung der $SU(3)$ transformiert. Als lokal eichinvariante Lagrangefunktion ergibt sich

$$\mathcal{L}_{\text{Klassisch}} = -\frac{1}{4} G_{\mu\nu}^a G_a^{\mu\nu} + \sum_f \bar{\Psi}_f (iD^\mu - m_f) \Psi_f. \quad (2.2)$$

Ψ_f bezeichnet das Farbtripel aus Quarkspinoren ($q_{\alpha f}^R, q_{\alpha f}^G, q_{\alpha f}^B$) mit Flavour f , $G_{\mu\nu}^a$ den Gluon-Feldstärketensor,

$$G_{\mu\nu}^a = \partial_\mu A_\nu^a - \partial_\nu A_\mu^a + g f^{abc} A_\mu^b A_\nu^c \quad (2.3)$$

und D_μ die kovariante Ableitung,

$$D_\mu = \partial_\mu - ig A_\mu^a \frac{\lambda^a}{2}. \quad (2.4)$$

λ^a sind die infinitesimalen Generatoren der $SU(3)$. Sie erfüllen die Kommutator-Relation $[\lambda^a, \lambda^b] = 2if^{abc}\lambda^c$, wobei f^{abc} die Strukturkonstanten der $SU(3)$ sind. Der erste Term in Gl. (2.2) ist die Yang-Mills-Lagrangedichte, in der die Selbstwechselwirkung der Eichfelder enthalten ist. Die Stärke der Wechselwirkungen in (2.2) wird durch eine einzige Kopplungskonstante bestimmt. Es ist nicht möglich, verschiedene Kopplungskonstanten einzuführen, da die Eichgruppe eine einfache Liegruppe ist. Die Lagrangefunktion (2.2) ist invariant unter der lokalen Eichtransformation

$$\begin{aligned} A_\mu(x) = A_\mu^a(x) \frac{\lambda^a}{2} &\rightarrow U(x) A_\mu(x) U^{-1}(x) + \frac{i}{g} U(x) \partial_\mu U^{-1}(x) \\ \text{und} \quad \Psi(x) &\rightarrow U(x) \Psi(x) \\ \text{wobei} \quad U(x) &= \exp \left(i \theta^a(x) \frac{\lambda^a}{2} \right). \end{aligned} \quad (2.5)$$

Die Parameter $\theta^a(x)$ der lokalen $SU(3)$ Transformation sind Funktionen der Raumzeit. Bei der Quantisierung der Theorie stellt sich heraus, dass die Lagrangedichte (2.2) noch nicht vollständig ist. Es müssen zwei weitere Terme \mathcal{L}^{GF} (Eichfixierung) und \mathcal{L}^{FP} (Fadeev-Popov-Counterterm) hinzugefügt werden, um die Unitarität der S -Matrix zu gewährleisten.

$$\mathcal{L}^{GF} = -\frac{1}{2\zeta} (\partial_\mu A^\mu)^2 \quad (2.6)$$

$$\mathcal{L}^{FP} = (\partial^\mu \bar{C}^a) \nabla_\mu^{ab} C^b \quad (2.7)$$

Hier bezeichnet ∇_μ^{ab} die adjungierte kovariante Ableitung

$$\nabla_\mu^{ab} = \delta^{ab} \partial_\mu - g f^{abc} A_\mu^c. \quad (2.8)$$

Die Terme \mathcal{L}^{GF} und \mathcal{L}^{FP} zerstören die lokale Eichinvarianz der Theorie. An die Stelle der lokalen Eichinvarianz tritt eine neue Symmetrie, die BRS-Symmetrie. Die mit dieser Symmetrie verbundenen Relationen zwischen den Greenfunktionen sind die Slavnov-Taylor-Identitäten, die für den Beweis der Renormierbarkeit der Theorie eine zentrale Rolle spielen. Die volle Lagrangedichte der QCD ist somit

$$\mathcal{L}_{QCD} = -\frac{1}{4} G_{\mu\nu}^a G_a^{\mu\nu} + \sum_f \bar{\Psi}_f (i \not{D} - m_f) \Psi_f + \mathcal{L}^{GF} + \mathcal{L}^{FP}. \quad (2.9)$$

2.2 Renormierung

An der Lagrangefunktion (2.9) lassen sich die Feynman-Regeln (vgl. Anhang A) der QCD ablesen [22]. Mit ihnen ist es möglich, Greenfunktionen für Quark-Gluon-Prozesse perturbativ zu berechnen. Es zeigt sich, dass in der niedrigsten Ordnung die Parton-Modell-Resultate reproduziert werden. Die Baumgraphennährung der QCD stellt im Fall der τ -Lepton Zerfälle gerade das Partonmodell dar. Die eigentlichen Auswirkungen der Wechselwirkung werden erst durch Strahlungskorrekturen berücksichtigt. Die Baumgraphennährung

einer Quantenfeldtheorie ist eigentlich noch eine klassische Theorie, da sie in der Entwicklung des Erzeugendenfunktional für Einteilchen-irreduzible Greenfunktionen dem Term der Ordnung $(\hbar)^0$ entspricht. Die eigentlichen Quanteneffekte werden gerade durch Feynman-Graphen mit Schleifen beschrieben, da die Anzahl der Schleifen der Ordnung im Planckschen Wirkungsquantum \hbar entspricht, von der die Korrektur zu dem Erzeugendenfunktional für Einteilchen-irreduzible Greenfunktionen ist. Bei der Integration über interne Schleifenimpulse treten bei großen Impulsen Divergenzen auf (UV-Divergenzen). Zusätzlich entstehen in Theorien, die masselose Felder enthalten, Divergenzen bei kleinen Impulsen (IR Divergenzen). Um diesen divergenten Ausdrücken eine Bedeutung zu geben, wurde das Verfahren der Renormierung entwickelt.

In dieser Arbeit soll die allgemeine Theorie der Renormierung nicht behandelt werden, sondern es sollen kurz die Grundideen und ihre Konsequenzen beschrieben werden, so dass die Basis für das folgende Kapitel über die Renormierungsgruppe (RG) gelegt wird. Außerdem sollen Methoden erklärt werden, mit denen die für die Beschreibung des τ -Systems notwendigen perturbativen Ausdrücke berechnet werden, insbesondere die Regularisierung von masselosen Graphen mit Hilfe der dimensionalen Regularisierung.

Im Folgenden wird die Methode der multiplikativen Renormierung beschrieben. Um mit der Lagrangefunktion (2.9) endliche Greenfunktionen zu berechnen, müssen zunächst die in den Integrationen über die Schleifenimpulse auftretenden Divergenzen parametrisiert werden. Das geschieht durch die sogenannte Regularisierung. Das Standardverfahren hierfür ist die dimensionale Regularisierung, in der die Raumzeitdimension des Schleifenimpulses als Regulator dient. Der Vorteil dieser Regularisierung gegenüber anderen Methoden ist, dass durch sie keine Symmetrien der QCD zerstört werden und sich UV- und IR-Divergenzen gleichzeitig regularisieren lassen. Die Divergenzen der Integrale treten in den dimensionen regularisierten Integralen als Pole in der Raumzeitdimension bei $d = 4$ auf. Neben der dimensionalen Regularisierung gibt es noch eine Reihe weiterer Regularisierungsverfahren (Impuls Cut-Off, Pauli-Villars-Regularisierung, analytische Regularisierung, Gitter-Regularisierung), die aber Symmetrien der Theorie zerstören.

Aus den regularisierten Greenfunktionen erhält man endliche Funktionen, indem die Felder und Parameter der Theorie renormiert werden. Die nackten Felder und Parameter werden durch renormierte ersetzt, so dass die Greenfunktionen, ausgedrückt durch die renormierten Größen, endlich sind. Die nackten Felder $A_{B\mu}^a$, C_B^a , und Ψ_B werden durch die renormierten Felder ausgedrückt

$$A_{B\mu}^a = (Z_3)^{1/2} A_{R\mu}^a, \quad C_B^a = (\tilde{Z}_3)^{1/2} C_R^a, \quad \Psi_B = (Z_2)^{1/2} \Psi_R \quad (2.10)$$

und die nackten Parameter g_B , α_B und m_B durch die renormierten Parameter

$$g_B = Z_{\alpha_s}^{1/2} g_R, \quad \zeta = Z_\zeta \zeta_R \quad m = Z_m m_R. \quad (2.11)$$

Die Renormierungskonstanten können in der Kopplungskonstanten entwickelt werden. Falls die Schleifenintegrale dimensional regularisiert werden, haben die Renormierungskonstan-

ten die folgende Form:

$$Z = 1 + \sum_{i,j}^{0 < j \leq i} Z_{ij} \left(\frac{\alpha_s}{\pi} \right)^i \frac{1}{\epsilon^j} \quad \alpha_s := \frac{g^2}{4\pi}. \quad (2.12)$$

ϵ beschreibt die Abweichung der Dimension von 4 ($d = 4 - 2\epsilon$). Ausgedrückt durch die renormierten Felder und Parameter, sind die Greenfunktionen endlich. Durch diese Forderung sind die Z_{ij} allerdings noch nicht eindeutig bestimmt, da a priori nicht klar ist, wie der divergente Anteil einer Greenfunktion festgelegt wird, welcher durch Multiplikation mit den Renormierungsparametern subtrahiert werden muss. Diese Freiheit bezüglich der Hinzunahme endlicher Anteile wird am Ende dieses Kapitels und in dem Kapitel 3 über die Renormierungsgruppe weiter erläutert.

2.3 Dimensionale Regularisierung

Die Idee der dimensionalen Regularisierung besteht darin, die Integrale als analytische Funktion der Raumzeitdimension für Dimensionen zu berechnen, in denen die Integrale konvergent sind, und diese Resultate analytisch fortzusetzen. Die Dimension der Kopplungskonstante in der QCD-Lagrangedichte (2.9) ergibt sich zu

$$d_g = d - 2 \left(\frac{d-1}{2} \right) - \left(\frac{d-2}{2} \right) = \frac{1}{2}(4-d) =: \epsilon, \quad (2.13)$$

da die Wirkung dimensionslos ist und da Fermionfelder die kanonische Dimension $(d-1)/2$ und Bosonfelder die kanonische Dimension $(d-2)/2$ besitzen, was man an den kinetischen Termen der Lagrangedichte ablesen kann. Um für beliebige Raumzeitdimensionen die Dimensionslosigkeit der Kopplungskonstante zu erhalten, führt man eine Massenskala μ ein, die 't Hooftsche Renormierungsskala, und macht in der Lagrangedichte die Ersetzung

$$g \rightarrow \mu^\epsilon g, \quad (2.14)$$

wobei $\epsilon = (4-d)/2$ ist. In der so modifizierten Lagrangedichte bleibt die Kopplungskonstante für beliebige Raumzeitdimensionen dimensionslos. Durch die Verwendung der Methode der dimensionalen Regularisierung tritt also die Notwendigkeit auf, einen weiteren Parameter in die Theorie einzuführen, die Renormierungsskala μ . Im nächsten Kapitel über die Renormierungsgruppe wird sich zeigen, dass die Freiheit in der Wahl der Massenskala μ eine Untergruppe der Renormierungsgruppe parametrisiert, wobei die Renormierungsgruppe der Freiheit in der Wahl des Renormierungsschemas entspricht.

2.3.1 Einfaches Beispiel für die dimensionale Regularisierung

Um Integrale in dem Rahmen der dimensionalen Regularisierung berechnen zu können, ist es notwendig, zunächst eine Wick-Rotation durchzuführen, um im euklidischen Raum

rechnen zu können. Als Beispiel [22] kann das Integral

$$\int \frac{d^d k}{(2\pi)^d} \frac{k^{2\alpha}}{(k^2 + \Delta)^\beta} = \frac{\Omega_d}{(2\pi)^d} \int_0^\infty dk \frac{k^{d-1+2\alpha}}{(k^2 + \Delta)^\beta} \quad (2.15)$$

verwendet werden. In Gl. (2.15) wurde die Winkelintegration bereits ausgeführt, was einfach ist, da der Integrand nur vom Betrag der Integrationsvariablen abhängt². Um das radiale Integral aus Gl. (2.15) zu berechnen, substituiert man für k^2

$$k^2 = \frac{\Delta}{x} - \Delta, \quad 2k dk = -\frac{\Delta}{x^2} dx \quad (2.18)$$

und erhält für Gl. (2.15)

$$\frac{\Omega_d}{2(2\pi)^d} \Delta^{d/2-\beta+\alpha} \int_0^1 dx x^{\beta-d/2-\alpha-1} (1-x)^{d/2+\alpha-1}. \quad (2.19)$$

Das Integral über x kann mit Hilfe der Definition der Beta-Funktion ausgewertet werden

$$\int_0^1 x^{\alpha-1} (1-x)^{\beta-1} = B(\alpha, \beta) = \frac{\Gamma(\alpha) \Gamma(\beta)}{\Gamma(\alpha + \beta)}. \quad (2.20)$$

Setzt man Gl. (2.20) und Gl. (2.17) in Gl. (2.19) ein, so erhält man das Resultat

$$\int \frac{d^d k}{(2\pi)^d} \frac{k^{2\alpha}}{(k^2 + \Delta)^\beta} = \frac{1}{(4\pi)^{d/2} \Gamma(d/2)} (\Delta)^{d/2+\alpha-\beta} \frac{\Gamma(\beta - \alpha - d/2) \Gamma(d/2 + \alpha)}{\Gamma(\beta)}. \quad (2.21)$$

Das ursprünglich zu berechnende Integral Gl. (2.15) war für $\alpha = 0$, $\beta = 2$ und $d = 4$ divergent und für $d = 1, 2, 3$ konvergent. Um das Verhalten von Gl. (2.15) in den Nähe von $d = 4$ zu untersuchen, setzt man $d = 4 - 2\epsilon$ und beachtet, dass $\Gamma(z)$ bei $z = 0, -1, -2, \dots$ Pole besitzt. Die Laurent-Entwicklung von $\Gamma(z)$ bei $z = 0$ ist

$$\Gamma(2 - d/2) = \Gamma(\epsilon) = \frac{1}{\epsilon} - \gamma_E + \mathcal{O}(\epsilon), \quad (2.22)$$

² Die Fläche der d -dimensionalen Einheitssphäre lässt sich folgendermaßen bestimmen [22]:

$$\begin{aligned} (\pi)^{d/2} &= \left(\int dx e^{-x^2} \right)^d = \int d^d x \exp \left(-\sum_{i=1}^d x_i^2 \right) \\ &= \Omega_d \int_0^\infty dx x^{d-1} e^{-x^2} = \Omega_d \frac{1}{2} \int_0^\infty d(x^2) (x^2)^{\frac{d}{2}-1} e^{-(x^2)} \\ &= \Omega_d \frac{1}{2} \Gamma(d/2). \end{aligned} \quad (2.16)$$

Daraus folgt

$$\Omega_d = \frac{2\pi^{d/2}}{\Gamma(d/2)}. \quad (2.17)$$

wobei $\gamma_M \approx 0.58$ die Euler-Mascheroni-Konstante ist. Damit ergibt sich für das Integral aus Gl. (2.15)

$$\int \frac{d^d k}{(2\pi)^d} \frac{1}{(k^2 + \Delta)^2} \stackrel{d \rightarrow 4}{=} \frac{1}{(4\pi)^2} \left(\frac{1}{\epsilon} - \ln(\Delta) - \gamma_M + \mathcal{O}(\epsilon) \right). \quad (2.23)$$

Die ursprüngliche Divergenz des Integrals wird durch den $1/\epsilon$ -Pol in der Laurent-Entwicklung parametrisiert. An dem Ergebnis Gl. (2.21) lässt sich eine Eigenschaft der dimensionalen Regularisierung ableiten. Der Grenzwert von Gl. (2.21) für $\beta \rightarrow 0$ ergibt

$$\int \frac{d^d k}{(2\pi)^d} k^{2\alpha} = 0. \quad (2.24)$$

2.3.2 Definition des “Integrals” in komplexwertigen Dimensionen

Der oben beschriebenen Idee der analytischen Fortsetzung des Wertes eines Integrals in komplexwertige Dimensionen folgend, definiert man die d -dimensionale Integration als Funktional mit folgenden Eigenschaften [23]

1. Linearität
2. Skalierungsverhalten analog zu dem gewöhnlicher Integrale
3. Translationsinvarianz
4. Um das so definierte Integral eindeutig zu machen, benötigt man noch eine Normierungsbedingung, die das Maß festlegt. Hierfür verwendet man:

$$\int d^d p e^{-p^2} = \pi^{d/2}. \quad (2.25)$$

5. Falls der Integrand nicht nur vom Betrag der Integrationsvariablen, sondern auch von weiteren Vektoren abhängt, wird das d -dimensionale Integral durch die Zerlegung der Integration über den Parallel- und Orthogonalraum erklärt. Der Parallelraum wird hierbei von den äußeren Vektoren aufgespannt und besitzt eine ganzzahlige positive Dimension. Die Integration über den Parallelraum über p_{\parallel} kann im herkömmlichen Sinne ausgeführt werden. Im Orthogonalraum hängt der Integrand nur vom Betrag der Integrationsvariablen p_T ab, so dass die Winkel- und Radialintegration faktorisieren und analog zum obigen Beispiel vorgegangen werden kann. Man definiert

$$\int d^d p f(p) = \Omega_{d-j} \int d^j p_{\parallel} \int_0^{\infty} dp_T p_T^{d-j-1} f(p). \quad (2.26)$$

6. Konvergiert das Integral aus Gl. (2.26) für $0 < \text{Re}(d) < d_{\max}$, so lässt sich für $-2l-2 < \text{Re}(d) < -2l$ zeigen:

$$\int d^d p f(p) = \Omega_d \int_0^\infty dp d^{d-1} \left(f(p^2) - f(0) - p^2 f'(0) \dots - (p^2)^l \frac{f^{(l)}(0)}{l!} \right). \quad (2.27)$$

Verhalten sich Funktionen polynomial bei $p \rightarrow \infty$ und konvergiert Gl. (2.26) für kein d , ist es sinnvoll, Gl. (2.27) als Definition für das Integral zu verwenden und es analytisch zu großen $\text{Re}(d)$ hin fortzusetzen.

2.3.3 Clifford-Algebra in d Dimensionen

Die d -dimensionale Regularisierung stellt eine Verallgemeinerung der Minkowski-Dimension des Schleifenimpulses dar, nicht aber der Dimension der Matrixdarstellung der Clifford-Algebra. Für die Clifford-Algebra in d Dimensionen gelten folgende Relationen:

$$\{\gamma^\mu, \gamma^\nu\} = 2g^{\mu\nu} \mathbb{1}, \quad g_\mu^\mu = d, \quad \gamma^\mu \gamma_\mu = d \mathbb{1}. \quad (2.28)$$

2.4 Berechnung von Schleifenintegralen

Bei der Berechnung von QCD-Strahlungskorrekturen treten verschiedene Typen von Integralen auf. Vernachlässt man die Massen der Quarks oder entwickelt die auftretenden Integranden in den Quarkmassen, so treten nur sog. masselose Schleifenintegrale auf, in denen die Masse nicht erscheint. Diese Integrale hängen nur noch von einer einzigen Skala ab, dem äußerem Impuls. Diese Abhängigkeit ist durch die Dimension des Integrals gegeben. Die homogene Abhängigkeit der Integrale von den äußeren Impulsen ist eine wichtige Eigenschaft, die es ermöglicht, viele Graphen höherer Ordnung auf verschachtelte Ein- und Zwei-Schleifen-Integrale zurückzuführen. Zur Berechnung der masselosen Integrale wird die Gegenbauer-Polynom-X-”Space”-Technik (GPXT) [28] verwendet, in der die Integrale im Ortsraum berechnet werden. Sie wird im Anhang B erklärt.

2.4.1 Das Ein-Schleifen-Integral

Das Ein-Schleifen-Integral ist durch

$$\int \frac{d^{4-2\epsilon}}{(2\pi)^{4-2\epsilon}} \frac{p^{(\mu_1 \dots \mu_n)}}{p^{2\alpha} (p-q)^{2\beta}} = \frac{G^{(n)}(\alpha, \beta)}{(4\pi)^{2-\epsilon}} \frac{q^{(\mu_1 \dots \mu_n)}}{(q^2)^{\alpha+\beta-2+\epsilon}} \quad (2.29)$$

gegeben, wobei $p^{(\mu_1 \dots \mu_n)}$ den symmetrischen, spurlosen Tensor n -ter Stufe bezeichnet, der aus dem Impuls und dem metrischen Tensor gebildet werden kann. Für $n = 1, 2, 3$ ist

$$\begin{aligned} q^{(\mu_1)} &= q^{\mu_1}, \\ q^{(\mu_1 \mu_2)} &= q^{\mu_1} q^{\mu_2} - \frac{1}{d} q^2 g^{\mu_1 \mu_2}, \\ q^{(\mu_1 \mu_2 \mu_3)} &= q^{\mu_1} q^{\mu_2} q^{\mu_3} - \frac{1}{d+2} q^2 \left(g^{\mu_1 \mu_2} q^{\mu_3} + g^{\mu_2 \mu_3} q^{\mu_1} + g^{\mu_3 \mu_1} q^{\mu_2} \right). \end{aligned} \quad (2.30)$$

Für die Funktion $G^{(n)}(\alpha, \beta)$ lässt sich ein geschlossener Ausdruck finden, der in Anhang (C) hergeleitet ist.

$$G^{(n)}(\alpha, \beta) = B(n + 2 - \alpha - \epsilon, 2 - \beta - \epsilon) \frac{\Gamma(\alpha + \beta - 2 + \epsilon)}{\Gamma(\alpha) \Gamma(\beta)} \quad (2.31)$$

2.4.2 Das Zwei-Schleifen-Master-Integral

Mit der Lösung für das Ein-Schleifen-Integral lassen sich bis auf das Zwei-Schleifen-Master-Integral³ alle Zwei-Schleifen-Integrale berechnen. Das Zwei-Schleifen-Master-Integral ist durch

$$\int \frac{d^{4-2\epsilon}p d^{4-2\epsilon}k}{(2\pi)^{2(4-2\epsilon)}} \frac{1}{p^{2\alpha}(p-q)^{2\beta}k^{2\gamma}(k-q)^{2\delta}(p-k)^{2\eta}} = \frac{F(\alpha, \beta, \gamma, \delta, \eta)}{(4\pi)^{4-2\epsilon}} \frac{1}{(q^2)^{\alpha+\beta+\gamma+\delta+\eta-4+2\epsilon}} \quad (2.32)$$

gegeben. Für die Funktion $F(\alpha, \beta, \gamma, \delta, \eta)$ existiert kein geschlossener Ausdruck für beliebige Argumente. Allerdings lassen sich mit der GPTX-Technik geschlossene Ausdrücke für einige Spezialfälle berechnen. Zum Beispiel kennt man

$$F(\alpha, \beta, 1, 1, 1) = \frac{G(1, 1)}{2 - 2\epsilon - \alpha - \beta} \left(\alpha (G(\alpha + 1, \beta) - G(\alpha + 1, \beta + \epsilon)) + (\alpha \leftrightarrow \beta) \right). \quad (2.33)$$

Ein analoges Resultat kann für ganzzahlige Werte von (γ, δ, η) gefunden werden. In Anhang (D) ist die Berechnung von $F(1, 1, 1, 1, 1)$ mit der GPXT-Technik skizziert. In der Praxis benötigt man oft nur eine begrenzte Anzahl von Termen der Laurententwicklung um $(d - 4)/2 = \epsilon$. Diese ist von $F(\alpha, \beta, \gamma, \delta, \eta)$ für eine begrenzte, aber relativ hohe Ordnung in ϵ für beliebige Werte von $\alpha, \beta, \gamma, \delta, \eta$ bekannt [28, 30].

2.4.3 Drei-Schleifen-Diagramme

Grundsätzlich ist es möglich, die GPXT-Technik auch auf nichttriviale Drei-Schleifen-Integrale anzuwenden. In der Praxis ist dies aber sehr mühsam und aufgrund der großen Anzahl von Drei-Schleifen-Diagrammen, die bei der Berechnung von Greenfunktionen auftreten, nicht praktikabel. Der Durchbruch bei der Berechnung von Drei-Schleifen-Korrekturen gelang mit der Entwicklung der Methode der partiellen Integration [30] von dimensional regularisierten Integralen. Die entscheidende Identität hierfür ist

$$\int d^d p \frac{d}{dp_\mu} f(p, \dots) = 0. \quad (2.34)$$

Gl. (2.34) lässt sich leicht beweisen, indem man mit einem beliebigen Vektor kontrahiert:

$$\int d^d p k_\mu \frac{d}{dp_\mu} f(p, \dots) = 0. \quad (2.35)$$

³Als ‘‘Master-Integral’’ bezeichnet man ein Integral, das den Zähler 1 besitzt und sich nicht als verschachtelung oder Produkt von einfacheren Integralen schreiben lässt.

Um dieses Integral zu definieren, muss k im Parallelraum liegen. Somit ist das Problem auf ein gewöhnliches Integral zurückgeführt. Die Identität (2.34) erlaubt es, dimensional regularisierte Integrale partiell zu integrieren, ohne dass dabei Randterme auftreten. Dies ermöglicht es, Rekursionsbeziehungen zwischen Graphen herzuleiten. Ein einfaches Beispiel für eine Rekursionsbeziehung dieser Art erhält man, indem man von

$$0 = \int \frac{d^d p d^d k}{(2\pi)^{2d}} \frac{\partial}{\partial p^\mu} \left(\frac{(p-k)^\mu}{p^2(p-q)^2 k^2 (k-q)^2 (p-k)^2} \right) \quad (2.36)$$

ausgeht. Durch Ausführen der Differentiation, Ergänzen der Terme im Zähler zu quadratischen Ausdrücken und Nutzung der Translationsinvarianz des Integrals (explizite Rechnung siehe Anhang E) erhält man die in Abbildung (2.1) dargestellte Identität.

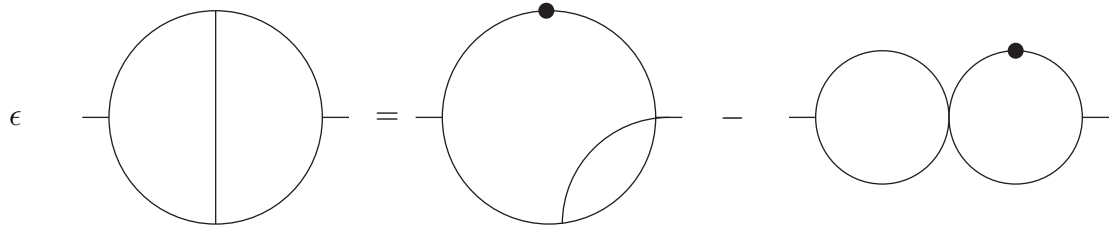


Abbildung 2.1: Darstellung des nichttrivialen Zwei-Schleifen-Diagramms durch zwei triviale Zwei-Schleifen-Diagramme. Einfache Linien symbolisieren Propagatoren der Form $1/p^2$ und Linien mit Punkt Propagatoren der Form $1/p^4$.

Mit Hilfe von Rekursionsbeziehungen dieser Art ist es möglich, einen Algorithmus zu entwickeln, um ein beliebiges Drei-Schleifen-Diagramm in eine Summe von Ein-Schleifen-Integralen und zwei fundamentalen Drei-Schleifen-Diagrammen (das nicht planare und das planare Drei-Schleifen-Master-Diagramm) zu transformieren.

Die beiden Drei-Schleifen-Master-Diagramme sind mit GPXT bis einschliesslich der Ordnung ϵ^0 berechenbar. Es stellt sich heraus, dass sie sich nur in Termen der Ordnung ϵ unterscheiden. Man findet

$$L_0 = N_0 + \mathcal{O}(\epsilon) = \frac{20\zeta(5)}{(4\pi)^6 k^4} + \mathcal{O}(\epsilon). \quad (2.37)$$

2.4.4 Vier Schleifen-Diagramme

Im Augenblick existiert noch kein Algorithmus, um ein beliebiges Vier-Schleifen-Integral zu berechnen. Allerdings genügt die Kontrolle der Drei-Schleifen-Integrale bis zu Ordnung ϵ^0 ,

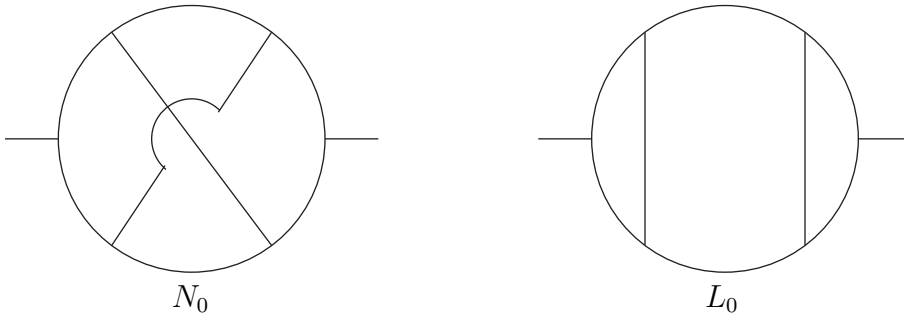


Abbildung 2.2: Das nicht planare und das planare Drei-Schleifen-Master-Diagramm (Linien symbolisieren skalare Propagatoren $1/p^2$)

um die Polstellen der Vier-Schleifen-Diagramme zu bestimmen und so die Vier-Schleifen-Koeffizienten der β - und γ -Funktion zu berechnen⁴.

2.5 Beispiele für Renormierungsschemata

Um die in der Störungstheorie auftretenden Divergenzen zu beseitigen, werden die Felder und Parameter der Theorie renormiert. Dies geschieht in der multiplikativen Renormierung durch die Multiplikation der Felder und Parameter mit den Renormierungskonstanten Z_i , die so gewählt werden müssen, dass die Greenfunktionen, ausgedrückt durch renormierte Größen, endlich werden. Diese Bedingung genügt nicht, um die Renormierungskonstanten eindeutig festzulegen. Der endlichen Anteil der Z_i mit $i = (2, 3, \tilde{3}, g, \zeta, m)$ ist frei wählbar, was der Ambivalenz der Definition des divergenten Anteils einer Greenfunktion entspricht. Um diesen eindeutig festzulegen, benötigt man Renormierungsbedingungen, welche das Renormierungsschema festlegen. Die numerischen Vorhersagen der Theorie werden sich in verschiedenen Renormierungsschemata voneinander unterscheiden, wobei die Unterschiede von der Ordnung höherer Terme in der Störungstheorie sind. Am Beispiel der Quark-Zwei-Punkt-Funktion soll hier die Freiheit der Wahl eines angemessenen Renormierungsschemas illustriert werden [29]. Der volle Quark-Propagator, welcher die QCD-Wechselwirkung berücksichtigt, ist durch

$$S_{AB}(p) = \int d^4x \langle 0 | T(q_A(x)\bar{q}_B(0)) | 0 \rangle e^{ip \cdot x} \quad (2.38)$$

definiert. Hierbei bezeichnet $|0\rangle$ das QCD-Vakuum und q_A den vollen Quark-Feld-Operator für ein Quark mit Farbladung A . Die Flavour- und Spinorindices werden in diesem Abschnitt unterdrückt. $S_{AB}(p)$ ist in nullter Ordnung der Störungstheorie durch

$$\overrightarrow{\text{---}} = \frac{i\delta_{AB} \not{p}}{p^2 + i\epsilon} = G_{AB}(p) \quad (2.39)$$

⁴Die β - und γ -Funktion werden in Kapitel 3 eingeführt.

gegeben, wenn die Quarkmasse vernachlässigt wird. In der ersten Ordnung in α_s trägt zu $S_{AB}(p)$ nur ein einziges Diagramm bei:

$$= G_{AB}(p) \delta_{BC} (-i\Sigma(\not{p})) G_{CD}(p) . \quad (2.40)$$

Der sich aus den Feynman-Regeln in der Feynman-Eichung ($\zeta = 1$) ergebende analytische Ausdruck für Σ ist

$$\Sigma(\not{p}) = -iC_F g^2 \int \frac{d^d k \mu^{2\epsilon}}{(2\pi)^d} \frac{\gamma_\mu(\not{p} + \not{k}) \gamma^\mu}{(p + k)^2 k^2} . \quad (2.41)$$

$\Sigma(\not{p})$ lässt sich mit den für das Ein-Schleifen-Integral angegebenen Formeln im Rahmen der dimensionalen Regularisierung berechnen, wenn man beachtet, dass für die Gamma-Matrizen $\gamma_\mu \gamma^\nu \gamma^\mu = (2 - d)\gamma^\nu$ gilt. Für die Laurententwicklung von Σ um $d = 4$ ergibt sich

$$\Sigma(\not{p}) = -C_F \not{p} \frac{\alpha_s}{4\pi} \left(\frac{1}{\epsilon} + 1 + \ln(4\pi) - \gamma_E - \ln\left(\frac{-p^2}{\mu^2}\right) + \mathcal{O}(\epsilon) \right) , \quad (2.42)$$

wobei $\epsilon = (d - 4)/2$ ist. Die amputierte (mit ‘‘trunc’’ für truncated bezeichnete), nicht renormierte Quark-Zwei-Punkt-Funktion bis zur Ordnung α_s erhält man, nachdem die äußeren Propagatoren herausdividiert wurden:

$$\begin{aligned} S_{AB}^{B \text{ trunc}}(p) &= -i\delta_{AB} \not{p} \left(1 - C_F \frac{\alpha_s}{4\pi} \left(\frac{1}{\epsilon} + 1 + \ln(4\pi) \right. \right. \\ &\quad \left. \left. - \gamma_E - \ln\left(\frac{-p^2}{\mu^2}\right) + \mathcal{O}(\epsilon) \right) + \mathcal{O}(\alpha_s^2) \right) . \end{aligned} \quad (2.43)$$

Die renormierte Quark-Zwei-Punkt-Funktion ergibt sich aus der nicht renormierten durch die Renormierung der Quark-Wellenfunktion der Kopplungskonstante. Die Renormierung der Kopplungskonstante spielt erst ab der Ordnung α_s^2 eine Rolle, da sich renormierte und nackte Kopplung nur in Termen der Ordnung α_s^2 unterscheiden. Für die renormierte Quark-Zwei-Punkt-Funktion ergibt sich so

$$S_{AB}^{R \text{ trunc}}(p) = Z_2^{-1} S_{AB}^{B \text{ trunc}}(p) . \quad (2.44)$$

Setzt man für

$$Z_2^{-1} = 1 + \frac{\alpha_s}{4\pi} C_F z + \mathcal{O}(\alpha_s^2) , \quad (2.45)$$

so erhält man

$$\begin{aligned} S_{AB}^{R \text{ trunc}}(p) &= -i\delta_{AB} \not{p} \left(1 - C_F \frac{\alpha_s}{4\pi} \left(\frac{1}{\epsilon} - z + 1 \right. \right. \\ &\quad \left. \left. + \ln(4\pi) - \gamma_E - \ln\left(\frac{-p^2}{\mu^2}\right) + \mathcal{O}(\epsilon) \right) + \mathcal{O}(\alpha_s^2) \right) . \end{aligned} \quad (2.46)$$

Um die Divergenz zu beseitigen, muss $z = \frac{1}{\epsilon} - z'$ gewählt werden. Für die renormierte Quark-Zwei-Punkt-Funktion ergibt sich

$$\begin{aligned} S_{AB}^{R \text{ trunc}}(p) &= -i\delta_{AB}\not{p} \left(1 - C_F \frac{\alpha_s}{4\pi} \left(z' + 1 \right. \right. \\ &\quad \left. \left. + \ln(4\pi) - \gamma_E - \ln\left(\frac{-p^2}{\mu^2}\right) + \mathcal{O}(\epsilon) \right) + \mathcal{O}(\alpha_s^2) \right). \end{aligned} \quad (2.47)$$

Der Parameter z' ist völlig unbestimmt und muss durch Renormierungsbedingungen festgelegt werden, die das Renormierungsschema definieren.

1. Im ‘‘minimal subtraction’’-(MS)-Schema wird nur der $1/\epsilon$ -Term subtrahiert, was zu $z' = 0$ führt. Für die Quark-Wellenfunktion-Renormierungskonstante und die Quark-Zweipunktfunktion ergibt sich

$$Z_2^{\text{MS}} = 1 - \frac{\alpha_s}{4\pi} C_F \frac{1}{\epsilon}, \quad (2.48)$$

$$\begin{aligned} S_{AB}^{\text{MS trunc}}(p) &= -i\delta_{AB}\not{p} \left(1 + C_F \frac{\alpha_s}{4\pi} \left(1 + \ln(4\pi) \right. \right. \\ &\quad \left. \left. - \gamma_E - \ln\left(\frac{-p^2}{\mu^2}\right) + \mathcal{O}(\epsilon) \right) + \mathcal{O}(\alpha_s^2) \right). \end{aligned} \quad (2.49)$$

2. Als Standard-Renormierungsschema für die QCD hat sich das ‘‘modified minimal subtraction’’-($\overline{\text{MS}}$)-Schema etabliert, in dem außer dem $1/\epsilon$ -Pol noch die durch die Entwicklung der Gammafunktion und des Faktors $1/(4\pi)^\epsilon$ auftretenden Terme $(\ln(4\pi) - \gamma_E)$ subtrahiert werden. Hier erhält man

$$Z_2^{\overline{\text{MS}}} = 1 - \frac{\alpha_s}{4\pi} C_F \left(\frac{1}{\epsilon} + \ln(4\pi) - \gamma_E \right), \quad (2.50)$$

$$S_{AB}^{\overline{\text{MS}} \text{ trunc}}(p) = -i\delta_{AB}\not{p} \left(1 + C_F \frac{\alpha_s}{4\pi} \left(1 - \ln\left(\frac{-p^2}{\mu^2}\right) + \mathcal{O}(\epsilon) \right) + \mathcal{O}(\alpha_s^2) \right). \quad (2.51)$$

Kapitel 3

Die Renormierungsgruppe (RG)

In diesem Kapitel sollen die bereits bekannten, durch die Renormierungsgruppe gegebenen, Resultate über die Struktur der Störungsreihen rekapituliert werden. Gute Ausführungen zu diesem Thema finden sich in [21, 29, 23]. Durch die Renormierung werden alle Divergenzen der Greenfunktionen systematisch in jeder Ordnung der Störungstheorie subtrahiert. In dieser Subtraktionsprozedur existiert die Unbestimmtheit der Definition des divergenten Anteils einer Greenfunktion oder, anders ausgedrückt, wieviel des endlichen Anteils der Greenfunktion mit der Divergenz zusammen subtrahiert werden soll. Diese Unbestimmtheit, die im ersten Kapitel am Beispiel der Quark-Zwei-Punkt-Funktion illustriert wurde, ist äquivalent zu der Freiheit, die nackte Lagrangedichte in die renormierte Lagrangedichte und die Counterterme aufzuteilen, und resultiert in der Freiheit, ein Renormierungsschema zu wählen.

Durch die Subtraktion von Divergenzen wird unvermeidlich eine unbestimmte Massenskala μ in die Theorie eingeführt, die sogenannte Renormierungsskala. Die Renormierungsskala im MS- bzw. $\overline{\text{MS}}$ -Schema besitzt eine implizite Struktur. In diesem Schema wird nur der Pol in der Raumzeitdimension (MS) bzw. der Pol in der Raumzeitdimension in Kombination mit $(\ln(4\pi) - \gamma_E)$ ($\overline{\text{MS}}$) subtrahiert, und auf den ersten Blick scheint es so, als ob keine zusätzliche Renormierungsskala benötigt wird. Allerdings zeigt sich, dass es notwendig ist, eine zusätzliche Skala einzuführen, um die Dimensionslosigkeit der Kopplungskonstante für beliebige Raumzeitdimensionen zu erhalten. Diese Skala spielt die Rolle der Renormierungsskala und ist vollkommen beliebig.

Insgesamt entsteht durch die Subtraktion von Divergenzen im Rahmen der Renormierung eine Unbestimmtheit in zweifacher Sicht:

1. Die Freiheit, Renormierungsbedingungen zu wählen, welche festlegen, wie die Divergenzen zu subtrahieren sind.
2. Die Freiheit, die Renormierungsskala μ festzulegen.

Es wird sich zeigen, dass die Unbestimmtheit der Renormierungsskala in der Freiheit der Wahl einer Renormierungsbedingung enthalten ist, und so die μ -Abhängigkeit von renormierten Größen eine Einparameter-Untergruppe der Renormierungsgruppe darstellt.

Aufgrund dieser Unbestimmtheit gibt es viele mögliche Ausdrücke für eine physikalische Größe, die von der Wahl des Renormierungsschemas und der Renormierungsskala abhängen. Diese unterschiedlichen Resultate der Theorie sind durch endliche Renormierungen miteinander verknüpft. Eine sich aufdrängende Frage ist, ob die unterschiedlichen Ausdrücke für eine physikalische Größe wirklich äquivalent sind, da sie alle dieselbe Observable beschreiben sollen und mit derselben nackten Lagrangefunktion berechnet wurden.

3.1 Die Gruppe der endlichen Renormierungen

Die Freiheit in der Wahl eines Renormierungsschemas wird durch die Gruppe der endlichen Renormierungen beschrieben. Greenfunktionen sind, ausgedrückt durch renormierte Größen, endlich. Die renormierten Größen hängen mit den nackten durch die Renormierungsparameter zusammen, welche durch das Renormierungsschema festgelegt werden. Angenommen, es werden zwei verschiedene Renormierungsschemata verwendet, die zu den renormierten Größen

$$\begin{aligned} A_{B\mu}^a &= (Z_3)^{1/2} A_{R\mu}^a, & C_B^a &= (\tilde{Z}_3)^{1/2} C_R^a, & \Psi_B &= (Z_2)^{1/2} \Psi_R, \\ \alpha_{sB} &= Z_{\alpha_s} \alpha_{sR}, & \zeta &= Z_\zeta \zeta_R & m_B &= Z_m m_R, \end{aligned} \quad (3.1)$$

und

$$\begin{aligned} A_{B\mu}^a &= (Z'_3)^{1/2} A_{R\mu}^{a'}, & C_B^a &= (\tilde{Z}'_3)^{1/2} C_R'^a, & \Psi_B &= (Z'_2)^{1/2} \Psi_R', \\ \alpha_{sB} &= Z'_{\alpha_s} \alpha'_{sR}, & \zeta &= Z'_\zeta \zeta'_R & m_B &= Z'_m m'_R \end{aligned} \quad (3.2)$$

führen. Von dem Schema $(A_{R\mu}^a, C_R^a, \Psi_R, \alpha_{sR}, \zeta_R, m_R)$ nach $(A_{R\mu}^{a'}, C_R'^a, \Psi_R', \alpha'_{sR}, \zeta'_R, m'_R)$ gelangt man durch eine endliche Renormierung, die durch

$$\begin{aligned} A_{R\mu}^{a'} &= (z_3)^{1/2} A_{R\mu}^a, & C_R'^a &= (\tilde{z}_3)^{1/2} C_R^a, & \Psi_R' &= (z_2)^{1/2} \Psi_R, \\ \alpha'_{sR} &= z_{\alpha_s} \alpha_{sR}, & \zeta' &= z_\zeta \zeta_R & m'_R &= z_m m_R \end{aligned} \quad (3.3)$$

gegeben ist. Die Parameter der endlichen Renormierung sind

$$\begin{aligned} z_3 &= Z_3/Z'_3, & \tilde{z}_3 &= \tilde{Z}_3/\tilde{Z}'_3, & z_2 &= Z_2/Z'_2, \\ z_{\alpha_s} &= Z_{\alpha_s}/Z'_{\alpha_s}, & z_\zeta &= Z_\zeta/Z'_\zeta, & z_m &= Z_m/Z'_m. \end{aligned} \quad (3.4)$$

Die Parameter z_i , ($i = 2, 3, \tilde{3}, \alpha_s, \zeta, m$) sind endlich, da sich die divergenten Anteile der Z'_i gegen die der Z_i wegheben. Wie die ursprünglich eingeführten divergenten Renormierungskonstanten Z_i sind auch die endlichen Renormierungskonstanten Potenzreihen in der Kopplungskonstante. Die Anzahl der Parameter der Gruppe hängt somit von der Ordnung ab, bis zu der die Störungstheorie betrieben wird.

Physikalische Resultate (im Folgenden mit P bezeichnet) dürfen nicht von der Wahl des Renormierungsschemas abhängen. Dies impliziert die Invarianz physikalischer Vorhersagen unter endlichen Renormierungen, was bedeutet

$$P'_{\text{exakt}}(p, \alpha'_{sR}, m'_R) = P_{\text{exakt}}(p, \alpha_{sR}, m_R). \quad (3.5)$$

Die Funktionen P und P' unterscheiden sich in ihrer funktionalen Form, so dass die experimentelle Bestimmung der Parameter α_{sR}, m_R durch das Anpassen von P an experimentelle Daten andere Resultate liefern wird als die Bestimmung von α'_{sR}, m'_R mit P' . Die Resultate für α_{sR}, m_R und α'_{sR}, m'_R müssen allerdings Gl. (3.3) erfüllen. In der Regel lassen sich Observable nur im Rahmen der Störungstheorie als Störungsreihe in der Kopplung α_s berechnen. Durch das Abbrechen der Störungsreihe nach einer endlichen Anzahl von Termen wird die durch die Renormierungsgruppe beschriebene Invarianz physikalischer Resultate bezüglich des Renormierungsschemas gebrochen. Anstelle von Gl. (3.5) erhält man in n -ter Ordnung der Störungstheorie

$$P'_n(p, \alpha'_{sR}, m'_R) - P_n(p, \alpha_{sR}, m_R) = \mathcal{O}(\alpha_{sR}^{n+1}). \quad (3.6)$$

Die nummerischen Vorhersagen der Theorie hängen also in höheren Ordnungen von dem gewählten Renormierungsschema ab.

3.2 Die Abhängigkeit von der Renormierungsskala

Durch die Renormierung tritt eine weitere Skala auf, die Renormierungsskala μ . Diese Skala ist zunächst vollkommen beliebig, so dass man von Observablen fordern muss, dass

$$\mu^2 \frac{d}{d\mu^2} P_{\text{exakt}}(p, \alpha_{sR}, m_R, \mu) = 0 \quad (3.7)$$

gilt, wobei die Differentiation nach der Renormierungsskala μ so zu verstehen ist, dass die nackten Parameter als konstant angenommen werden

$$\mu^2 \frac{d}{d\mu^2} \equiv \mu^2 \frac{d}{d\mu^2} \Big|_{\alpha_{sB}, m_B}. \quad (3.8)$$

Auch hier wird die Invarianz bezüglich der Renormierungsskala durch das Abbrechen der Störungsreihe nach endlich vielen Termen gebrochen, so dass man anstelle von Gl. (3.7) nur noch

$$\mu^2 \frac{d}{d\mu^2} P_n(p, \alpha_{sR}, m_R, \mu) = \mathcal{O}(\alpha_{sR}^{n+1}) \quad (3.9)$$

hat. Die Renormierungsskalenabhängigkeit der in der Störungstheorie berechneten Resultate ist von der Ordnung höherer Terme der Störungsreihe. Die totale Differentiation nach μ lässt sich ausschreiben als

$$\mu^2 \frac{d}{d\mu^2} = \mu^2 \frac{\partial}{\partial \mu^2} + \beta(\alpha_s) \frac{\pi \partial}{\partial \alpha_s} + 2m^2 \gamma(\alpha_s) \frac{\partial}{\partial m^2}, \quad (3.10)$$

wobei hier und im Folgenden Parameter ohne die Indizes (R, B) immer die renormierten Größen bezeichnen. Die β - und γ -Funktionen beschreiben die Abhängigkeit der renormierten

Kopplungskonstante α_s und der renormierten Masse m von der Renormierungsskala. Sie sind definiert als

$$\mu^2 \frac{d}{d\mu^2} \left(\frac{\alpha_s}{\pi} \right) = \beta(\alpha_s) = - \sum_{i \geq 0} \beta_i \left(\frac{\alpha_s}{\pi} \right)^{i+2} \quad (3.11)$$

und

$$\mu^2 \frac{d}{d\mu^2} m = m \gamma(\alpha_s) = -m \sum_{i \geq 0} \gamma_i \left(\frac{\alpha_s}{\pi} \right)^{i+1}. \quad (3.12)$$

Die Gleichungen (3.11) und (3.12) werden als Renormierungsgruppen-Gleichungen (RG-Gleichungen) für die Kopplungskonstante und die Quarkmassen bezeichnet. Die Koeffizienten der β - und γ -Funktion wurden bis zu Vier-Schleifen-Näherung berechnet. Dies ist möglich, da es genügt, die Polstellen der Graphen zu berechnen, um die Koeffizienten der β - und γ -Funktion zu bestimmen¹. Die Resultate für die Koeffizienten der β - und γ -Funktion sind [24, 25, 26]

$$\begin{aligned} \beta_0 &= \frac{1}{4} \left(11 - \frac{2}{3} n_f \right), & \beta_1 &= \frac{1}{16} \left(102 - \frac{38}{3} n_f \right) \\ \beta_2 &= \frac{1}{64} \left(\frac{2857}{2} - \frac{5033}{18} n_f + \frac{325}{54} n_f^2 \right), \\ \beta_3 &= \frac{1}{256} \left(\frac{149753}{6} + 3564 \zeta(3) - \left[\frac{1078361}{162} + \frac{6508}{27} \zeta(3) \right] n_f \right. \\ &\quad \left. + \left[\frac{50065}{162} + \frac{6472}{81} \zeta(3) \right] n_f^2 + \frac{1093}{729} n_f^3 \right); \\ \gamma_0 &= 1, & \gamma_1 &= \frac{1}{6} \left[\frac{202}{3} - \frac{20}{9} n_f \right], \\ \gamma_2 &= \frac{1}{64} \left[1249 - \left(\frac{2216}{27} + \frac{135680}{27} \zeta(3) \right) - \frac{140}{81} n_f^2 \right], \end{aligned} \quad (3.16)$$

¹Die Koeffizienten der β -Funktion lassen sich aus der Renormierungskonstanten für die Kopplungskonstante Z_{α_s} bestimmen, die sich wiederum aus den Polstellen der Feynman-Graphen ergibt [24]:

$$\mu^2 \frac{d}{d\mu^2} \alpha_s = -\epsilon \alpha_s - \alpha_s \frac{\partial}{\partial \alpha_s} \left(\alpha_s Z_{\alpha_s}^{(1)} \right) = -\epsilon \alpha_s + \beta(\alpha_s), \quad (3.13)$$

wobei $Z_{\alpha_s}^{(1)}$ der erste Term der Laurententwicklung von Z_{α_s}

$$Z_{\alpha_s}(\alpha_s) = 1 + \sum_{n=1}^{\infty} \frac{Z_{\alpha_s}^{(n)}(\alpha_s)}{\epsilon^n} \quad (3.14)$$

ist. Für die γ -Funktion hat man

$$\gamma(\alpha_s) = \alpha_s \frac{\partial Z_m^{(1)}}{\partial \alpha_s} \quad (3.15)$$

mit dem in Analogie zu $Z_{\alpha_s}^{(1)}$ definierten Koeffizienten $Z_m^{(1)}$ [26].

$$\begin{aligned}\gamma_3 = & \frac{1}{256} \left[\frac{4603055}{162} + \frac{135680}{27} \zeta(3) - 8800 \zeta(5) \right. \\ & - \left(\frac{91723}{27} + \frac{34192}{9} \zeta(3) - 880 \zeta(4) - \frac{18400}{9} \zeta(5) \right) n_f \\ & \left. + \left(\frac{5254}{243} + \frac{800}{9} \zeta(3) - \frac{160}{3} \zeta(4) \right) n_f^2 - \left(\frac{332}{243} - \frac{64}{27} \zeta(3) \right) n_f^3 \right]. \quad (3.17)\end{aligned}$$

Hierbei bezeichnet n_f die Anzahl der Flavours. Die Tatsache, dass sowohl die Kopplungskonstante als auch die Quarkmassen von der Renormierungsskala μ abhängen, zeigt deutlich, dass es sich hierbei um Parameter handelt, die nur indirekt mit messbaren Größen in Bezug stehen.

In der Störungstheorie berechnete Observable besitzen, wenn man von Quarkmassen absieht, die Form

$$P = \sum_{n_1 < n_2} c_{n_1, n_2} \left(\ln \frac{\mu^2}{Q^2} \right)^{n_1} \left(\frac{\alpha_s(\mu)}{\pi} \right)^{n_2}. \quad (3.18)$$

Da P von der Renormierungsskala μ nur durch höhere Ordnungen in der Kopplung α_s abhängt, kann man $\mu^2 = Q^2$ wählen und erhält so

$$P = \sum_{n_2} c_{0, n_2} \left(\frac{\alpha_s(Q)}{\pi} \right)^{n_2}. \quad (3.19)$$

Die Energieabhängigkeit von P lässt sich also durch die Energieabhängigkeit der Kopplungskonstante beschreiben.

3.3 Lösungen der RG-Gleichungen

Um die RG-Gleichungen für die Kopplungskonstante (3.11) und die Quarkmasse (3.12) zu lösen, kann man auf verschiedene Arten vorgehen. Werden die β - und die γ -Funktion nur in der führenden Ordnung berücksichtigt, so lassen sich beide Gleichungen exakt lösen. Im Rahmen der Störungstheorie bietet es sich an, die RG-Gleichungen iterativ als Reihe in α_s zu lösen, was zu beliebig hohen Korrekturen der β - bzw. γ -Funktion möglich ist. Im Rahmen der konturverbesserten Störungstheorie (CIPT) ist es notwendig, die RG-Gleichungen (3.11) und (3.12) numerisch zu lösen, wobei die RG-Funktionen als exakte Funktionen behandelt werden.

3.3.1 Exakte Lösung der RG-Gleichungen

Die RG-Gleichung der Kopplung hat, falls die β -Funktion nur in führender Ordnung verwendet wird, die Form

$$\mu^2 \frac{d}{d\mu^2} \left(\frac{\alpha_s(\mu)}{\pi} \right) = -\beta_0 \left(\frac{\alpha_s(\mu)}{\pi} \right)^2. \quad (3.20)$$

Für die Ableitung nach μ lässt sich auch schreiben

$$\mu^2 \frac{d}{d\mu^2} = -\frac{d}{d \ln(\mu'^2/\mu^2)} \equiv -\frac{d}{dl} , \text{ wobei } l = \ln\left(\frac{\mu'^2}{\mu^2}\right). \quad (3.21)$$

So ergibt sich

$$\frac{d}{dl} \alpha_s(\mu) = \frac{\beta_0}{\pi} (\alpha_s(\mu))^2. \quad (3.22)$$

Die Differentialgleichung (3.22) lässt sich separieren und integrieren, so dass man

$$\frac{1}{\alpha_s(\mu)} = -\frac{\beta_0}{\pi} l + \frac{1}{\alpha_s(\mu')} \quad (3.23)$$

erhält. Als Lösung für $\alpha_s(\mu)$ ergibt sich durch Auflösen von (3.23)

$$\alpha_s(\mu) = \frac{\alpha_s(\mu')}{1 - \beta_0/\pi \ln(\mu'^2/\mu^2) \alpha_s(\mu')}. \quad (3.24)$$

Die RG-Gleichung für die Quarkmasse (3.12) lässt sich für beliebige γ -Funktionen integrieren, so dass man

$$m(\mu) = m(\mu') \exp\left(-\int_0^{\ln(\mu'^2/\mu^2)} \gamma(\alpha_s(l)) dl\right) \quad (3.25)$$

erhält. Werden die β - und γ -Funktionen in führender Ordnung verwendet, so ist das Integral in Gl. (3.25) analytisch lösbar. Es ergibt sich

$$\int_0^l \gamma\left(\frac{\alpha_s(l')}{\pi}\right) dl' = \frac{\gamma_0}{\beta_0} \ln\left(1 - \beta_0 l \frac{\alpha_s}{\pi}\right), \quad (3.26)$$

wobei die Lösung für die laufende Kopplungskonstante (3.24) für $\alpha_s(\mu)$ verwendet wurde.

3.3.2 Iterative Lösung der RG-Gleichungen

Die RG-Gleichungen für die Kopplungskonstante und die Quarkmasse können als Anfangswertproblem der Form

$$-\frac{d}{dl} \frac{\alpha_s(l)}{\pi} = \beta\left(\frac{\alpha_s(l)}{\pi}\right), \quad \alpha_s(l=0) = \alpha_s(\mu=\mu') \quad (3.27)$$

und

$$-\frac{d}{dl} m(l) = m(l) \gamma\left(\frac{\alpha_s(l)}{\pi}\right), \quad m(l=0) = m(\mu=\mu') \quad (3.28)$$

geschrieben werden, wobei $l = \ln(\mu'^2/\mu^2)$ ist. Anfangswertprobleme dieser Form lassen sich mit der Picard'schen Iterationsfolge lösen. Für das Anfangswertproblem

$$\dot{X}(t) = F(t, X(t)), \quad X(t_0) = x_0 \quad (3.29)$$

definiert man gemäß

$$\begin{aligned} X_0(t) &:= x_0 \\ X_{n+1}(t) &:= x_0 + \int_{t_0}^t F(t', X_n(t')) dt' \end{aligned} \quad (3.30)$$

die Picard'sche Iterationsfolge, die gegen die Lösung des Anfangswertproblems (3.29) konvergiert. Wird dieses Lösungsverfahren auf die RG-Gleichungen (3.27, 3.28) angewendet, so erhält man als Lösungen für die laufende Kopplungskonstante

$$\begin{aligned} \frac{\alpha_s(\mu)}{\pi} &= \left(\frac{\alpha_s(\mu')}{\pi} \right) + \beta_0 l \left(\frac{\alpha_s(\mu')}{\pi} \right)^2 + \left(\beta_1 l + \beta_0^2 l^2 \right) \left(\frac{\alpha_s(\mu')}{\pi} \right)^3 \\ &\quad + \left(\beta_2 l + \frac{5}{2} \beta_1 \beta_0 l^2 + \beta_0^3 l^3 \right) \left(\frac{\alpha_s(\mu')}{\pi} \right)^4 \\ &\quad + \left(\beta_3 l + 3\beta_2 \beta_0 l^2 + \frac{3}{2} \beta_1^2 l^2 + \frac{13}{3} \beta_1 \beta_0^2 l^3 + \beta_0^4 l^4 \right) \left(\frac{\alpha_s}{\pi} \right)^5 + \dots . \end{aligned} \quad (3.31)$$

Für die Masse ergibt sich analog

$$\begin{aligned} \frac{m(\mu)}{m(\mu')} &= 1 + \gamma_0 l \left(\frac{\alpha_s(\mu')}{\pi} \right) + \left(\gamma_1 l + \frac{1}{2} \beta_0 \gamma_0 l^2 + \frac{1}{2} \gamma_0^2 l^2 \right) \left(\frac{\alpha_s(\mu')}{\pi} \right)^2 \\ &\quad + \left(\gamma_2 l + \gamma_0 \gamma_1 l^2 + \frac{1}{2} \beta_1 \gamma_0 l^2 + \beta_0 \gamma_1 l^2 + \right. \\ &\quad \left. \frac{1}{6} \gamma_0^3 l^3 + \frac{1}{3} \beta_0^2 \gamma_0 l^3 + \frac{1}{2} \beta_0 \gamma_0^2 l^3 \right) \left(\frac{\alpha_s(\mu')}{\pi} \right)^3 + \dots . \end{aligned} \quad (3.32)$$

3.4 Die Gruppe der Skalentransformationen

An den perturbativen Lösungen für die laufende Kopplungskonstante und Masse sieht man, dass Kopplungskonstanten und Massen bei verschiedenen Renormierungsskalen durch eine endliche Renormierung miteinander verknüpft sind. Aus den Gl. (3.31, 3.32) lässt sich ablesen, dass

$$\alpha_s(\mu) = z_{\alpha_s}(\mu, \mu') \alpha_s(\mu'), \quad (3.33)$$

$$m(\mu) = z_m(\mu, \mu') m(\mu'), \quad (3.34)$$

wobei

$$z_{\alpha_s}(\mu, \mu') = 1 + \beta_0 l \left(\frac{\alpha_s(\mu')}{\pi} \right) + \left(\beta_1 l + \beta_0^2 l^2 \right) \left(\frac{\alpha_s(\mu')}{\pi} \right)^2 + \dots , \quad (3.35)$$

$$z_m(\mu, \mu') = 1 + l \gamma_0 \left(\frac{\alpha_s(\mu')}{\pi} \right) + \left(\gamma_1 l + \frac{1}{2} \beta_0 \gamma_0 l^2 + \frac{1}{2} \gamma_0^2 l^2 \right) \left(\frac{\alpha_s(\mu')}{\pi} \right)^2 + \dots . \quad (3.36)$$

Dies illustriert, dass ein Wechsel der Renormierungsskala einer endlichen Renormierung entspricht. Die Renormierungsskala μ parametrisiert gerade eine Ein-Parameter-Untergruppe der Renormierungsgruppe, die durch die Elemente $\{z(\mu, \circ)\}$ gegeben ist. Damit die Menge der $\{z(\mu, \mu')\}$ zu einer abgeschlossenen Gruppe wird, definiert man die Komposition zweier Elemente so, dass sie einem doppelten Renormierungsskalenwechsel $\mu \rightarrow \mu' \rightarrow \mu''$ entspricht. Das mit $\{\circ\}$ abgekürzte Argument der $z(\mu, \circ)$ muss für die Kompositon entsprechend angeglichen werden. Es gilt

$$z(\mu'', \mu') z(\mu', \mu) = z(\mu'', \mu) . \quad (3.37)$$

Die Invertierung eines Elementes aus $\{z(\mu, \circ)\}$ geschieht durch Vertauschen der Argumente

$$z^{-1}(\mu, \circ) = z(\circ, \mu) , \quad (3.38)$$

so dass

$$z(\mu', \mu) z(\mu, \mu') = 1, \quad (3.39)$$

und die Identität entspricht

$$z(\mu, \mu) = 1 . \quad (3.40)$$

Auf diese Weise werden die Skalentransformationen zu einer abelschen Ein-Parameter-Untergruppe der Gruppe der endlichen Renormierungen.

3.5 Das Transformationsverhalten der β - und γ -Funktionen

Unter endlichen Renormierungen verändern sich die Kopplungskonstante, die Quarkmassen und die Greenfunktionen, wohingegen Observable invariant bezüglich den Transformationen der Renormierungsgruppe sind. In diesem Abschnitt soll das Transformationsverhalten der β - und γ -Funktion untersucht werden. Die Definition der β -Funktion ist (Gl. 3.11)

$$\mu^2 \frac{d}{d\mu^2} \left(\frac{\alpha_s}{\pi} \right) = \beta(\alpha_s) . \quad (3.41)$$

Wird eine neue Kopplungskonstante gemäß

$$\alpha'_s = z_{\alpha_s} \alpha_s \quad (3.42)$$

eingeführt, wobei der Reskalierungsfaktor z_{α_s} durch

$$z_{\alpha_s} = 1 + \kappa_1 \frac{\alpha_s}{\pi} + \kappa_2 \left(\frac{\alpha_s}{\pi} \right)^2 + \kappa_3 \left(\frac{\alpha_s}{\pi} \right)^3 + \kappa_4 \left(\frac{\alpha_s}{\pi} \right)^4 + \dots \quad (3.43)$$

gegeben ist, so wird sich die β -Funktion der Kopplungskonstanten α'_s von der ursprünglichen β -Funktion unterscheiden. Man erhält

$$\begin{aligned}
 \beta'(\alpha'_s) &= \mu^2 \frac{d}{d\mu^2} \left(z_{\alpha_s} \frac{\alpha_s}{\pi} \right) \\
 &= \left(\frac{\alpha_s}{\pi} \right) \mu^2 \frac{d}{d\mu^2} (z_{\alpha_s}) + z_{\alpha_s} \mu^2 \frac{d}{d\mu^2} \left(\frac{\alpha_s}{\pi} \right) \\
 &= \frac{\alpha_s}{\pi} \left(\frac{\pi \partial}{\partial \alpha_s} z_{\alpha_s} \right) \mu^2 \frac{d}{d\mu^2} \left(\frac{\alpha_s}{\pi} \right) + z_{\alpha_s} \mu^2 \frac{d}{d\mu^2} \left(\frac{\alpha_s}{\pi} \right) \\
 &= \left(\alpha_s \left(\frac{\partial}{\partial \alpha_s} z_{\alpha_s} \right) + z_{\alpha_s} \right) \beta(\alpha_s) \Big|_{\alpha_s=\alpha_s(\alpha'_s)} . \tag{3.44}
 \end{aligned}$$

Um die transformierte β -Funktion $\beta'(\alpha'_s)$ in der entsprechenden Kopplungskonstanten auszudrücken, muss Gl. (3.42) invertiert werden. Dies geschieht mit dem Standard-Ansatz

$$\frac{\alpha_s}{\pi} = \left(\frac{\alpha'_s}{\pi} \right) + a_1 \left(\frac{\alpha'_s}{\pi} \right)^2 + a_2 \left(\frac{\alpha'_s}{\pi} \right)^3 + a_3 \left(\frac{\alpha'_s}{\pi} \right)^4 + \mathcal{O}(\alpha'_s^5) . \tag{3.45}$$

Einsetzen von Gl. (3.45) in Gl. (3.42) und Koeffizientenvergleich ergibt

$$\frac{\alpha_s}{\pi} = \left(\frac{\alpha'_s}{\pi} \right) - \kappa_1 \left(\frac{\alpha'_s}{\pi} \right)^2 + (2\kappa_1^2 - \kappa_2) \left(\frac{\alpha'_s}{\pi} \right)^3 + (-5\kappa_1^3 + 5\kappa_1\kappa_2 - \kappa_3) \left(\frac{\alpha'_s}{\pi} \right)^4 + \mathcal{O}(\alpha'_s^5) . \tag{3.46}$$

Mit (3.46) erhält man aus (3.44) die Koeffizienten der transformierten β -Funktion $\beta'(\alpha'_s)$

$$\begin{aligned}
 \beta'_0 &= \beta_0 , \\
 \beta'_1 &= \beta_1 , \\
 \beta'_2 &= \beta_2 - \kappa_1 \beta_1 + (\kappa_2 - \kappa_1^2) \beta_0 , \\
 \beta'_3 &= \beta_3 - 2\kappa_1 \beta_2 + \kappa_1^2 \beta_1 + (2\kappa_3 - 6\kappa_2 \kappa_1 + 4\kappa_1^3) \beta_0 . \tag{3.47}
 \end{aligned}$$

Die ersten beiden Koeffizienten der β -Funktion β_0 und β_1 sind Invarianten der Renormierungsgruppe. Koeffizienten höherer Ordnung transformieren sich gemäß Gl. (3.47).

Um das Transformationsverhalten der γ -Funktion zu bestimmen, geht man analog vor. Wird die Masse gemäß

$$m' = z_m m \tag{3.48}$$

transformiert, wobei die Reskalierung z_m durch

$$z_m = 1 + \varrho_1 \frac{\alpha_s}{\pi} + \varrho_2 \left(\frac{\alpha_s}{\pi} \right)^2 + \varrho_3 \left(\frac{\alpha_s}{\pi} \right)^3 + \varrho_4 \left(\frac{\alpha_s}{\pi} \right)^4 + \dots \tag{3.49}$$

gegeben ist, so ergibt sich für die transformierte γ -Funktion

$$m' \gamma'(\alpha'_s) = \mu^2 \frac{d}{d\mu^2} m' \tag{3.50}$$

$$\begin{aligned}
&= \mu^2 \frac{d}{d\mu^2} (z_m m) \\
&= m \left(\mu^2 \frac{d}{d\mu^2} z_m \right) + \left(\mu^2 \frac{d}{d\mu^2} m \right) z_m \\
&= m \left(\frac{\pi \partial}{\partial \alpha_s} z_m \right) \left(\mu^2 \frac{d}{d\mu^2} \frac{\alpha_s}{\pi} \right) + \left(\mu^2 \frac{d}{d\mu^2} m \right) z \\
&= m \left(\frac{\pi \partial}{\partial \alpha_s} z_m \right) \beta(\alpha_s) + m' \gamma(\alpha_s) \Big|_{\substack{m=m(m', \alpha_s) \\ \alpha_s=\alpha_s(\alpha'_s)}}. \tag{3.50}
\end{aligned}$$

Um das Transformationsverhalten der Koeffizienten der γ -Funktion zu bestimmen, muss Gl. (3.48) invertiert werden:

$$\begin{aligned}
m &= m' \left(1 - \varrho_1 \frac{\alpha_s}{\pi} + (\varrho_1^2 - \varrho_2) \left(\frac{\alpha_s}{\pi} \right)^2 + (-\varrho_1^3 + 2\varrho_1\varrho_2 - \varrho_3) \left(\frac{\alpha_s}{\pi} \right)^3 \right. \\
&\quad \left. + (\varrho_1^4 + 2\varrho_1\varrho_3 - 3\varrho_1^2\varrho_2 + \varrho_2^2 - \varrho_4) \left(\frac{\alpha_s}{\pi} \right)^4 + \mathcal{O}(\alpha_s)^5 \right). \tag{3.51}
\end{aligned}$$

Aus Gl. (3.50) und (3.51) ergibt sich das Transformationsverhalten der γ -Funktion bei einer Transformation der Kopplung und Masse gemäß (3.42, 3.48) zu

$$\begin{aligned}
\gamma'_0 &= \gamma_0, \\
\gamma'_1 &= \gamma_1 - \kappa_1 \gamma_0 + \varrho_1 \beta_0, \\
\gamma'_2 &= \gamma_2 - 2\kappa_1 \gamma_1 + (-\kappa_2 + 2\kappa_1^2) \gamma_0 + \varrho_1 \beta_1 + (-2\kappa_1 \varrho_1 + 2\varrho_2 - \varrho_1^2) \beta_0, \\
\gamma'_3 &= \gamma_3 - 3\kappa_1 \gamma_2 + (-2\kappa_2 + 5\kappa_1^2) \gamma_1 + (-\kappa_3 + 5\kappa_2 \kappa_1 - 5\kappa_1^3) \gamma_0 \\
&\quad + \varrho_1 \beta_2 + (-3\kappa_1 \varrho_1 + 2\varrho_2 - \varrho_1^2) \beta_1 \\
&\quad + (-2\kappa_2 \varrho_1 + 5\kappa_1^2 \varrho_1 - 6\kappa_1 \varrho_2 + 3\kappa_1 \varrho_1^2 - 3\varrho_2 \varrho_1 + 3\varrho_3 + \varrho_1^3) \beta_0. \tag{3.52}
\end{aligned}$$

Anders als im Fall der der β -Funktion ist nur γ_0 invariant unter RG-Transformationen.

3.5.1 Invarianz der RG-Funktionen unter Skalen-Transformationen

Die RG-Gleichungen (3.11, 3.12) sind autonome Differentialgleichungen. Das bedeutet, dass die β - und γ -Funktion nicht explizit von der Renormierungsskala μ abhängen und deswegen invariant unter den Skalen-Transformationen sind, welche eine Ein-Parameter-Untergruppe der Renormierungsgruppe bildet. Dies lässt sich anhand des im vorhergehenden Abschnittes bestimmten Transformationsverhaltens der Koeffizienten der β - und γ -Funktion überprüfen. Betrachtet man eine beliebige Transformation der Renormierungsskala $\mu^2 \rightarrow \mu'^2 = \mu^2 e^\xi$, so transformieren sich die Kopplungskonstante und die Masse gemäß Gl. (3.31, 3.32) zu

$$\frac{\alpha_s(\mu)}{\pi} = \left(\frac{\alpha_s(\mu')}{\pi} \right) + \beta_0 \xi \left(\frac{\alpha_s(\mu')}{\pi} \right)^2 + \left(\beta_1 \xi + \beta_0^2 \xi^2 \right) \left(\frac{\alpha_s(\mu')}{\pi} \right)^3$$

$$\begin{aligned}
 & + \left(\beta_2 \xi + \frac{5}{2} \beta_1 \beta_0 \xi^2 + \beta_0^3 \xi^3 \right) \left(\frac{\alpha_s(\mu')}{\pi} \right)^4 \\
 & + \left(\beta_3 \xi + 3 \beta_0 \beta_2 \xi^2 + \frac{3}{2} \beta_1^2 \xi^2 + \frac{13}{3} \beta_0^2 \beta_1 \xi^3 + \beta_0^4 \xi^4 \right) \left(\frac{\alpha_s}{\pi} \right)^5 + \dots
 \end{aligned} \quad (3.53)$$

und

$$\begin{aligned}
 \frac{m(\mu)}{m(\mu')} &= 1 + \xi \gamma_0 \left(\frac{\alpha_s(\mu')}{\pi} \right) + \left(\gamma_1 \xi + \frac{1}{2} \beta_0 \gamma_0 \xi^2 + \frac{1}{2} \gamma_0^2 \xi^2 \right) \left(\frac{\alpha_s(\mu')}{\pi} \right)^2 \\
 & + \left(\gamma_2 \xi + \gamma_0 \gamma_1 \xi^2 + \frac{1}{2} \beta_1 \gamma_0 \xi^2 + \beta_0 \gamma_1 \xi^2 + \frac{1}{6} \gamma_0^3 \xi^3 \right. \\
 & \left. + \frac{1}{3} \beta_0^2 \gamma_0 \xi^3 + \frac{1}{2} \beta_0 \gamma_0^2 \xi^3 \right) \left(\frac{\alpha_s(\mu')}{\pi} \right)^3 + \dots
 \end{aligned} \quad (3.54)$$

Dies ergibt die Koeffizienten der Transformationsformeln für die β - und γ -Funktionen (3.47, 3.52):

$$\begin{aligned}
 \kappa_1 &= \beta_0 \xi, \\
 \kappa_2 &= \beta_1 \xi + \beta_0^2 \xi^2, \\
 \kappa_3 &= \beta_2 \xi + \frac{5}{2} \beta_1 \beta_0 \xi^2 + \beta_0^3 \xi^3,
 \end{aligned} \quad (3.55)$$

und

$$\begin{aligned}
 \varrho_1 &= \gamma_0 \xi, \\
 \varrho_2 &= \gamma_1 \xi + \frac{1}{2} \beta_0 \gamma_0 \xi^2 + \frac{1}{2} \gamma_0^2 \xi^2, \\
 \varrho_3 &= \gamma_2 \xi + \gamma_0 \gamma_1 \xi^2 + \frac{1}{2} \beta_1 \gamma_0 \xi^2 + \beta_0 \gamma_1 \xi^2 + \frac{1}{6} \gamma_0^3 \xi^3 + \frac{1}{3} \beta_0^2 \gamma_0 \xi^3 + \frac{1}{2} \beta_0 \gamma_0^2 \xi^3.
 \end{aligned} \quad (3.56)$$

Einsetzen von Gl. (3.55) in Gl. (3.47) und Gl. (3.55, 3.56) in Gl. (3.52) ergibt explizit die Invarianz der β - und der γ -Funktion bezüglich Skalen-Transformationen. Für γ_1 hat man z.B.

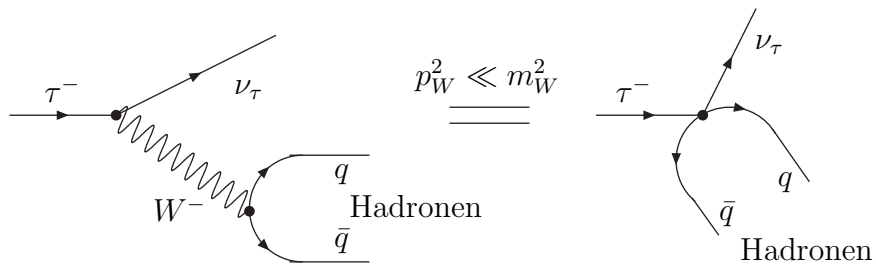
$$\begin{aligned}
 \gamma'_1 &= \gamma_1 - \kappa_1 \gamma_0 + \varrho_1 \beta_0 \\
 &= \gamma_1 - \beta_0 \xi \gamma_0 + \gamma_0 \xi \beta_0 = \gamma_1,
 \end{aligned} \quad (3.57)$$

was die Invarianz von γ_1 bezüglich Skalen-Transformationen explizit zeigt.

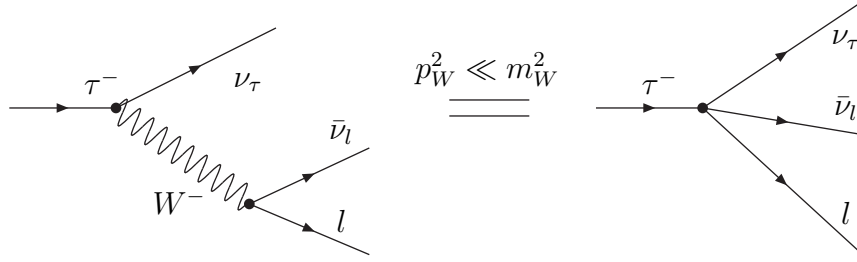
Kapitel 4

Theoretische Grundlagen des τ -Zerfalls

In diesem Kapitel soll der theoretische Rahmen für die Theorie des τ -Zerfalles dargestellt werden. Obwohl die in diesem Kapitel hergeleiteten Ergebnisse bekannt sind, erscheint es mir sinnvoll, sie mit einer ausführlichen Herleitung hier darzustellen, da sie zu speziell sind, um sie in einem Lehrbuch der Quantenfeldtheorie zu finden und da sie in den aktuellen Veröffentlichungen nicht mehr erklärt werden. Das τ -Lepton ist mit einer Masse von 1.777 GeV das schwerste der 3 Leptonen. Die Masse des τ -Leptons reicht aus, um in hadronische Endprodukte, bestehend aus einem τ -Neutrino und Mesonen, zu zerfallen. Zerfälle des τ -Leptons in hadronische Endprodukte werden durch die schwache und die starke Wechselwirkung beschrieben. Da die Störungsreihe der schwachen Wechselwirkung schnell abnimmt, genügt es, in führender Ordnung der schwachen Wechselwirkung zu rechnen. Korrekturen der schwachen Wechselwirkung besitzen nur eine Größe von 1% und können als multiplikative und additive Korrekturen später berücksichtigt werden. In der niedrigsten Ordnung der schwachen Kopplungskonstanten wird der Zerfall des τ -Leptons durch folgendes Feynman-Diagramm beschrieben:



Zerfälle des τ -Leptons in leichtere Leptonen (e^- , μ^-) werden ausschließlich durch die schwache Wechselwirkung beschrieben. In der Baumgraphennährung muß man für die Berechnung der Zerfallsrate des τ -Leptons in leichte Leptonen nur den folgenden Graphen berechnen:



4.1 Die effektive Lagrangedichte der schwachen Wechselwirkung

Um den Anteil der τ -Zerfallsrate zu berechnen, der durch die schwache Wechselwirkung beschrieben wird, benötigt man die Wechselwirkungs-Lagrangedichte der schwachen Wechselwirkung. Da die in τ -Zerfällen durch das Eichboson übertragene Energie im Vergleich zu der Masse der Eichbosons (m_W) gering ist, genügt es, eine phänomenologische Lagrange-funktion zu verwenden, die eine effektive Strom-Strom-Wechselwirkung beschreibt. Diese ergibt sich durch Entwicklung des W -Boson-Propagators in q^2 in nullter Ordnung, in der die Propagatoren durch Konstanten gemäß

$$\frac{-i(g_{\mu\nu} - q_\mu q_\nu / m_W^2)}{q^2 - m_W^2} \xrightarrow{q^2 \ll m_W^2} \frac{ig_{\mu\nu}}{m_W^2} \quad (4.1)$$

ersetzt werden. Ein konstanter Propagator im Impulsraum entspricht einer Delta-Funktion im Ortsraum. Die resultierende Wechselwirkung ist eine punktförmige Kopplung von vier Fermionen, die bereits aus der Fermi-Theorie des Beta-Zerfalls bekannt ist. Für den Teil

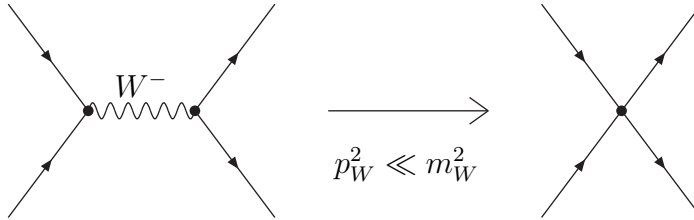


Abbildung 4.1: 4-Fermion-Vertex der effektiven Wirkung

der effektiven Lagrangepunktion, die leptonische τ -Zerfälle beschreibt, ergibt sich so

$$\mathcal{L}_{\text{eff}} = -\frac{G_F}{\sqrt{2}} ((\bar{\tau} \gamma^\mu (1 - \gamma_5) \nu_\tau) (\bar{l} \gamma_\mu (1 - \gamma_5) \nu_l) + h.c.) , \quad (4.2)$$

wobei l für e und μ steht. Hadronische Zerfälle werden durch folgenden Teil der effektiven Lagrangefunktion beschrieben:

$$\mathcal{L}_{\text{eff}} = -\frac{G_F}{\sqrt{2}} (V_{ij} (\bar{\tau} \gamma^\mu (1 - \gamma_5) \nu_\tau) (\bar{q}_i \gamma_\mu (1 - \gamma_5) q_j) + h.c.) . \quad (4.3)$$

Hier steht V_{ij} für das Cabibbo-Matrixelement und

$$\frac{1}{\sqrt{2}} G_F := \frac{e^2}{8m_W^2 \sin^2 \vartheta_W} \quad (4.4)$$

für die Fermikonstante.

4.2 Berechnung der τ -Zerfallsrate

¹ Um die Zerfallsrate des τ -Leptons in semihadronische Endprodukte zu berechnen, muss das Übergangsmatrixelement zwischen einem τ -Lepton und den Endprodukten des Zerfalls berechnet werden. Aus dem Absolutquadrat des Matrixelements ergibt sich dann die Zerfallsrate durch Integration über den Phasenraum der Zerfallsprodukte und Mittelung über alle Anfangszustände (Spinzustände des τ -Leptons). Außerdem tritt noch ein Faktor $(2M_\tau^2)^{-1}$ auf. Für die Zerfallsrate eines τ -Leptons in ein τ -Neutrino und Hadronen ergibt sich so

$$\begin{aligned} & \Gamma(\tau \rightarrow \nu_\tau + H) \\ &= \frac{1}{2M_\tau} \frac{1}{2} \sum_{\tau\bar{\nu}_\tau \text{ Spin}} \sum_H \int \frac{d^3k}{(2\pi)^3 2k_0} (2\pi)^4 \delta(p_H + k - p) |\langle H \nu_\tau(k) | \mathcal{T} | \tau(p) \rangle|^2 . \end{aligned} \quad (4.5)$$

Die Summe über H steht für die Summation über alle möglichen Endzustände der hadronischen Zerfallsprodukte. Sie entspricht der Summe über alle möglichen hadronischen Zerfallskanäle und der Integration über den Phasenraum der hadronischen Zerfallsprodukte. Die Integration über k entspricht mit der Summation über den $\bar{\nu}_\tau$ -Spin der Integration über den Phasenraum des τ -Neutrinos. Die Delta-Distribution beschreibt die Energie-Impulserhaltung des Zerfalls. p_H steht für den Gesamtimpuls der hadronischen Zerfallsprodukte, k für den Impuls des Neutrinos und p für den Impuls des zerfallenden τ -Leptons.

4.2.1 Das Optische Theorem

Das Optische Theorem ermöglicht eine elegante Berechnung der τ -Zerfallsrate. Um das Optische Theorem herzuleiten, spaltet man zunächst von der S -Matrix den Wechselwirkungsanteil T ab, aus dem sich zusätzlich die Delta-Distribution herausziehen lässt,

¹Beim Aufschreiben der in diesem Abschnitt dargestellten Herleitung der relativen τ -Lepton Zerfallsrate waren viele Hinweise von A.A. Pivovarov sehr hilfreich.

$$\text{Im} \left(\bar{\nu}_\tau \tau \right) = \sum_H \int d\Pi_H \left(\bar{\nu}_\tau \tau \right) \left(H \bar{\nu}_\tau \tau \right)$$

Abbildung 4.2: Darstellung von Gleichung (4.13). Die Summe über H läuft über alle hadronischen Zerfallskanäle und $\int d\Pi_f$ steht für die Integration über den Phasenraum der Hadronen.

welche die Energie- und Impulserhaltung beschreibt. So ergibt sich

$$S = I + iT = I + i(2\pi)^4 \delta(p_f - p_i) \mathcal{T}. \quad (4.6)$$

Aus der Unitarität der S -Matrix ($S^\dagger S = I$) ergibt sich für den abgespaltenen Wechselwirkungsanteil T die Relation

$$I = S^\dagger S = (I - iT^\dagger)(I + iT) = I + iT - iT^\dagger + T^\dagger T \quad (4.7)$$

$$\Rightarrow i(T - T^\dagger) = -T^\dagger T. \quad (4.8)$$

Für ein beliebiges Diagonalmatrixelement von Gl. (4.8) erhält man

$$i(\langle A|T|A \rangle - \langle A|T|A \rangle^*) = -\langle A|T^\dagger T|A \rangle \quad (4.9)$$

$$2i^2 \text{Im} \langle A|T|A \rangle = -\sum_n \langle A|T^\dagger|n \rangle \langle n|T|A \rangle \quad (4.10)$$

$$\text{Im} \langle A|T|A \rangle = \frac{1}{2} \sum_n |\langle n|T|A \rangle|^2. \quad (4.11)$$

Gl. (4.11) ist das Optische Theorem. Die Summe über alle Zwischenzustände n entspricht gerade der in dem Ausdruck für die Zerfallsrate (4.11) auftretenden Phasenraumintegration und der Summation über die Endzustände. Setzt man für

$$|A\rangle = |\bar{\nu}_\tau(k)\tau(p)\rangle \quad (4.12)$$

einen Zustand aus einem τ -Lepton und einem τ -Antineutrino, so ergibt sich mit Gl. (4.11)

$$\text{Im} \langle \tau(p) \bar{\nu}_\tau(k) | \mathcal{T} | \bar{\nu}_\tau(k) \tau(p) \rangle = \frac{1}{2} \sum_H (2\pi)^4 \delta(p_H - k - p) |\langle H | \mathcal{T} | \bar{\nu}_\tau(k) \tau(p) \rangle|^2. \quad (4.13)$$

Hierbei läuft die Summation H über alle möglichen hadronischen Zerfallsprodukte mit Gesamtimpuls p_H . Gleichung (4.13) ist in Abb. 4.2 diagrammatisch dargestellt. Mit der Crossingsymmetrie lässt sich ein Teilchen im Anfangszustand eines Marixelementes durch das entsprechende Antiteilchen mit umgekehrtem Viererimpuls im Endzustand ersetzen. Bei Fermionen tritt hierbei ein zusätzliches Vorzeichen auf. Aus Gl. (4.13) ergibt sich,

wenn das τ -Antineutrino auf der rechten Seite von Gl. (4.13) durch ein τ -Neutrino im Endzustand ersetzt wird, somit

$$\text{Im} \langle \tau(p) \bar{\nu}_\tau(-k) | \mathcal{T} | \bar{\nu}_\tau(-k) \tau(p) \rangle = -\frac{1}{2} \sum_H (2\pi)^4 \delta(p_H + k - p) |\langle H \nu_\tau(k) | \mathcal{T} | \tau(p) \rangle|^2. \quad (4.14)$$

Setzt man Gl. (4.14) in den Ausdruck für die Zerfallsrate Gl. (4.5) ein, so ergibt sich für die τ -Zerfallsrate

$$\begin{aligned} \Gamma(\tau \rightarrow \nu_\tau + H) &= \frac{1}{2M_\tau} \frac{1}{2} \sum_{\tau\bar{\nu}_\tau \text{Spin}} \sum_H \int \frac{d^3k}{(2\pi)^3 2k_0} (2\pi)^4 \delta(p_H + k - p) |\langle H \nu_\tau(k) | \mathcal{T} | \tau(p) \rangle|^2 \\ &= -\frac{1}{2M_\tau} \sum_{\tau\bar{\nu}_\tau \text{Spin}} \int \frac{d^3k}{(2\pi)^3 2k_0} \text{Im} \langle \tau(p) \bar{\nu}_\tau(-k) | \mathcal{T} | \bar{\nu}_\tau(-k) \tau(p) \rangle. \end{aligned} \quad (4.15)$$

Diese Zerfallsrate kann auch direkt mit den Resultaten für den drei Teilchen Phasenraum berechnet werden [27].

4.2.2 Berechnung des Matrixelementes

Um die τ -Zerfallsrate zu berechnen, muß das in Gl. (4.15) auftretende Matrixelement berechnet werden. In der führenden Ordnung ergibt sich für das Matrixelement aus Gl. (4.15)

$$\begin{aligned} &\langle \tau(p) \bar{\nu}_\tau(k) | S | \bar{\nu}_\tau(k') \tau(p') \rangle = \\ &= \frac{1}{2} \iint d^4x d^4y \langle \tau(p) \bar{\nu}_\tau(k) | -T(\mathcal{L}_{\text{eff}}(x) \mathcal{L}_{\text{eff}}(y)) | \bar{\nu}_\tau(k') \tau(p') \rangle + \mathcal{O}(G_F^2) \end{aligned} \quad (4.16)$$

Hierbei wurde für die S -Matrix der erste Term der Reihenentwicklung in G_F eingesetzt, der einen nicht verschwindenden Beitrag liefert. \mathcal{L}_{eff} entspricht dem für den τ -Zerfall relevanten Anteil der effektiven Lagrangedichte aus Gl. (4.3). Für das gesuchte Matrixelement ergibt sich so in niedrigster Ordnung in G_F

$$\begin{aligned} \langle \tau(p) \bar{\nu}_\tau(k) | S | \bar{\nu}_\tau(k') \tau(p') \rangle &= -\frac{G_F^2 |V_{ij}|^2}{2} \iint d^4x d^4y \langle 0 | b_\tau(p) d_{\nu_\tau}(k) \times \\ &\quad \times T(:(\bar{\tau}(x) \gamma^\mu (1 - \gamma_5) \nu_\tau(x)): \times \\ &\quad \times :(\bar{\nu}_\tau(y) \gamma^\nu (1 - \gamma_5) \tau(y)): \times \\ &\quad \times :(\bar{q}_i(x) \gamma_\mu (1 - \gamma_5) q_j(x)): \times \\ &\quad \times :(\bar{q}_i(y) \gamma_\nu (1 - \gamma_5) q_j(y))^\dagger : | 0 \rangle. \end{aligned} \quad (4.17)$$

In Gl. (4.17) wurden bereits die beiden beim Ausmultiplizieren des Produktes der Lagrangedichten auftretenden Summanden zusammengefasst, die für diesen Prozess relevant sind. Die Kontraktion der Erzeuger bzw. Vernichter der äußeren Teilchen mit den

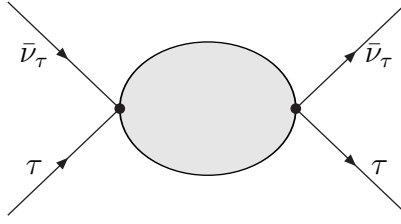


Abbildung 4.3: Diagramm für Gl. (4.18)

entsprechenden Spinorfeldern in der Lagrangedichte ergibt

$$\langle \tau(p)\bar{\nu}_\tau(k)|S|\bar{\nu}_\tau(k')\tau(p')\rangle = -\frac{G_F^2|V_{ij}|^2}{2} \iint d^4x d^4y (\bar{u}(p)\gamma^\mu(1-\gamma_5)v(k))e^{ix(p+k)} \times \Pi_{ij\mu\nu}(x-y)(\bar{v}(k')\gamma^\nu(1-\gamma_5)u(p'))e^{-iy(p'+k')} , \quad (4.18)$$

wobei die Korrelationsfunktion $\Pi_{ij\mu\nu}(x)$ definiert ist als

$$\begin{aligned} \Pi_{ij\mu\nu}(x) &= \langle 0 | :(\bar{q}_i(x)\gamma_\mu(1-\gamma_5)q_j(x)):(\bar{q}_i(0)\gamma_\nu(1-\gamma_5)q_j(0))^\dagger : | 0 \rangle \\ &= \langle 0 | :(\bar{q}_i(x)\gamma_\mu q_j(x)):(\bar{q}_i(0)\gamma_\nu q_j(0))^\dagger : | 0 \rangle \\ &\quad + \langle 0 | :(\bar{q}_i(x)\gamma_\mu(1-\gamma_5)q_j(x)):(\bar{q}_i(0)\gamma_\nu(1-\gamma_5)q_j(0))^\dagger : | 0 \rangle . \end{aligned} \quad (4.19)$$

Gl. (4.18) ist in Abb. 4.3 als Diagramm dargestellt. Alle QCD-Effekte werden durch die Korrelationsfunktion $\Pi_{ij\mu\nu}(x)$ beschrieben. Da in der QCD die Parität erhalten ist, verschwinden die Vakuumerwartungswerte der Produkte aus Vektor- und Axialvektorströmen.

Die Korrelationsfunktion ist ein Lorenztensor zweiter Stufe. Sie lässt sich in einen transversalen und einen longitudinalen Anteil zerlegen:

$$\begin{aligned} \Pi_{ij}^{\mu\nu}(x-y) &= -i \int \frac{d^4q}{(2\pi)^4} \Pi_{ij}^{\mu\nu}(q) e^{-iq(x-y)} \\ &= -i \frac{N_c}{6\pi^2} \int \frac{d^4q}{(2\pi)^4} e^{-iq(x-y)} \{ (q^\mu q^\nu - g^{\mu\nu} q^2) \Pi_{Tij}(q^2) + q^\mu q^\nu \Pi_{Lij}(q^2) \} . \end{aligned} \quad (4.20)$$

Der transversale Anteil beschreibt Spin-1-Hadronen und der longitudinale Anteil Spin-0-Hadronen. Setzt man die Zerlegung der Korrelationsfunktion aus Gl. (4.20) in den Ausdruck für das Matrixelement aus Gl. (4.18) ein, so ergibt sich

$$\begin{aligned} &-\frac{N_c G_F^2 |V_{ij}|^2}{12\pi^2} \iint d^4x d^4y (\bar{u}(p)\gamma^\mu(1-\gamma_5)v(k))e^{ix(p+k)} \times \\ &\times (-i) \int \frac{d^4q}{(2\pi)^4} e^{-iq(x-y)} ((q_\mu q_\nu - g_{\mu\nu} q^2) \Pi_{Tij}(q^2) + q_\mu q_\nu \Pi_{Lij}(q^2)) \times \\ &\times (\bar{v}(k')\gamma^\nu(1-\gamma_5)u(p'))e^{-iy(p'+k')} . \end{aligned} \quad (4.21)$$

Um die beiden Integrationen im Ortsraum auszuführen, transformiert man in Schwerpunkt- und Relativkoordinaten:

$$X := \frac{1}{2}(x + y) \quad (4.22)$$

$$r := (x - y) \quad (4.23)$$

$$d^4x d^4y = d^4X d^4r. \quad (4.24)$$

Die Integrationen über $d^4x d^4y = d^4X d^4r$ ergeben zwei Delta-Distributionen, welche die Energie-Impulserhaltung des gesamten Prozesses und an den Vertizes (vgl. Abb. 4.3) beschreiben. Für das gesuchte Matrixelement ergibt sich so

$$\begin{aligned} i(2\pi)^4 \delta(p + k - p' - k') \frac{N_c G_F^2 |V_{ij}|^2}{12\pi^2} \int \frac{d^4q}{(2\pi)^4} (2\pi)^4 \delta(p + k - q) \times \\ \times (\bar{u}(p)\gamma^\mu(1 - \gamma_5)v(k))(\bar{v}(k')\gamma^\nu(1 - \gamma_5)u(p')) \times \\ \times \{(q_\mu q_\nu - g_{\mu\nu}q^2)\Pi_{Tij}(q^2) + q_\mu q_\nu\Pi_{Lij}(q^2)\}. \end{aligned} \quad (4.25)$$

In dem Ausdruck für die τ -Zerfallsrate (Gl. (4.15)) tritt eine Summation über die Spinzustände des τ -Leptons und des τ -Antineutrinos auf. Diese kann mit Casimirs Trick berechnet werden, der im wesentlichen eine Konsequenz der Vollständigkeitsrelationen der Spinoren ist, welche durch

$$\sum_{s=1,2} u^{(s)}(p)\bar{u}^{(s)}(p) = (\not{p} + m) \quad (4.26)$$

$$\sum_{s=1,2} v^{(s)}(p)\bar{v}^{(s)}(p) = (\not{p} - m) \quad (4.27)$$

gegeben sind. Mit den Vollständigkeitsrelationen (Gl. (4.26, 4.27)) lassen sich die Summationen über die Spins des τ -Leptons und τ -Antineutrinos berechnen. Es ergibt sich

$$\begin{aligned} & \sum_{\tau, \bar{\nu}_\tau \text{ Spin}} (\bar{u}(p)\gamma^\mu(1 - \gamma_5)v(k))(\bar{v}(k')\gamma^\nu(1 - \gamma_5)u(p)) = \\ &= \sum_{\tau \text{ Spin}} (\bar{u}(p)\gamma^\mu(1 - \gamma_5)\not{k}\gamma^\nu(1 - \gamma_5)u(p)) \\ &= \text{Tr} \left(\gamma^\mu(1 - \gamma_5)\not{k}\gamma^\nu(1 - \gamma_5) \sum_{\tau \text{ Spin}} (u(p)\bar{u}(p)) \right) \\ &= \text{Tr} (\gamma^\mu(1 - \gamma_5)\not{k}\gamma^\nu(1 - \gamma_5)(\not{p} + M_\tau)). \end{aligned} \quad (4.28)$$

Die Berechnung der Spuren und die Kontraktion des Leptontensors (Gl. (4.28)) mit der Tensorstruktur der Korrelationsfunktion $\Pi_{ij}^{\mu\nu}$ lässt sich von Hand mit den Spurtheoremen für γ -Matritzen [22] oder bequemerweise mit Hilfe eines Programm Paketes unter MATHEMATICA [38] ausführen. Man erhält für die Spin-1-Komponente

$$(q_\mu q_\nu - g_{\mu\nu}q^2)\text{Tr} (\gamma^\mu(1 - \gamma_5)\not{k}\gamma^\nu(1 - \gamma_5)(\not{p} + M_\tau)) = 8(2(k \cdot q)(p \cdot q) + (k \cdot p)q^2) \quad (4.29)$$

und für die Spin-0-Komponente

$$q_\mu q_\nu \text{Tr}(\gamma^\mu(1 - \gamma_5)k^\mu \gamma^\nu(1 - \gamma_5)(\not{p} + M_\tau)) = 8(2(k \cdot q)(p \cdot q) - (k \cdot p)q^2) . \quad (4.30)$$

Für das gesuchte Matixelement ergibt sich

$$\begin{aligned} & \frac{1}{2} \sum_{\tau, \bar{\nu}_\tau \text{Spin}} \langle \tau(p) \bar{\nu}_\tau(k) | S | \bar{\nu}_\tau(k') \tau(p') \rangle = \\ &= i(2\pi)^4 \delta(p + k - p' - k') \frac{N_c G_F^2 |V_{ij}|^2}{3\pi^2} \int \frac{d^4 q}{(2\pi)^4} \delta(p + k - q) \times \\ & \quad \times ((2(k \cdot q)(p \cdot q) + (k \cdot p)q^2)\Pi_{Tij}(q^2) + (2(k \cdot q)(p \cdot q) - (k \cdot p)q^2)\Pi_{Lij}(q^2)) . \end{aligned} \quad (4.31)$$

Nach Ausführen der q -Integration mit der Delta-Distribution erhält man

$$\begin{aligned} & \frac{1}{2} \sum_{\tau, \bar{\nu}_\tau \text{Spin}} \langle \tau(p) \bar{\nu}_\tau(k) | S | \bar{\nu}_\tau(k') \tau(p') \rangle \\ &= i(2\pi)^4 \delta(p + k - p' - k') \frac{1}{2} \sum_{\tau, \bar{\nu}_\tau \text{Spin}} \langle \tau(p) \bar{\nu}_\tau(k) | \mathcal{T} | \bar{\nu}_\tau(k') \tau(p') \rangle \\ &= i(2\pi)^4 \delta(p + k - p' - k') \frac{N_c G_F^2 |V_{ij}|^2}{3\pi^2} \times \\ & \quad \times ((3(k^2 + p^2)(k \cdot p) + 4(k \cdot p)^2 + 2k^2 p^2)\Pi_{Tij}((p + k)^2) \\ & \quad + ((k^2 + p^2)(k \cdot p) + 2k^2 p^2)\Pi_{Lij}((p + k)^2)) . \end{aligned} \quad (4.32)$$

Einsetzen von Gl. (4.32) in den Ausdruck für die Zerfallsbreite (Gl. (4.15)) ergibt

$$\begin{aligned} \Gamma_{\tau ij} &= -\frac{N_c G_F^2 |V_{ij}|^2}{3\pi^2 M_\tau} \int \frac{d^3 k}{(2\pi)^3 2k_0} \times \\ & \quad \times \text{Im}\{(-3(k^2 + p^2)(k \cdot p) + 4(k \cdot p)^2 + 2k^2 p^2)\Pi_{Tij}((p - k)^2) \\ & \quad + (-k^2 + p^2)(k \cdot p) + 2k^2 p^2)\Pi_{Lij}((p - k)^2)\} . \end{aligned} \quad (4.33)$$

Die Integration über den τ -Neutrino-Impuls k lässt sich am einfachsten im Ruhesystem des τ -Leptons ausführen. Dann gilt für den Impuls des τ -Leptons p und den Impuls des τ -Neutrinos k

$$p = (M_\tau, 0) , \quad p^2 = M_\tau^2 , \quad (4.34)$$

$$k = (|\vec{k}|, \vec{k}) , \quad k^2 = 0 . \quad (4.35)$$

In Gl. (4.32) tritt der Impuls k nur als Quadrat oder als Lorenzskalarprodukt mit p auf. Da $k^2 = 0$ und $(k \cdot p) = M_\tau |\vec{k}|$ sind, hängt der Integrand nur von dem Betrag von \vec{k} ab. Die Winkelintegration lässt sich somit trivial ausführen. Das Integrationsmaß in Gl. (4.33) wird zu

$$\frac{d^3 k}{(2\pi)^3 2k_0} = \frac{4\pi \vec{k}^2 d|\vec{k}|}{(2\pi)^3 2|\vec{k}|} = \frac{|\vec{k}| d|\vec{k}|}{4\pi^2} . \quad (4.36)$$

Anstelle von $|\vec{k}|$ führt man als Integrationsvariable das Quadrat des Gesamtimpulses der hadronischen Zerfallsprodukte s ein:

$$s := (p - k)^2 = M_\tau^2 - 2M_\tau|\vec{k}|, \quad (4.37)$$

$$ds = -2M_\tau d|\vec{k}|. \quad (4.38)$$

Da es keine Hadronen mit negativer Energie gibt, sind die Imaginärteile der Korrelationsfunktionen Π_{Tij} und Π_{Lij} proportional zu der Stufenfunktion $\Theta(s)$. Für die Integrationsgrenzen bezüglich der neuen Integrationsvariablen s ergibt sich deswegen

$$\int_0^\infty d|\vec{k}| \Theta(s) = \int_{M_\tau^2}^{-\infty} \Theta(s) \frac{-ds}{2M_\tau} = \int_0^{M_\tau^2} \Theta(s) \frac{ds}{2M_\tau}. \quad (4.39)$$

Einsetzen von Gl. (4.34, 4.35, 4.36) in Gl. (4.33) ergibt für den Spin-1-Teil

$$|\vec{k}|(-3(k^2 + p^2)(k \cdot p) + 4(k \cdot p)^2 + 2k^2p^2) = -\frac{M_\tau^5}{4} \left(1 - \frac{s}{M_\tau^2}\right)^2 \left(1 + \frac{2s}{M_\tau^2}\right) \quad (4.40)$$

und für den Spin-0-Teil

$$|\vec{k}|(-(k^2 + p^2)(k \cdot p) + 2k^2p^2)\Pi_{Lij}((p - k)^2) = -\frac{M_\tau^5}{4} \left(1 - \frac{s}{M_\tau^2}\right)^2 \quad (4.41)$$

Mit Gl. (4.40, 4.41), der Transformation des Differentials Gl. (4.38) und den Integrationsgrenzen Gl. (4.39) erhält man schließlich aus Gl. (4.33) den Ausdruck für die Zerfallsrate

$$\Gamma_{ij} = \frac{N_c |V_{ij}|^2 G_F M_\tau^5}{192\pi^4} \int_0^{M_\tau^2} 2 \left(1 - \frac{s}{M_\tau^2}\right)^2 \left(\left(1 + \frac{2s}{M_\tau^2}\right) \text{Im } \Pi_{Tij}(s) + \text{Im } \Pi_{Lij}(s)\right) \frac{ds}{M_\tau^2}. \quad (4.42)$$

4.3 Leptonische Zerfälle des τ -Leptons

Die Zerfallsrate des τ -Leptons in leichtere Leptonen (e, μ) kann mit Gl. (4.42) bestimmt werden. Die Korrelationsfunktion für zwei Leptonströme ist

$$\Pi_{\mu\nu}^{\text{Lepton}} = i \int d^4x e^{iqx} \langle T j_\mu^L(x) j_\nu^{\dagger L}(0) \rangle = \frac{1}{6\pi^2} \left((q_\mu q_\nu - g_{\mu\nu} q^2) \Pi_T^{\text{Lep}} + q_\mu q_\nu \Pi_L^{\text{Lep}} \right), \quad (4.43)$$

wobei der Strom durch $j_\mu^L(x) = \bar{l}(x) \gamma_\mu (1 - \gamma_5) \nu(x)$ gegeben ist. In führender Ordnung ergibt sich für die Korrelationsfunktionen aus Gl. (4.43)²

$$\Pi_T^{\text{Lep}}(q^2) = \ln \left(\frac{M_\tau}{-q^2} \right) \quad (4.44)$$

²Die Berechnung der führenden Ordnung der Korrelationsfunktion für zwei Leptonströme ist vollkommen analog zu der in Abschnitt 5.5 beschriebenen Berechnung der Korrelationsfunktion zweier Quarkströme, wenn man von dem Nichtauftreten des Farbfaktors N_c absieht.

und

$$\Pi_L^{\text{Lep}}(q^2) = 0. \quad (4.45)$$

Hierbei wurde die Masse des leichten Leptons vernachlässigt. Für die Imaginärteile der Korrelationsfunktionen erhält man im Integrationsbereich ($\text{Re}(q^2) > 0$; $\text{Im}(q^2) = 0$)³

$$\text{Im } \Pi_{Tij}(q^2) = \pi \quad \text{und} \quad \text{Im } \Pi_{Lij}(q^2) = 0. \quad (4.47)$$

Für die Zerfallsrate des τ -Leptons in ein als masselos angenommenes Lepton ergibt sich somit in Baumgraphennäherung

$$\Gamma(\tau \rightarrow \nu_\tau \bar{\nu}_l l) = \frac{G_F^2 M_\tau^5}{192\pi^4} \int_0^{M_\tau^2} 2 \left(1 - \frac{s}{M_\tau^2}\right)^2 \left(1 + \frac{2s}{M_\tau^2}\right) \pi \frac{ds}{M_\tau^2} = \frac{G_F^2 M_\tau^5}{192\pi^3}. \quad (4.48)$$

4.4 Die relative Zerfallsrate R_τ

Die Zerfallsrate des τ -Leptons in semihadronische Zerfallsprodukte lässt sich relativ zu der leptonischen Zerfallsrate ausdrücken. Man definiert in Analogie zu dem relativen (e^+e^-)-Wirkungsquerschnitt (Gl. 2.1).

$$R_\tau = \frac{\Gamma(\tau \rightarrow \nu_\tau \text{Hadronen})}{\Gamma(\tau \rightarrow \nu_\tau l \bar{\nu}_l)} \quad (4.49)$$

Verwendet man die im letzten Abschnitt erzielten Resultate für die Zerfallsrate des τ -Leptons in hadronische (Gl. (4.42)) und leptonische (Gl. (4.48)) Zerfallsprodukte, so ergibt sich aus (Gl. (4.49))

$$R_{\tau ij} = N_c S_{EW} |V_{ij}|^2 \int_0^{M_\tau^2} 2 \left(1 - \frac{s}{M_\tau^2}\right)^2 \left(\left(1 + \frac{2s}{M_\tau^2}\right) \frac{\text{Im } \Pi_{Tij}(s)}{\pi} + \frac{\text{Im } \Pi_{Lij}(s)}{\pi} \right) \frac{ds}{M_\tau^2}. \quad (4.50)$$

S_{EW} beschreibt elektroschwache Korrekturen, die im wesentlichen durch Quarkladungen zustandekommen, welche von den ganzzahligen elektromagnetischen Ladungen der Leptonen abweichenden. Die relative Zerfallsbreite lässt sich als

$$R_\tau = R_{\tau ud} + R_{\tau us} = N_c S_{EW} ((|V_{ud}|^2 (1 + \delta_{ud}) + |V_{us}|^2 (1 + \delta_{us}))) \quad (4.51)$$

schreiben. Die führenden Terme sind hierbei die Parton-Modell-Resultate. δ_{ud} und δ_{us} stehen für Effekte der starken Wechselwirkung höherer Ordnung. V_{ud} und V_{us} sind Elemente der Cabibbo-Kobayashi-Maskawa-Mischungsmatrix. $R_{\tau ud}$ ist die Zerfallsrate in Hadronen mit Strangeness 0 und $R_{\tau us}$ die Zerfallsrate in Hadronen mit Strangeness 1. Nichtperturbative und additive elektroschwache Korrekturen zu R_τ wurden in Gl. (4.51) unterdrückt.

³Die analytische Fortsetzung des Logarithmus für komplexe Argumente $z = re^{i\phi}$ ist für den Hauptzweig durch

$$\ln z = \ln r + i\phi, \quad -\pi < \phi \leq \pi \quad (4.46)$$

gegeben.

4.5 Die Zerlegung der Korrelationsfunktion in einen q - und einen g -Teil

Alternativ zu der in der Herleitung der Wichtungsfunktion verwendeten Zerlegung der Korrelationsfunktion in transversale und longitudinale Anteile lässt sich die Korrelationsfunktion auch in einen q - und einen g -Teil zerlegen. Die Zerlegung der Korrelationsfunktion lautet dann

$$\Pi_{ij}^{\mu\nu}(q^2) = \frac{N_c}{6\pi^2} (q^\mu q^\nu \Pi_{qij}(q^2) + g^{\mu\nu} \Pi_{gij}(q^2)) . \quad (4.52)$$

Der Zusammenhang zu der physikalischen Zerlegung ist

$$\begin{aligned} \Pi_{Tij}(q^2) &= \frac{\Pi_{gij}(q^2)}{-q^2} , \\ \Pi_{Lij}(q^2) &= \Pi_{qij}(q^2) - \frac{\Pi_{gij}(q^2)}{-q^2} . \end{aligned} \quad (4.53)$$

Ausgedrückt durch die Korrelationsfunktionen des q - und des g -Teils ergibt sich für die relative τ -Zerfallsrate (Gl. (4.50))

$$R_{\tau ij} = N_c S_{EW} |V_{ij}|^2 \int_0^{M_\tau^2} 2 \left(1 - \frac{s}{M_\tau^2}\right)^2 \left(\frac{\text{Im } \Pi_{qij}(s)}{\pi} - \frac{2}{M_\tau^2} \frac{\text{Im } \Pi_{gij}(s)}{\pi} \right) \frac{ds}{M_\tau^2} . \quad (4.54)$$

4.6 Die Integration über die Kontur

Der Ausdruck für die relative τ -Zerfallsrate lässt sich umformulieren, indem man die analytischen Eigenschaften der Korrelationsfunktionen $\Pi_{L/T}$ bzw. $\Pi_{q/g}$ ausnutzt. Diese sind analytische Funktionen von s in der komplexen Ebene. Auf der positiven reellen Achse besitzen sie einen Schnitt, an dem der Imaginärteil der Korrelationsfunktionen eine Diskontinuität besitzt. Dies lässt sich folgendermassen einsehen: Jedes Feynman-Diagramm, dass zu einem S -Matrixelement beiträgt, ist reell, falls keiner der Nenner verschwindet, so dass der $i\epsilon$ -Term in den Propagatoren relevant wird. Ein Feynman-Diagramm trägt also nur dann einen imaginären Anteil zu einem S -Matrixelement bei, wenn das virtuelle Teilchen auf der Massenschale liegt. Betrachtet man ein S -Matrixelement $M(s)$ als Funktion der Gesamtenergie im Schwerpunktsystem $s = E_{\text{cm}}^2$, so können die virtuellen Zwischenzustände nicht auf der Massenschale liegen, falls $s < s_0$ ist, wobei s_0 der leichteste Vielteilchenzustand ist. Für reelle $s < s_0$ ist $M(s)$ also reell und es gilt

$$M(s) = (M(s^*))^* . \quad (4.55)$$

Aus dem Schwarz'schen Spiegelungsprinzip folgt, dass die analytische Fortsetzung von $M(s)$ zu komplexen Argumenten s die Gleichung (4.55) erfüllt. In der Nähe der reellen Achse impliziert dies:

$$\text{Re } M(s + i\epsilon) = \text{Re } M(s - i\epsilon) , \quad (4.56)$$

$$\text{Im } M(s + i\epsilon) = -\text{Im } M(s - i\epsilon) . \quad (4.57)$$

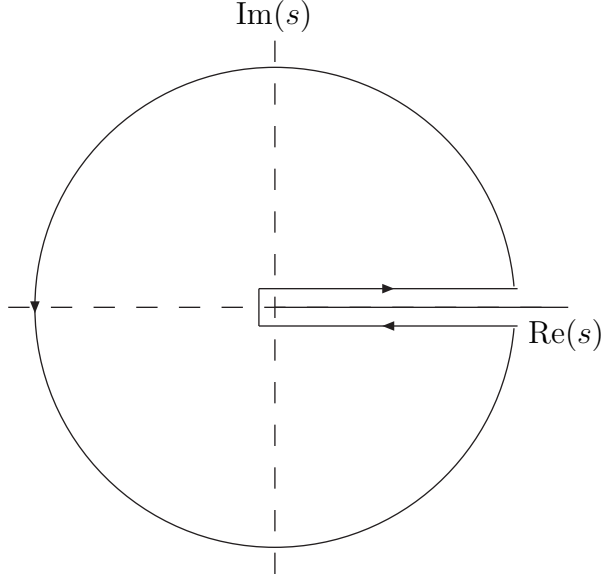


Abbildung 4.4: Integrationskontur in der komplexen s-Ebene

So lässt sich der Imaginärteil eines Matrixelementes mit der Diskontinuität in Verbindung bringen

$$M(s + i\epsilon) - M(s - i\epsilon) = \text{Disc } M(s) = 2i \text{Im } M(s + i\epsilon). \quad (4.58)$$

Aufgrund der analytischen Eigenschaften der Korrelationsfunktionen verschwindet das Konturintegral entlang der in Abbildung 4.4 abgebildeten Kontur nach dem Cauchy-Theorem, da der Integrand innerhalb der Schleife analytisch ist und keine Singularitäten besitzt. Für die Korrelationsfunktionen gilt die Dispersionsrelation

$$\frac{\text{Im } \Pi_r(q^2 + i\epsilon)}{\pi} = \frac{-i}{2\pi} (\Pi_r(q^2 + i\epsilon) - \Pi_r(q^2 - i\epsilon)) \quad (4.59)$$

mit $r = (L, T, q, g)$. Für die relative Zerfallsrate (4.50) ergibt sich so

$$R_{\tau ij} = N_c S_{EW} |V_{ij}|^2 \frac{i}{2\pi} \oint_{|s|^2 = M_\tau^2} 2 \left(1 - \frac{s}{M_\tau^2}\right)^2 \left(\left(1 + \frac{2s}{M_\tau^2}\right) \Pi_{Tij}(s) + \Pi_{Lij}(s) \right) \frac{ds}{M_\tau^2} \quad (4.60)$$

und für (4.54)

$$R_{\tau ij} = N_c S_{EW} |V_{ij}|^2 \frac{i}{2\pi} \oint_{|s|^2 = M_\tau^2} 2 \left(1 - \frac{s}{M_\tau^2}\right)^2 \left(\Pi_{qij}(s) - \frac{2}{M_\tau^2} \Pi_{gij}(s) \right) \frac{ds}{M_\tau^2}. \quad (4.61)$$

Die Integrationskontur der Integrationen in den Gleichungen (4.60, 4.61) verläuft auf einem Kreis mit dem Radius M_τ^2 gegen den Uhrzeigersinn von $s = M_\tau^2 + i\epsilon$ nach $s = M_\tau^2 - i\epsilon$.

Kapitel 5

Die Korrelationsfunktion

Die in dem Ausdruck für die τ -Zerfallsrate auftretende Korrelationsfunktion $\Pi_{ij}^{\mu\nu}$ beschreibt alle QCD-Effekte dieses Prozesses. In diesem Kapitel sollen die bereits im vorherigen Kapitel verwendeten analytischen Eigenschaften der Korrelationsfunktion weiter erläutert werden und die Berechnung der Korrelationsfunktion im Rahmen der perturbativen QCD durch die Operator-Produkt-Entwicklung (OPE) und deren Resultate dargestellt werden.

5.1 Herleitung der Dispersionsrelation

Die Dispersionsrelationen sind im wesentlichen eine Konsequenz von Kausalitätsbedingungen, aus denen Aussagen über die Analytizitätsbereiche der Korrelationsfunktionen getroffen werden können. Die Herleitung einer Dispersionsrelation soll in diesem Abschnitt am Beispiel der Korrelationsfunktion zweier hermitischer, skalarer Felder dargestellt werden. Die Darstellung ist an [39] angelehnt. An diesem Beispiel lassen sich alle wesentlichen Ideen darstellen.

5.1.1 Die Spektraldichte für skalare Felder

Die Spektraldichte zweier Skalarfelder wird als

$$\rho(q) = \frac{1}{2\pi} \int d^4x e^{iqx} \langle 0 | \phi(x) \phi(0) | 0 \rangle \quad (5.1)$$

definiert. Durch das Einsetzen einer mit der Vollständigkeitsrelation ausgedrückten Eins ($I = \sum_H |H\rangle\langle H|$) erhält man

$$\rho(q) = \frac{1}{2\pi} \int d^4x e^{iqx} \sum_H \langle 0 | \phi(x) | H \rangle \langle H | \phi(0) | 0 \rangle. \quad (5.2)$$

Die x -Abhängigkeit des ersten Matrixelements lässt sich durch die Transformationseigenschaft des Feldes ϕ bezüglich der Translationen isolieren. Es gilt

$$\phi(x) = e^{i\hat{p}x} \phi(0) e^{-i\hat{p}x}. \quad (5.3)$$

\hat{p} bezeichnet den Impulsoperator, der der infinitesimale Generator einer Translation ist. Das Vakuum und die Zustände $|H\rangle$ sind Impulseigenzustände mit den Eigenwerten

$$\hat{p}|0\rangle = 0, \quad \text{und} \quad \hat{p}|H\rangle = p_H|H\rangle. \quad (5.4)$$

Für die Spektraldichte ergibt sich so

$$\rho(q) = \frac{1}{2\pi} \sum_H \int d^4x e^{i(q-p_H)x} \langle 0|\phi(0)|H\rangle \langle H|\phi(0)|0\rangle. \quad (5.5)$$

Die x -Integration lässt sich ausführen, so dass man für die Spektraldichte

$$\begin{aligned} \rho(q) &= (2\pi)^3 \sum_H \delta(q - p_H) \langle 0|\phi(0)|H\rangle \langle H|\phi(0)|0\rangle \\ &= (2\pi)^3 \sum_H \delta(q - p_H) |\langle 0|\phi(0)|H\rangle|^2 \end{aligned} \quad (5.6)$$

erhält. Aus Gl. (5.6) lässt sich sofort ablesen, dass $\rho(q)$ eine reellwertige positiv semidefinite Funktion ist. Außerdem lässt sich zeigen, dass $\rho(q) = \rho(Aq)$ ist, falls A ein Element der orthochronen Lorentzgruppe ist, also das Vorzeichen der 0-Komponente invariant lässt. Um dies einzusehen, überlegt man sich, dass die Delta-Distribution invariant unter Transformationen ist, die $|\det(A)| = 1$ erfüllen. Es gilt

$$\delta(Aq - p_H) = \delta(A(q - A^{-1}p_H)) = \frac{\delta(q - A^{-1}p_H)}{|\det(A)|}. \quad (5.7)$$

Mit der Eigenschaft der Delta-Distribution lässt sich zeigen, dass die Spektraldichte nur vom lorentzinvarianten Quadrat des Impulses q abhängen kann. Es gilt

$$\begin{aligned} \rho(Aq) &= (2\pi)^3 \sum_H \delta(Aq - p_H) |\langle 0|\phi(0)|H\rangle|^2 \\ &= (2\pi)^3 \sum_H \delta(q - A^{-1}p_H) |\langle 0|\phi(0)|H\rangle|^2 \\ &= (2\pi)^3 \sum_{H'} \delta(q - p'_H) |\langle 0|\phi(0)|U(A)H'\rangle|^2, \end{aligned} \quad (5.8)$$

wobei $U(A)$ die Darstellung der Lorentzgruppe auf dem Zustandsraum bezeichnet. Beachtet man das Transformationsverhalten von skalaren Feldern

$$\phi(0) = U(A)\Phi(0)U^{-1}(A) \quad (5.9)$$

und die Invarianz des Vakuumzustandes unter Lorentztransformationen ($U(A)|0\rangle = |0\rangle$), so ergibt sich $\rho(q) = \rho(Aq)$. Da alle Energie-Impuls-Eigenwerte im Vorwärtslichtkegel liegen, ist

$$\rho(q) = \rho(q^2)\Theta(q_0) \quad (5.10)$$

wobei $\rho(q^2) = 0$ ist, falls $q^2 < 0$ gilt.

5.1.2 Die Dispersionsrelation für skalare Felder

Die Korrelationsfunktion zweier hermitischer Skalarfelder ist durch

$$\Pi(q^2) = i \int d^4x e^{iqx} \langle 0 | T(\phi(x)\phi(0)) | 0 \rangle \quad (5.11)$$

gegeben. Das zeitgeordnete Produkt lässt sich mit der Stufenfunktion $\Theta(x_0)$ ausschreiben:

$$T(\phi(x)\phi(0)) = \phi(x)\phi(0)\Theta(x_0) + \phi(0)\phi(x)\Theta(-x_0) . \quad (5.12)$$

Invertiert man den definierenden Ausdruck für die Spektraldichte Gl. (5.1), so ergibt sich

$$\langle 0 | \phi(x)\phi(0) | 0 \rangle = (2\pi)^3 \int d^4q e^{-iqx} \rho(q^2) \Theta(q_0) \quad (5.13)$$

$$\text{und } \langle 0 | \phi(0)\phi(x) | 0 \rangle = (2\pi)^3 \int d^4q e^{iqx} \rho(q^2) \Theta(q_0) , \quad (5.14)$$

wobei Gl. (5.14) durch komplexe Konjugation aus Gl. (5.13) hervorgeht, wenn man beachtet, dass $\rho(q^2)$ reell ist und für Operatoren $(AB)^\dagger = B^\dagger A^\dagger$ gilt. Durch Einsetzen von Gl. (5.12) und Gl. (5.13, 5.14) in die Definition der Korrelationsfunktion Gl. (5.11) ergibt sich

$$\Pi(q^2) = \frac{i}{(2\pi)^3} \int d^4x d^4k \rho(k^2) \Theta(k_0) (\Theta(x_0)e^{-ikx} + \Theta(-x_0)e^{ikx}) e^{iqx} . \quad (5.15)$$

Die Integration über \vec{x} ergibt

$$\Pi(q^2) = i \int dx_0 d^4k \rho(k^2) \Theta(k_0) \left(\Theta(x_0) \delta(\vec{q} - \vec{k}) e^{i(q_0 - k_0)x} + \Theta(-x_0) \delta(\vec{q} + \vec{k}) e^{i(q_0 - k_0)x} \right) . \quad (5.16)$$

Die Fourierdarstellung der Stufenfunktion lautet

$$\Theta(x_0) = \frac{i}{2\pi} \int dp_0 \frac{e^{-ip_0 x_0}}{p_0 + i\epsilon} , \quad (5.17)$$

woraus

$$\int dx_0 \Theta(x_0) e^{iq_0 x_0} = \frac{i}{q_0 + i\epsilon} \quad (5.18)$$

folgt. Mit Gl. (5.18) lässt sich die Integration über x_0 in Gl. (5.16) ausführen.

$$\Pi(q^2) = - \int d^4k \rho(k^2) \Theta(k_0) \left(\frac{\delta(\vec{q} - \vec{k})}{q_0 - k_0 + i\epsilon} + \frac{\delta(\vec{q} + \vec{k})}{-(q_0 + k_0) + i\epsilon} \right) \quad (5.19)$$

Die Integration über $d^3\vec{k}$ ergibt

$$\Pi(q^2) = - \int dk_0 \rho(k_0^2 - \vec{q}^2) \Theta(k_0) \left(\frac{1}{q_0 - k_0 + i\epsilon} + \frac{1}{-(q_0 + k_0) + i\epsilon} \right) \quad (5.20)$$

$$= \int dk_0 \rho(k_0^2 - \vec{q}^2) \Theta(k_0) \left(\frac{2k_0}{k_0^2 - q_0^2} \right) . \quad (5.21)$$

Durch eine Transformation der Integrationsvariablen von k_0 zu s

$$s := k_0^2 - q^2 \quad (5.22)$$

$$ds = 2k_0 dk_0 \quad (5.23)$$

ergibt sich die Dispersionsrelation

$$\Pi(q^2) = \int_0^\infty \frac{\rho(s)ds}{s - q^2}, \quad (5.24)$$

da $\rho(s) \sim \Theta(s)$ ist.

5.2 Dispersionsrelationen

Die Korrelationsfunktion $\Pi_{ij}^{\mu\nu}$ lässt sich durch zwei skalare Funktionen beschreiben, so dass

$$\Pi_{ij}^{\mu\nu}(q^2) = \frac{N_c}{6\pi^2} (T_{r_1}^{\mu\nu} \Pi_{r_1}(q^2) + T_{r_2}^{\mu\nu} \Pi_{r_2}(q^2)), \quad (5.25)$$

wobei $(r_1, r_2) = (T, L)$ oder (q, g) sind. Die skalaren Funktionen $\Pi_r(q^2)$ sind analytisch in q^2 und besitzen einen Schnitt entlang der positiven reellen Achse. Sie lassen sich mit den entsprechenden Spektraldichten ρ_r durch die Dispersionsrelation

$$\Pi_r(q^2) = \int_0^\infty \frac{\rho_r(s) ds}{s - q^2} \quad \text{modulo Subtraktionen} \quad (5.26)$$

darstellen, wobei Subtraktionen notwendig sind, um das Integral in Gl. (5.26) endlich zu machen, was im folgenden Absatz erklärt wird. Die Spektraldichten $\rho_r(s)$ sind reelle, positive Funktionen. Die Dispersionsrelationen (5.26) lassen sich invertieren, wenn man die sog. Sokhotsky-Plemelj-Gleichung

$$\frac{1}{x \pm i\epsilon} = P \left(\frac{1}{x} \right) \mp i\pi\delta(x) \quad (5.27)$$

beachtet. P steht für den Hauptwert. Mit Gleichung (5.27) ergibt sich aus der Dispersionsrelation Gl. (5.26)

$$\Pi_r(q^2 \pm i\epsilon) = \int \frac{\rho_r(s) ds}{s - q^2 \mp i\epsilon} = P \int \frac{\rho_r(s) ds}{s - q^2} \pm i\pi\rho_r(q^2) \quad \text{wobei } \text{Im}(q^2) = 0. \quad (5.28)$$

Aus Gl. (5.28) erkennt man, dass der Imaginärteil der Korrelationsfunktionen auf der reellen Achse unstetig ist, da er sein Vorzeichen wechselt. Durch Subtraktion von Gl. (5.28) mit unterschiedlichem Vorzeichen des $i\epsilon$ -Terms ergibt sich die inverse Dispersionsrelation

$$\frac{1}{2\pi i} (\Pi_r(s + i\epsilon) - \Pi_r(s - i\epsilon)) = \frac{1}{2\pi i} \text{Disc}(\Pi_r(s)) = \frac{\text{Im}\Pi_r(s + i\epsilon)}{\pi} = \rho_r(s). \quad (5.29)$$

5.3 Die Adlerfunktion

Die Korrelationsfunktion $\Pi_r(q^2)$ ist nicht multiplikativ renormierbar, da sie keinen endlichen Term in der führenden Ordnung besitzt. Bereits der erste bei der Berechnung der Korrelationsfunktion auftretende Graph enthält eine divergente Schleife (vgl. Abb. 5.1). Um die Korrelationsfunktion endlich zu machen, ist es notwendig, den divergenten Anteil zu subtrahieren. Es ergibt sich so

$$\begin{aligned}\Pi_{\text{Sub}}(q^2) &= \Pi(q^2) - \Pi(0) \\ &= \int_0^\infty \frac{\rho(s)ds}{s - q^2} - \int_0^\infty \frac{\rho(s)ds}{s} \\ &= \int_0^\infty \rho(s)ds \left(\frac{1}{s - q^2} - \frac{1}{s} \right) = q^2 \int_0^\infty \frac{\rho(s)ds}{s(s - q^2)}.\end{aligned}\quad (5.30)$$

Da die Spektraldichte $\rho(s)$ für große Impulsquadrat s konstant ist (siehe Gl. (6.7)) und der Nenner des Integrals in Gl. (5.30) sich für große s wie s^{-2} verhält, ist die subtrahierte Korrelationsfunktion endlich.

Anstelle der Spektraldichte kann man auch die Adlerfunktion $D_r(Q^2)$ betrachten. Diese ist durch

$$D_r(Q^2) = -Q^2 \frac{d}{dQ^2} \Pi_r(Q^2) \quad (5.31)$$

definiert, wobei $Q^2 = -q^2$ das euklidische Impulsquadrat bezeichnet. Für die Adlerfunktion erhält man die Spektraldarstellung

$$\begin{aligned}D_r(Q^2) &= -Q^2 \frac{d}{dQ^2} \Pi_r(Q^2) \\ &= -Q^2 \int_0^\infty \frac{d}{dQ^2} \frac{\rho(s)ds}{s + Q^2} = Q^2 \int_0^\infty \frac{\rho(s)ds}{(s + Q^2)^2}.\end{aligned}\quad (5.32)$$

Aus der Spektraldarstellung für die Adlerfunktion sieht man wiederum, dass diese endlich ist, da die Spektraldichte für große Werte von s konstant ist.

5.4 Die Operator-Produkt-Entwicklung (OPE)

Das asymptotische Verhalten der Korrelationsfunktion $\Pi_{ij}^{\mu\nu}$ lässt sich im asymptotischen Grenzfall $-q^2 = Q^2 \rightarrow \infty$ im Rahmen der Störungstheorie berechnen. Es ist durch die Operator-Produkt-Entwicklung (OPE) des Produktes der beiden Ströme in der Korrelationsfunktion gegeben,

$$\Pi_{ij}^{\mu\nu}(q) = i \int d^4x e^{iqx} \langle 0 | T(j_{ij}^\mu(x) j_{ij}^{\nu\dagger}(0)) | 0 \rangle \underset{-q^2 \rightarrow \infty}{\longrightarrow} \sum_d \sum_n C_{nij}^{(d)\mu\nu} \langle \mathcal{O}_{nij}^{(d)} \rangle. \quad (5.33)$$

Die $C_{nij}^{(d)\mu\nu}$ sind komplexe Funktionen, welche im Rahmen der Störungstheorie berechnet werden können. Die $\mathcal{O}_{nij}^{(d)}$ sind Operatoren, die aus Feldern der QCD-Lagrangefunktion zusammengesetzt sind. In der OPE (Gl. (5.33)) treten nur skalare Operatoren auf, da alle anderen Operatoren verschwindende Beiträge liefern. Die Operatoren werden nach ihrer Massendimension (d) geordnet. Bis zur Dimension vier treten die folgenden Operatoren auf

$$\begin{aligned}\mathcal{O}^{(0)} &= 1, & \mathcal{O}^{(2)} &= m^2, \\ \mathcal{O}_1^{(4)} &= G_{\mu\nu}^2, & \mathcal{O}_2^{(4)} &= m\bar{\psi}_i\psi_j, & \mathcal{O}_3^{(4)} &= m^4,\end{aligned}\quad (5.34)$$

wobei $G_{\mu\nu}$ den Feldstärketensor des Gluonfeldes und ψ ein Quarkfeld bezeichnen. Wenn die Operatoren als normalgeordnet angenommen werden, verschwinden die Vakuumerwartungswerte der nicht-trivialen Operatoren in der Störungstheorie. Im diesem Ansatz werden die Operatoren verwendet, um nicht perturbative-Effekte zu parametrisieren [31].

5.5 Die Massenentwicklung der Korrelationsfunktion

Für die in den nachfolgenden Kapiteln beschriebene Analyse der asymptotischen Struktur der Störungsreihe von τ -Lepton Observablen wird insbesonders die Entwicklung der Korrelationsfunktion in der Strange-Quark-Masse benötigt. Diese wurde in [32, 33, 34, 35, 36] Berechnet und im Rahmen dieser Arbeit bis zu der Ordnung α_s auf Richtigkeit überprüft. Bis zur Ordnung m^2 entspricht diese den Koeffizienten $C_{ij}^{(0)\mu\nu}$ und $C_{ij}^{(2)\mu\nu}$ der OPE (Gl. (5.33)). Die Massenentwicklung lässt sich mit den im Anhang A angegebenen Feynman-Regeln berechnen, wenn man beachtet, dass der Operatoreinsetzung $j_{V/Aij}^\mu(x) = \psi_i(x)\gamma^\mu(\gamma_5)\psi_j^\dagger(x)$ ein zusätzlicher Vertex entspricht. Die Feynman-Regeln für diesen lauten

$$\begin{array}{l} \text{(Axial)Vektor-Strom} \\ \text{Operatoreinsetzung} \end{array} \quad \begin{array}{c} p, \alpha \\ \text{---} \\ A, i \end{array} \quad \bullet \quad \begin{array}{c} p', \beta \\ \text{---} \\ B, j \end{array} \quad (\gamma^\mu(\gamma_5))_{\alpha\beta} \mu^\epsilon \delta_{AB}, \quad (5.35)$$

wobei bereits die bei der Verwendung der dimensionalen Regularisierung notwendige Massenskala μ mit aufgeführt wurde. Die Erhaltung der Farbladung wird durch das Kronecker-Delta δ_{AB} beschrieben. Das Quarkflavour wird an diesem Vertex nicht erhalten. In der relativen τ -Zerfallsrate treten die Korrelationsfunktionen $\Pi_{ud}^{\mu\nu}$ und $\Pi_{us}^{\mu\nu}$ auf, welche für die Beschreibung des τ -Leptons in Hadronen mit “strangeness” 0 und 1 benötigt werden. Die Up- und Down-Quarks besitzen im Vergleich zu dem τ -Lepton eine sehr geringe Masse ($m_u \approx 5 \text{ MeV}$, $m_d \approx 10 \text{ MeV}$) [1], so dass diese Massen vernachlässigt werden können. Die Masse des Strange-Quarks (m_s) ist wesentlich größer als die der Up- und Down-Quarks und beträgt ungefähr 10% der τ -Lepton-Masse [16]. Aus diesem Grund ist es sinnvoll, die Korrelationsfunktion in m_s zu entwickeln. Um die führende Ordnung und die erste QCD-Korrektur der Korrelationsfunktion zu berechnen, müssen die in Abb. 5.1 dargestellten Feynman-Graphen berechnet werden. Verwendet man die Feynman-Regeln der QCD aus

$$\begin{aligned}
 (-i)\Pi_{us}^{\mu\nu} &= \text{Diagram 1} + \left[\text{Diagram 2} + \text{Diagram 3} + \text{Diagram 4} \right] + \mathcal{O}(\alpha_s^2) \\
 (-i)\Pi_{us}^{\mu\nu} &= \text{Diagram 1} + \left[\text{Diagram 2} + \text{Diagram 3} + \text{Diagram 5} \right] + \mathcal{O}(\alpha_s^2)
 \end{aligned}$$

Abbildung 5.1: Bei der Berechnung der führenden Ordnung und der ersten QCD-Korrektur der Korrelationsfunktion auftretende Feynman-Diagramme. Fettgedruckte Quarkpropagatoren bezeichnen hierbei das als massiv behandelte Strange-Quark mit Masse m_s und dünn gedruckte Quarkpropagatoren die Up- und Down-Quarks, deren Massen vernachlässigt werden können.

Anhang A und die Regeln für die Operatoreinsetzung des Stromes $j_{V/Aij}^{\mu\nu}(x)$ aus Gl. (5.35), so ergibt sich für die Korrelationsfunktion $\Pi_{us}^{\mu\nu}$ bis zur Ordnung α_s der Ausdruck

$$\begin{aligned}
 \Pi_{us}^{\mu\nu} = & 2N_c \left\{ i \int \frac{d^d p \mu^{2\epsilon}}{(2\pi)^d} \frac{\text{Tr}(\gamma^\mu(\not{p} - \not{q})\gamma^\nu(\not{p} + m_s))}{((p - q)^2 + i\epsilon)(p^2 - m_s^2 + i\epsilon)} + \right. \\
 & + g^2 C_F \left(\int \frac{d^d p \mu^{2\epsilon}}{(2\pi)^d} \int \frac{d^d k \mu^{2\epsilon}}{(2\pi)^d} \frac{\text{Tr}(\gamma^\mu \not{p} \gamma^\sigma \not{k} \gamma_\sigma \not{p} \gamma^\nu(\not{p} - \not{q} + m_s))}{(p^2 + i\epsilon)^2(k^2 + i\epsilon)((p - k)^2 + i\epsilon)} \times \right. \\
 & \quad \times \frac{1}{((p - q)^2 - m_s^2 + i\epsilon)} \\
 & + \int \frac{d^d p \mu^{2\epsilon}}{(2\pi)^d} \int \frac{d^d k \mu^{2\epsilon}}{(2\pi)^d} \frac{\text{Tr}(\gamma^\mu(\not{p} + m_s)\gamma^\sigma(\not{k} + m_s)\gamma_\sigma(\not{p} + m_s)\gamma^\nu(\not{p} - \not{q}))}{(p^2 - m_s^2 + i\epsilon)^2(k^2 - m_s^2 + i\epsilon)} \times \\
 & \quad \times \frac{1}{((p - q)^2 + i\epsilon)((p - k)^2 + i\epsilon)} \\
 & + \int \frac{d^d p \mu^{2\epsilon}}{(2\pi)^d} \int \frac{d^d k \mu^{2\epsilon}}{(2\pi)^d} \frac{\text{Tr}(\gamma^\mu(\not{k} + m_s)\gamma^\sigma(\not{p} + m_s)\gamma^\nu(\not{p} - \not{q})\gamma_\sigma(\not{k} - \not{q}))}{(k^2 - m_s^2 + i\epsilon)(p^2 - m_s^2 + i\epsilon)((k - q)^2 + i\epsilon)} \times \\
 & \quad \times \left. \frac{1}{((p - q)^2 + i\epsilon)((k - p)^2 + i\epsilon)} \right\}. \quad (5.36)
 \end{aligned}$$

In Gl. (5.36) wurde bereits berücksichtigt, dass der eingesetzte Vektor- und der Axialvektorstrom dieselben Resultate liefern, woraus sich der Faktor 2 ergibt. Der entsprechende Ausdruck für $\Pi_{ud}^{\mu\nu}$ ergibt sich, indem man in Gl. (5.36) $m = 0$ setzt. Für die Berechnung von Gl. (5.36) ist es sinnvoll, folgendermaßen vorzugehen:

1. Anstelle des Tensors $\Pi_{us}^{\mu\nu}$ berechnet man besser die Skalare $\Pi_1 = g_{\mu\nu}\Pi_{us}^{\mu\nu}$ und $\Pi_2 = q_\mu q_\nu \Pi_{us}^{\mu\nu}$.
2. Die Integranden werden in der Masse um $m_s = 0$ entwickelt.

3. Die im Zähler nach der Spurbildung auftretenden Skalarprodukte werden quadratisch ergänzt, so dass man anschließend mit dem Nenner kürzen kann.

$$\text{Z.B.: } (p \cdot q) = -\frac{1}{2}((p - q)^2 - p^2 - q^2)$$

4. Durch eine Wickrotaion, bei der alle Skalarprodukte ihr Vorzeichen wechseln und sich das Integrationsmaß gemäß $d^d k_L = +i d^d k_E$ transformiert, lassen sich direkt die in Kapitel 2 angegebenen Formeln für die Ein- und Zweischleifenintegrale anwenden.
5. Die Zerlegung der Korrelationsfunktion in den transversalen und den longitudinalen Anteil bzw. in den q - und den g -Anteil ergibt sich aus den berechneten Kontraktionen $\Pi_{1/2}$ durch

$$\Pi_L = \frac{6\pi^2}{N_C} \frac{\Pi_2}{Q^4}, \quad \Pi_T = \frac{6\pi^2}{N_C} \frac{\Pi_1 + \Pi_2/Q^2}{Q^2(3-2\epsilon)} \quad (5.37)$$

und

$$\Pi_q = \frac{6\pi^2}{N_C} \left[\frac{\Pi_2}{Q^4} + \frac{\Pi_1 + \Pi_2/Q^2}{Q^2(3-2\epsilon)} \right], \quad \Pi_g = \frac{6\pi^2}{N_C} \frac{\Pi_1 + \Pi_2/Q^2}{3-2\epsilon}. \quad (5.38)$$

Hier ist wieder $Q^2 = -q^2$. Der Regulator ϵ entsteht durch die Kontraktion des metrischen Tensors mit sich selbst ($g_{\mu\nu}g^{\mu\nu} = 4 - 2\epsilon$).

Dieser Vorgang kann mit einem im Rahmen meiner Diplomarbeit geschriebenen MATHEMATICA-Programmes halbautomatisch ausgeführt werden. Man erhält auf diese Weise für die Entwicklung der Korrelationsfunktionen in der Masse des schweren Quarks

$$\begin{aligned} \Pi_q &= \frac{1}{\epsilon} \left[1 + C_F \frac{3}{8} \frac{\alpha_s}{\pi} \right] + \left[\frac{5}{3} + L + C_F \left(\frac{55}{16} - 3\zeta(3) + \frac{3}{4}L \right) \frac{\alpha_s}{\pi} \right] \\ &\quad + \epsilon \left[\frac{10}{9} + \frac{5}{3}L + \frac{1}{2}L^2 + C_F \left(\frac{1567}{96} - \frac{19}{2}\zeta(3) - \frac{1}{20}\pi^4 + \left(\frac{55}{8} - 6\zeta(3) \right)L + \frac{3}{4}L^2 \right) \frac{\alpha_s}{\pi} \right] \\ &\quad + \frac{m_B^2}{Q^2} \left\{ -\frac{1}{\epsilon} C_F \frac{9}{2} \frac{\alpha_s}{\pi} + \left[-3 + C_F \left(-\frac{57}{4} - 9L \right) \frac{\alpha_s}{\pi} \right] \right. \\ &\quad \left. + \epsilon \left[-6 - 3L + C_F \left(-\frac{295}{8} + 6\zeta(3) - \frac{57}{2}L - 9L^2 \right) \frac{\alpha_s}{\pi} \right] \right\} \end{aligned} \quad (5.39)$$

und

$$\begin{aligned} \Pi_g &= Q^2 \left\{ \frac{1}{\epsilon} \left[1 + C_F \frac{3}{8} \frac{\alpha_s}{\pi} \right] + \left[\frac{5}{3} + L + C_F \left(\frac{55}{16} - 3\zeta(3) + \frac{3}{4}L \right) \frac{\alpha_s}{\pi} \right] \right. \\ &\quad + \epsilon \left[\frac{10}{9} + \frac{5}{3}L + \frac{1}{2}L^2 + C_F \left(\frac{1567}{96} - \frac{19}{2}\zeta(3) - \frac{1}{20}\pi^4 + \left(\frac{55}{8} - 6\zeta(3) \right)L + \frac{3}{4}L^2 \right) \frac{\alpha_s}{\pi} \right] \left. \right\} \\ &\quad + m_B^2 \left\{ \frac{1}{\epsilon^2} C_F \frac{9}{8} \frac{\alpha_s}{\pi} + \frac{1}{\epsilon} \left[\frac{3}{2} + C_F \left(\frac{15}{16} + \frac{9}{4}L \right) \frac{\alpha_s}{\pi} \right] \right. \\ &\quad \left. + \left[\frac{3}{2}L + C_F \left(\frac{81}{32} - \frac{9}{2}\zeta(3) + \frac{15}{8}L + \frac{9}{4}L^2 \right) \frac{\alpha_s}{\pi} \right] \right\} \end{aligned}$$

$$+ \epsilon \left[-3 + \frac{3}{4}L^2 + C_F \left(\frac{691}{64} - \frac{39}{4}\zeta(3) \right. \right. \\ \left. \left. - \frac{3}{40}\pi^4 + \left(\frac{81}{16} - 9\zeta(3) \right) L + \frac{15}{8}L^2 + \frac{3}{2}L^3 \right) \frac{\alpha_s}{\pi} \right] \} . \quad (5.40)$$

Hierbei bezeichnet $L = \ln(\frac{\mu^2}{Q^2})$ und $Q^2 = -q^2$. Durch Renormierung der Quarkmasse gemäß

$$m_B = m \left(1 - C_F \frac{3}{4} \frac{\alpha_s}{\pi} \frac{1}{\epsilon} + \mathcal{O}(\alpha_s^2) \right) \quad (5.41)$$

ergibt sich für die Korrelationsfunktion

$$\Pi_q = \frac{1}{\epsilon} \left[1 + C_F \frac{3}{8} \frac{\alpha_s}{\pi} \right] + \frac{5}{3} + L + C_F \left(\frac{55}{16} - 3\zeta(3) + \frac{3}{4}L \right) \frac{\alpha_s}{\pi} \\ + \frac{m^2}{Q^2} \left\{ -3 + C_F \left(-\frac{21}{4} - \frac{9}{2}L \right) \frac{\alpha_s}{\pi} \right\} \quad (5.42)$$

und

$$\Pi_g = Q^2 \left\{ \frac{1}{\epsilon} \left[1 + C_F \frac{3}{8} \frac{\alpha_s}{\pi} \right] + \frac{5}{3} + L + C_F \left(\frac{55}{16} - 3\zeta(3) + \frac{3}{4}L \right) \frac{\alpha_s}{\pi} \right\} \\ + m^2 \left\{ -\frac{1}{\epsilon^2} C_F \frac{9}{8} \frac{\alpha_s}{\pi} + \frac{1}{\epsilon} \left[\frac{3}{2} + C_F \frac{15}{16} \frac{\alpha_s}{\pi} \right] \right. \\ \left. + \frac{3}{2}L + C_F \left(\frac{225}{32} - \frac{9}{2}\zeta(3) + \frac{15}{8}L + \frac{9}{8}L^2 \right) \frac{\alpha_s}{\pi} \right\} . \quad (5.43)$$

Die so erzielten Resultat stimmen mit den im folgenden Abschnitt zitierten Ergebnissen aus [32, 33, 34, 35, 36] überein.

5.6 Resultate für die Massenentwicklung der Korrelationsfunktion

Die Massenentwicklung der Korrelationsfunktion in m^2/q^2 lässt sich als

$$\Pi_q(q^2) = \Pi(q^2) + 3 \frac{m_s^2}{q^2} \Pi_{mq}(q^2) \quad (5.44)$$

$$\Pi_g(q^2) = -q^2 \Pi(q^2) + \frac{3}{2} m_s^2 \Pi_{mg}(q^2) \quad (5.45)$$

schreiben. Die Resultate der Störungstheorie für die Adlerfunktion und die Korrelationsfunktion sind

$$-Q^2 \frac{d}{dQ^2} \Pi(Q^2) \Big|_{\mu^2=Q^2} =$$

$$\begin{aligned}
&= D(Q^2) \Big|_{\mu^2=Q^2} = 1 + \frac{\alpha_s}{\pi} + k_1 \left(\frac{\alpha_s}{\pi} \right)^2 + k_2 \left(\frac{\alpha_s}{\pi} \right)^3 + k_3 \left(\frac{\alpha_s}{\pi} \right)^4 + \mathcal{O}(\alpha_s^5) \\
-Q^2 \frac{d}{dQ^2} \Pi_{mg}(Q^2) \Big|_{\mu^2=Q^2} &= \\
&= D_{mg}(Q^2) \Big|_{\mu^2=Q^2} = 1 + \frac{5}{3} \frac{\alpha_s}{\pi} + k_{g1} \left(\frac{\alpha_s}{\pi} \right)^2 + k_{g2} \left(\frac{\alpha_s}{\pi} \right)^3 + k_{g3} \left(\frac{\alpha_s}{\pi} \right)^4 + \mathcal{O}(\alpha_s^5) \\
\Pi_{mq}(Q^2) \Big|_{\mu^2=Q^2} &= 1 + \frac{7}{3} \frac{\alpha_s}{\pi} + k_{q1} \left(\frac{\alpha_s}{\pi} \right)^2 + k_{q2} \left(\frac{\alpha_s}{\pi} \right)^3 + \mathcal{O}(\alpha_s^4), \quad (5.46)
\end{aligned}$$

wobei die nummerischen Werte der Koeffizienten im masselosen Grenzfall durch [32, 33, 34]

$$\begin{aligned}
k_1 &= \frac{299}{24} - 9\zeta(3), \\
k_2 &= \frac{58057}{288} - \frac{779}{4}\zeta(3) + \frac{75}{2}\zeta(5) \quad (5.47)
\end{aligned}$$

und für die m^2/q^2 -Korrektur durch [35, 36]

$$\begin{aligned}
k_{q1} &= \frac{13981}{432} + \frac{323}{54}\zeta(3) - \frac{520}{27}\zeta(5), \\
k_{g1} &= \frac{4591}{144} - \frac{35}{2}\zeta(3), \\
k_{g2} &= \frac{1967833}{5184} - \frac{\pi^4}{36} - \frac{11795}{24}\zeta(3) + \frac{33475}{108}\zeta(5)
\end{aligned}$$

gegeben sind. Alle Resultate sind für 3 Flavours ($N_f = 3$) und Eichgruppe $SU(3)$ ($C_F = 4/3$, $N_c = 3$) im $\overline{\text{MS}}$ -Schema angegeben. Die Koeffizienten k_3 , k_{q2} , und k_{g3} sind noch nicht bekannt. Da die Funktionen D , $(m_s^2 D_{mg})$ und $(m_s^2 \Pi_{mq})$ RG-invariant sind¹, kann die Renormierungsskala μ frei gewählt werden. Wird wie in Gl. (5.46) $\mu^2 = Q^2$ gesetzt, so verschwinden alle Logarithmen, und die Q^2 -Abhängigkeit der Funktionen D , $(m_s^2 D_{mg})$ und $(m_s^2 \Pi_{mq})$ wird durch das Laufen der Kopplungskonstante und der Quarkmasse beschrieben. Die explizite Q^2 -Abhängigkeit von Gl. (5.46) kann durch Einsetzen der Ausdrücke für die laufende Kopplungskonstante $\alpha_s(Q^2)$ (Gl. (3.31)) und für die laufende Masse $m(Q^2)$ (Gl. (3.32)) in Gl. (5.46) gefunden werden.

¹ Ströme besitzen eine verschwindende anormale Dimension, wenn sie Generatoren einer Symmetrie sind [29]. Dies sieht man ein, indem man die kanonischen Ladungsoperatoren

$$Q^a(t) = \int d^3x J_0^a(x) \quad (5.48)$$

bildet, welche die Kommutatorrelation

$$[Q^a(t), Q^b(t)] = i f^{abc} Q^c(t) \quad (5.49)$$

erfüllen. $Q^a(t)$ muss dimensionslos sein, damit (Gl. (5.49)) gilt. Hieraus ergibt sich für J_0^a die Dimension 3, woraus mit Kovarianz folgt, dass J_μ^a keine anormale Dimension besitzen kann, was gleichbedeutend mit RG-Invarianz ist.

Kapitel 6

Der masselose Teil

In diesem Kapitel werden die Störungsreihen von τ -Lepton-Observablen im Limes verschwindender Quarkmassen analysiert. In diesem Fall verschwindet der longitudinale Anteil der Spektraldichte Π_L aufgrund der masselosen Diracgleichung, die die Quarkspinoren erfüllen. Für die Zerfallsbreite in Hadronen mit Strangeness Null ergibt sich im Limes masseloser Quarks

$$\begin{aligned} R_{\tau S=0} &= N_c S_{EW} |V_{ud}|^2 \int_0^{M_\tau^2} 2 \left(1 - \frac{s}{M_\tau^2}\right)^2 \left(1 + 2 \frac{s}{M_\tau^2}\right) \rho(s) \frac{ds}{M_\tau^2} \\ &= N_c S_{EW} |V_{ud}|^2 (1 + \delta_P), \end{aligned} \quad (6.1)$$

wobei die additiven elektroschwachen und die nichtperturbativen Korrekturen zu $R_{\tau S=0}$ nicht aufgeführt sind.

6.1 Interne störungstheoretische Beschreibung

Die zentrale Größe für τ -Lepton-Zerfälle ist die hadronische Spektraldichte, die in dem Energieintervall $(0, M_\tau = 1.777 \text{ GeV})$ gemessen werden kann. Im Rahmen der Störungstheorie kann die hadronische Spektraldichte nicht punktweise mit den experimentellen Daten verglichen werden. Anstelle dessen müssen Momente (oder allgemeiner Fourier-Komponenten über einen vollständigen Satz von Testfunktionen) mit dem Experiment verglichen werden. Die Momente der Spektraldichte sind durch

$$M(n) = (n+1) \int_0^{M_\tau^2} \rho(s) \left(\frac{s}{M_\tau^2}\right)^n \frac{ds}{M_\tau^2} \equiv 1 + m_n \quad (6.2)$$

gegeben ($n = 0, 1, \dots, \infty$). Aufgrund der Vollständigkeit der Basis $\{s^n : n = 0, 1, \dots, \infty\}$ enthalten die Momente m_n alle Informationen der Funktion $\rho(s)$. Das Spektrum lässt sich RG-invariant, d.h. unabhängig von der Definition der Ladung, untersuchen, indem alle Momente gleichzeitig analysiert werden. Es ist wichtig festzustellen, dass im Rahmen der Störungstheorie in endlicher Ordnung die Momente aus Gl. (6.2) mit den Resultaten

aus der Konturintegration (4.60) [5, 6, 7, 19] aufgrund der analytischen Eigenschaften des Logarithmus übereinstimmen.

Um alle vom Renormierungsschema abhängigen Konstanten in den Ausdrücken der Störungstheorie für die Momente zu beseitigen, wird durch die Relation

$$\rho(s) = 1 + a(s); \quad a(M_\tau^2) = \frac{\alpha_s}{\pi} (1 + \dots) \quad (6.3)$$

eine effektive Ladung $a(s)$ definiert. Die masselose Spektraldichte erhält man, indem man zunächst mit dem Ausdruck für die laufende Kopplungskonstante (Gl. (3.32)) die explizite Impulsabhängigkeit der Adlerfunktion $D(Q^2)$ (Gl. (5.46)) bestimmt. Die Korrelationsfunktion $\Pi(Q^2)$ ergibt sich aus der Adlerfunktion durch logarithmische Integration gemäß

$$\Pi(L) = \int_0^L dL' D(L'), \quad (6.4)$$

wobei $L = \ln(M_\tau^2/Q^2)$ ist. Die Spektraldichte ρ hängt mit dem Imaginärteil der Korrelationsfunktion über

$$\rho = \frac{\text{Im}(\Pi(Q^2))}{\pi} \quad (6.5)$$

zusammen, wobei die Imaginärteile der einzelnen Potenzen der Logarithmen durch

$$\frac{\text{Im}(L^n)}{\pi} = \frac{\text{Im}(l + i\pi)^n}{\pi} = \begin{cases} 1 & n = 1 \\ 2l & n = 2 \\ 3l^2 - \pi^2 & n = 3 \\ 4l^3 - 4l\pi^2 & n = 4 \end{cases} \quad (6.6)$$

mit $l = \ln(M_\tau^2/q^2)$ gegeben sind. Für die Spektraldichte ergibt sich so

$$\begin{aligned} \rho(s) = & 1 + a + 2.25a^2l + a^3(4l + 5.063l^2) + a^4(-25.7l + 22.5l^2 + 11.4l^3) \\ & + a^5((-409.5 + 4.5k_3)l - 149.4l^2 + 87.75l^3 + 25.63l^4) + \mathcal{O}(a^6). \end{aligned} \quad (6.7)$$

Die effektive Kopplungskonstante a ist an der Stelle $a = a(M_\tau^2)$ genommen. Alle Konstanten, die durch die Wahl eines Renormierungsschemas auftreten, werden in der Definition der effektiven Ladung a absorbiert [37, 40, 41, 42]. Gäbe es kein Laufen der Kopplungskonstante (wie z.B. im ‘conformal limit’ der QCD für $(n_f \rightarrow 22/3)$ mit verschwindender β -Funktion oder bei dem Infrarot-Fixpunkt), so würde die gesamte Physik des τ -Leptons in der masselosen Approximation (ohne Teilchen mit Strangeness und bei Vernachlässigung der nichtperturbativen Kondensate) sich auf die Bestimmung einer einzigen Zahl $a(M_\tau) \equiv a$ reduzieren, und es gäbe keine Probleme mit der Konvergenz der Störungsreihe. Aufgrund der Abhängigkeit der Kopplungskonstante $a(s)$ von der Energieskala s ergeben sich für verschiedene Observable, welche durch Momente der Spektraldichte gegeben sind, verschiedene Störungsreihen aus dem ursprünglichen Objekt $\rho(s)$ in Gl. (6.7). Ohne das Laufen der Kopplungskonstante hätte man

$$M(n) = 1 + a(M_\tau) \equiv 1 + a \quad \text{oder} \quad m_n \equiv a, \quad (6.8)$$

womit die Analyse der Störungstheorie abgeschlossen wäre (Kondensatkorrekturen werden in diesem Kapitel nicht berücksichtigt). Der ganze Satz von Momenten muss RG-invariant analysiert werden [42, 43, 44]. Das Einführen einer natürlichen internen Kopplungskonstante $a(s)$ erlaubt es, die Störungsreihe eine Ordnung weiter fortzuführen, als dies im $\overline{\text{MS}}$ -Schema möglich ist [44, 17]. Durch die Definition der effektiven Ladung mit $\rho_T(s)$ ergeben sich perturbative Korrekturen ausschließlich aufgrund des Laufens der Kopplungskonstante. In jeder Ordnung der Störungstheorie ist die Skalenabhängigkeit der Kopplungskonstante $a(s)$ (Def.: Gl. (6.3)) durch die Koeffizienten der effektiven β -Funktion gegeben. Die Koeffizienten der effektiven β -Funktion lassen sich aus Gl. (3.47) mit der Relation zwischen der effektiven Kopplung a und der Kopplungskonstante im $\overline{\text{MS}}$ -Schema α_s (6.3) bestimmen:

$$a(s) = a + \beta_0 l a^2 + (\beta_1 l + \beta_0^2 l^2) a^3 + (\beta_2 l + \frac{5}{2} \beta_1 \beta_0 l^2 + \beta_0^3 l^3) a^4 + \dots . \quad (6.9)$$

Hier bezeichnet $a = a(M_\tau^2)$ und die β_i die Koeffizienten der β -Funktion für die effektiven Ladung a . Die Beiträge der verschiedenen Potenzen der Logarithmen ergeben sich zu ¹

$$(n+1) \int_0^{M_\tau^2} \left(\frac{s}{M_\tau^2} \right)^n \ln^p \left(\frac{M_\tau^2}{s} \right) \frac{ds}{M_\tau^2} = \frac{p!}{(n+1)^p} . \quad (6.11)$$

Gleichung (6.11) zeigt, dass die Effekte des Laufens der Kopplungskonstante mit großen n abnehmen und sich so die Konvergenz der Störungsreihe verbessert. Durch die in Gl. (6.3) gegebene Definition für die Ladung verschwinden alle QCD-Korrekturen höherer Ordnung für $n \rightarrow \infty$. Wird das Laufen der Kopplungskonstante berücksichtigt, so ergibt sich anstelle von Gl. (6.8)

$$\begin{aligned} m_0 &= a + 2.25a^2 + 14.13a^3 + 87.66a^4 + (433.3 + 4.5k_3)a^5 , \\ m_1 &= a + 1.125a^2 + 4.531a^3 + 6.949a^4 + (-175.2 + 2.25k_3)a^5 , \end{aligned}$$

¹Das Integral aus Gl. (6.11) lässt sich analytisch berechnen, indem man die Substitution $s = M_\tau^2 e^{-t}$ verwendet [51]:

$$\begin{aligned} (n+1) \int_0^1 \left(\frac{s}{M_\tau^2} \right)^n \ln^p \left(\frac{s}{M_\tau^2} \right) \frac{ds}{M_\tau^2} &= (n+1) \int_0^\infty t^p e^{-(n+1)t} dt = \\ &= \left[-t^p e^{-(n+1)t} \right]_{t=0}^\infty + p \int_0^\infty t^{p-1} e^{-(n+1)t} dt = \\ &= \frac{p(p-1)}{n+1} \int_0^\infty t^{p-2} e^{-(n+1)t} dt = \dots \\ \dots &= \frac{p!}{(n+1)^{p-1}} \int_0^\infty e^{-(n+1)t} dt \\ &= \frac{p!}{(n+1)^p} \left[-e^{-(n+1)t} \right]_{t=0}^\infty \\ &= \frac{p!}{(n+1)^p} \end{aligned} \quad (6.10)$$

$$\begin{aligned}
m_2 &= a + 0.75a^2 + 2.458a^3 - 1.032a^4 + (-142.6 + 1.5k_3)a^5, \\
m_3 &= a + 0.563a^2 + 1.633a^3 - 2.542a^4 + (-110.4 + 1.125k_3)a^5, \\
&\vdots \\
m_{100} &= a + 0.022a^2 + 0.041a^3 - 0.25a^4 + (-4.08 + 0.045k_3)a^5. \tag{6.12}
\end{aligned}$$

Für große n verhalten sich die Momente besser, da der niedrigenergetische Bereich des Integrals (6.1) unterdrückt ist. Die Koeffizienten der Reihen in Gl. (6.12) werden für große n durch den Beitrag des Logarithmus der niedrigsten Potenz dominiert. Dies bedeutet, dass jede QCD-Korrektur für große n durch den höchsten auftretenden Koeffizienten der QCD- β -Funktion dominiert wird.

Höhere Momente sind aus experimenteller Sicht unerwünscht. Sie werden durch den hochenergetischen Bereich des τ -Lepton-Zerfallsspektrums dominiert. Die experimentellen Daten für diesen Bereich des Spektrums sind sehr ungenau (vgl. Abb. 8.1). Aus diesem Grund nimmt die experimentelle Genauigkeit mit steigendem n ab. Um experimentelle Fehler aus dem hochenergetischen Teil des Spektrums zu unterdrücken, kann das modifizierte System aus gemischten Momenten

$$\tilde{M}(k, l) = \frac{(k+l+1)!}{k! l!} \int_0^{M_\tau^2} \rho(s) \left(1 - \frac{s}{M_\tau^2}\right)^k \left(\frac{s}{M_\tau^2}\right)^l \frac{ds}{M_\tau^2} \equiv 1 + \tilde{m}_{kl} \tag{6.13}$$

benutzt werden [20]. Die Wichtungsfunktion $(1 - s/M_\tau^2)^k (s/M_\tau^2)^l$ hat ihr Maximum bei $\bar{s} = M_\tau^2 l / (l+k)$. Das Integral in Gl. (6.13) wird durch Beiträge aus dem Bereich um das Maximum der Wichtungsfunktion bestimmt. Der Nachteil von Momenten der Form Gl. (6.13) ist, dass der Faktor $(1 - s/M_\tau^2)^k$ die Infrarot-Region stark betont und die Konvergenz² der Störungsreihe zerstört. Es ergibt sich zum Beispiel

$$\begin{aligned}
\tilde{m}_{00} &= a + 2.25a^2 + 14.13a^3 + 87.66a^4 + (433.3 + 4.5k_3)a^5, \\
\tilde{m}_{10} &= a + 3.375a^2 + 23.72a^3 + 168.4a^4 + (1042. + 6.75k_3)a^5, \\
\tilde{m}_{20} &= a + 4.125a^2 + 31.24a^3 + 241.1a^4 + (1683. + 8.25k_3)a^5, \\
\tilde{m}_{30} &= a + 4.688a^2 + 37.51a^3 + 307.3a^4 + (2324. + 9.375k_3)a^5. \tag{6.14}
\end{aligned}$$

Die Koeffizienten der Reihen aus Gleichung (6.14) lassen sich für beliebige Werte von k in jeder Ordung der Störungstheorie bestimmen. Der Beitrag des logarithmischen Terms ergibt zum Beispiel

$$(k+1) \int_0^{M_\tau^2} \left(1 - \frac{s}{M_\tau^2}\right)^k \ln\left(\frac{M_\tau^2}{s}\right) \frac{ds}{M_\tau^2} = \sum_{j=1}^{k+1} \frac{1}{j}. \tag{6.15}$$

²Der Begriff Konvergenz wird in diesem und den folgenden Kapiteln für die Beschreibung des Verhaltens von asymptotischen und somit im streng mathematischen Sinne divergenten Reihen verwendet. „Gute Konvergenz“ meint hier das schnelle Abnehmen der Terme der Reihe wogegen „schlechte“ oder „gar keine Konvergenz“ ein langsames Abnehmen oder sogar ein Anwachsen der Terme beschreibt. Diese Begriffsbildung ist in der Fachliteratur dieses Gebietes üblich.

Im Gegensatz zu Gl. (6.11) verhält sich Gl. (6.15) für große k wie $\ln(k)$ und erzeugt so große Koeffizienten in der Störungsreihe. Der Beitrag des \ln^2 -Terms ist

$$(k+1) \int_0^{M_\tau^2} \left(1 - \frac{s}{M_\tau^2}\right)^k \ln^2\left(\frac{M_\tau^2}{s}\right) \frac{ds}{M_\tau^2} = \left(\sum_{j=1}^{k+1} \frac{1}{j}\right)^2 + \sum_{j=1}^{k+1} \frac{1}{j^2}. \quad (6.16)$$

Dieser wächst für große Werte von k wie $\ln^2(k)$.

In der Anwendung ist das formale Kriterium für die Genauigkeit einer asymptotischen Reihe durch den numerischen Wert des letzten Terms der Reihe gegeben. Dieses Kriterium muss allerdings mit großer Vorsicht verwendet werden. Aufgrund der Freiheit, die Kopplungskonstante neu zu definieren, kann der letzte Term einer Störungsreihe für eine gegebene Observable immer beliebig klein gemacht werden. Um die Qualität der Störungsreihe unabhängig von der Definition der Kopplungskonstante zu beurteilen und so RG-invariante Schlussfolgerungen zu ziehen, müssen immer mehrere Observable gleichzeitig in Betracht gezogen werden.

Bevor die FOPT-Analyse weiter fortgesetzt wird, ist es notwendig, die Beiträge der Kondensatkorrekturen aus der Operatorproduktentwicklung (Gl. (5.33)) zu dem System von Momenten Gl. (6.2, 6.13) zu kommentieren. Für das System von Momenten aus Gl. (6.2) reduzieren sich die Beiträge der Kondensatkorrekturen zu einem einzigen Term (falls man die schwache $\ln(Q^2)$ -Abhängigkeit der Koeffizientenfunktionen der OPE vernachlässigt, was allgemein üblich ist) von der Form $(\Lambda^2/M_\tau^2)^n$, der mit wachsendem n sehr schnell abnimmt (Λ ist eine typische Skala der Kondensatkorrekturen, die mit der nicht-perturbativen QCD-Skala $\Lambda_{QCD} < M_\tau^2$ zusammenhängt). Dies macht den perturbativen Beitrag im Endergebnis dominant. Der perturbative Term ist für Momente mit großem n durch den hochenergetischen Bereich dominiert und konvergiert gut. Die Konvergenz verbessert sich mit steigendem n , außerdem sind die Momente durch den perturbativen Bereich bestimmt und aus diesem Grund präzise. Im Gegensatz dazu werden die gemischten Momente aus Gl. (6.13) mit $l \sim 0$ und großem k hauptsächlich durch Beiträge aus dem niedrigenergetischen Bereich dominiert und sind deswegen perturbativ nur schlecht berechenbar, was durch die schlechten Störungsreihen reflektiert wird. Die Momente aus Gl. (6.13) erhalten Kondensatkorrekturen der Dimension $d = 2l + 2$ bis $d = 2(k + l + 1)$. Über eine solche Summe von Kondensatkorrekturen kann keine genaue numerische Aussage gemacht werden, falls k groß ist. Dies zeigt die Wichtigkeit der Kondensatkorrekturen für gemischte Momente. Die Störungsreihen für den Vektor- und Axialvektor-Beitrag sind identisch³, während die Beiträge der niedrigsten Resonanzen vollkommen verschieden sind (das π -Meson anstelle des ρ -Mesons). Deshalb kann keine Summation der Störungsreihen diese Diskrepanz mit dem Experiment beheben. In diesem Fall ist die Störungstheorie keine gute Approximation und Kondensatkorrekturen ergeben das richtige Resultat für große k .

³In der Entwicklung der Korrelationsfunktion in der Strange-Quarkmasse treten nur gerade Potenzen von m_s auf, so dass unterschiedliche Vorzeichen für den Vektor- und Axialvektor-Teil der Korrelationsfunktion aus der Spurbildung im Zähler nicht auftreten. Unterschiede zwischen Vektor- und Axialvektor-Teil zeigen sich nur in den nichtperturbativen Korrekturen wie z.B. dem Strange-Quarkmassen Kondensatterm, welcher linear in m_s ist.

Aus diesem Grund sind Momente mit großem k in der Störungstheorie nicht brauchbar, auch wenn sie aus experimenteller Sicht attraktiv sind.

Hier zeigt sich in der Wahl der optimalen Observablen aus der Menge der Momente (k, l) wieder der Konflikt zwischen experimenteller und theoretischer Genauigkeit. Sind die expliziten störungstheoretischen Formeln verfügbar, so lässt sich die durch den asymptotischen Charakter der Störungsreihen gegebene ultimative Genauigkeit unabhängig von den experimentellen Daten bestimmen. Dies erlaubt es vorherzusagen, welcher Fehler – experimenteller oder theoretischer – die Unbestimmtheit der Observablen dominieren wird.

Im Folgenden wird für die effektive Kopplungskonstante a der Wert $a = 0.111$ verwendet, welcher aus dem entsprechenden Wert der Kopplungskonstante im $\overline{\text{MS}}$ -Schema bestimmt wurde. Aus dem Satz von Momenten $\{m_n; n = 0, \dots, \}$ besitzt das Moment m_0 den größten Beitrag aus dem niedrigenergetischen Bereich der Spektraldichte. Aus diesem Grund besitzt ein Satz von Observablen die schlechteste Genauigkeit, falls das Moment m_0 in dem Satz enthalten ist. Für m_0 ergibt sich

$$m_0 = 0.111 + 0.0277 + 0.0193 + 0.0133 + (0.0073 + 0.000076k_3). \quad (6.17)$$

Wie schon erwähnt, ist der Wert des Koeffizienten k_3 noch nicht bekannt. In einigen der folgenden Ausdrücke wird für k_3 ein numerischer Wert eingesetzt, um einen Eindruck für die Wichtigkeit des letzten Terms der Störungsreihe zu erhalten. Ein häufig benutzter Wert ist $k_3 = 25$, der auf der Padé-Approximation beruht. Für $k_3 = 25$ ergibt sich für das nullte Moment

$$m_0 = 0.111 + 0.0277 + 0.0193 + 0.0133 + "0.009". \quad (6.18)$$

Das Konvergenzverhalten von Gl. (6.18) ist sehr langsam. Außerdem beträgt die Summe der vier QCD-Korrekturen mehr als 40% des führenden Terms der Reihe. Das erste Moment zeigt ein deutlich besseres Konvergenzverhalten:

$$m_1 = 0.111 + 0.014 + 0.006 + 0.001 + (-0.003 + 0.00004k_3). \quad (6.19)$$

Für $k_3 = 25$ ergibt sich

$$m_1 = 0.111 + 0.014 + 0.006 + 0.001 - "0.002". \quad (6.20)$$

Mit der Wahl $k_3 = 25$ zeigt der a^5 -Term bereits asymptotisches Wachstum. Falls die Genauigkeit der Reihe durch ihren kleinsten Term abgeschätzt wird, so ergibt sich ein formaler Fehler von ungefähr 1%, und der gesamte Beitrag der Korrekturen höherer Ordnung beträgt etwa 20% des führenden Terms. Der große Unterschied in der Genauigkeit zwischen den Momenten m_0 und m_1 ist eine generelle Eigenschaft der Momente m_n in der fünften Ordnung der Störungstheorie: Es ist nicht möglich, durch die Wahl einer einzigen Zahl k_3 die a^5 -QCD-Korrekturen aller Momente klein zu machen. Aus diesem Grund muss man schlussfolgern, dass für $a = 0.111$ in der fünften Ordnung der Störungstheorie bereits asymptotisches Wachstum zu beobachten ist. Das Ansteigen der Korrekturen ist unabhängig von jeder Definition der Kopplungskonstante zu beobachten, indem man gleichzeitig mehrere Momente betrachtet. Diese Eigenschaft verschwindet durch keine Wahl

des Koeffizienten k_3 . Für ein einzelnes Moment (z.B. m_0) kann die Kopplungskonstante immer so gewählt werden, dass die Störungsreihe schnell bis zu einer gegebenen Ordnung abnimmt. Allerdings werden dann andere Momente, ausgedrückt durch diese Kopplungskonstante, ein schlechtes Konvergenzverhalten zeigen. Die RG-invariante Schlussfolgerung ist, dass das System von Momenten m_n , eingeschlossen m_0 , störungstheoretisch nicht bis zur fünften Ordnung behandelt werden kann, falls man Fehler von weniger als 5% - 10% erreichen will. Hierbei wird für die Kopplungskonstante ein Wert von ungefähr $a = 0.111$ vorausgesetzt. Diese Aussage über die ultimative Genauigkeit des Satzes von Momenten m_n in fünfter Ordnung der Störungstheorie ist unabhängig von dem Wert des unbekannten Koeffizienten k_3 . Falls das Moment m_0 ausgeschlossen wird, ist eine Präzision von mehr als 1% im Rahmen der Störungstheorie möglich. Durch Ausschließen von m_0 und durch die Wahl $k_3 \sim 100$ erhält man ein System von Momenten, in dem alle Korrekturen fünfter Ordnung klein sind. Um dies in RG-invariante Weise zu demonstrieren, kann man das zweite Moment als Definition einer experimentellen Ladung verwenden. Dies ergibt

$$\begin{aligned} m_0 &= m_2 + 1.5m_2^2 + 9.417m_2^3 + 59.28m_2^4 + (310.3 + 3k_3)m_2^5, \\ m_1 &= m_2 + 0.375m_2^2 + 1.51m_2^3 + 2.527m_2^4 + (-54.45 + 0.75k_3)m_2^5, \\ m_2 &= m_2, \\ m_3 &= m_2 - 0.19m_2^2 - 0.544m_2^3 + 0.742m_2^4 + (35.2 - 0.375k_3)m_2^5, \\ m_4 &= m_2 - 0.3m_2^2 - 0.803m_2^3 + 1.69m_2^4 + (56.641 - 0.6k_3)m_2^5. \end{aligned} \quad (6.21)$$

Die Konvergenz der Momente m_1-m_4 (und für $n > 4$) ist gut. Der gesamte Beitrag der QCD-Korrekturen ist klein. Die schlechteste Reihe ist die für das nullte Moment. Gl. (6.21) zeigt, dass keine Wahl von k_3 die Genauigkeit der Momente m_0 und m_1 in fünfter Ordnung gegenüber den Ausdrücken in vierter Ordnung wesentlich verbessern kann. Es gibt einen kleinen Bereich für k_3 ($40 < k_3 < 60$), in dem das formale Kriterium der Konvergenz für m_0 und m_1 erfüllt ist. Es scheint aber unwahrscheinlich, dass zukünftige Berechnungen des Koeffizienten k_3 einen Wert für k_3 aus diesem Intervall ergeben. Außerdem beträgt bei dieser Wahl von k_3 die Genauigkeit des Moments m_0 nur ungefähr 10%. Dies ist ein Anzeichen dafür, dass die ultimative Genauigkeit der Störungstheorie für das nullte Moment m_0 bereits erreicht ist. Falls das Moment m_0 ausgeschlossen wird, erlaubt die Wahl $k_3 \sim 100$ eine schnelle Konvergenz bis einschließlich fünfter Ordnung. Dann sind keinerlei Schlussfolgerungen über asymptotisches Wachstum mehr möglich.

Die Störungsreihen für ein System von Momenten mit Wichtungsfunktion $(1 - s/M_\tau^2)^k$ zeigen ein schlechteres Verhalten. Mit dem üblichen Kriterium für die Genauigkeit liegt die Präzision der Reihen aus Gl. (6.14) in einem Bereich von 10% - 20% für den hier verwendeten numerischen Wert für a . Dies ist für den Vergleich mit den aktuellen experimentellen Daten nicht ausreichend. Die Entwicklung der höheren Momente aus Gl. (6.14) in dem ersten Moment (welches das perturbativste dieses Systems ist), ergibt

$$\begin{aligned} \tilde{m}_{00} &\equiv m_0 = 0.17, \\ \tilde{m}_{10} &= 0.17 + 0.033 + 0.022 + 0.011 + (-0.005 + 0.00032k_3), \\ \tilde{m}_{20} &= 0.17 + 0.054 + 0.043 + 0.027 + (0.0015 + 0.00053k_3), \end{aligned}$$

$$\tilde{m}_{30} = 0.17 + 0.070 + 0.061 + 0.046 + (0.014 + 0.0007k_3) . \quad (6.22)$$

Diese Reihen besitzen eine formale Genauigkeit zwischen 6% und 25 % und der Beitrag höherer Terme kann ebenso groß sein wie der des führenden Terms. Aufgrund der langsamen Konvergenz scheinen sich die theoretischen Vorhersagen mit zunehmender Ordnung in der Störungstheorie nicht zu verbessern. Die Reihenentwicklung erlaubt keine zuverlässige Abschätzung der Genauigkeit für große gemischte Momente. Während für die Momente aus Gl. (6.2) der gesamte Beitrag der QCD-Korrekturen klein ist, ist die Situation hier anders. Die gesamte Änderung des Resultates in führender Ordnung aufgrund von Korrekturen höherer Ordnung ist wesentlich und unterscheidet sich für verschiedene Momente stark von einander. Dies ist ein weiteres Anzeichen dafür, dass dieser Satz von Momenten nicht perturbativ behandelt werden kann.

6.2 τ -Lepton-Zerfallsrate

Die τ -Lepton-Zerfallsrate ist durch eine spezielle Linearkombination von Momenten gegeben. Aufgrund des Faktors $(1 - s/M_\tau^2)^2$ in Gleichung (6.1) sind die Konvergenzeigenschaften der totalen Zerfallsrate nicht optimal. Der Faktor $(1 - s/M_\tau^2)^2$ verstärkt den Beitrag des Infrarot-Bereiches der Integration. Die konkrete Form der Wichtungsfunktion mit dem Faktor $(1 - s/M_\tau^2)^2$ ist der Hauptgrund für die schlechte Konvergenz. Es ergibt sich

$$\delta_P = a + 3.563a^2 + 24.97a^3 + 174.8a^4 + (1041. + 7.125k_3)a^5 . \quad (6.23)$$

Mit $a = 0.111$ und $k_3 = 25$ erhält man

$$\delta_P = 0.111 + 0.044 + 0.034 + 0.027 + "0.021" . \quad (6.24)$$

Die aufeinanderfolgenden Terme der Reihe nehmen zwar ab, diese Abnahme ist aber sehr langsam. Das Konvergenzverhalten der totalen Zerfallsrate δ_p folgt aufgrund des Faktors $(1 - s/M_\tau^2)^2$ in Gl. (6.1) im wesentlichen dem des Momentes \tilde{m}_{20} aus Gl. (6.14).

Gleichung (6.25) zeigt das Wesentliche des sich stellenden Problems. Wird Störungstheorie in endlicher Ordnung (FOPT) verwendet, so muss der experimentelle Wert δ_P^{exp} (vgl. Gl. (8.2, 8.3)) mit dem theoretischen Ausdruck δ_P^{th} verglichen werden:

$$0.203 \pm 0.007 = \delta_P^{exp} \quad \text{vs.} \quad \delta_P^{th} = 0.111 + 0.044 + 0.034 + 0.027 + "0.021" . \quad (6.25)$$

Der Fehler des theoretischen Ausdrucks "0.021" (oder sogar 0.027) ist weitaus größer als der experimentelle Fehler 0.007. Die theoretische Ungenauigkeit aufgrund des Abbrechens der Störungsreihe ist viel größer als der experimentelle Fehler der entsprechenden Observablen. Die übliche praktische Erwartung an eine sinnvolle Störungsreihe ist die Kleinheit aller Korrekturen höherer Ordnung, falls nichts über die Konvergenz des Ausdruckes bekannt ist. Die Korrekturen der Zerfallsrate vergrößern das Resultat der führenden Ordnung um den Faktor 2. Es ist möglich, das explizite Konvergenzverhalten der zu der Zerfallsrate gehörenden Störungsreihe durch Redefinition des Entwicklungsparameters zu verbessern,

was aufgrund der Freiheit, ein Renormierungsschema zu wählen, möglich ist. Allerdings wird sich durch eine solche Definition des Entwicklungsparameters das Konvergenzverhalten des ersten Momentes der differentiellen Zerfallsrate wieder verschlechtern. Dieses Verhalten ermöglicht Schlussfolgerungen über das asymptotische Wachstum der Störungsreihen unabhängig von der Wahl des Renormierungsschemas. Zwei verschiedenen Sätze von Observablen, wobei der eine das Moment m_0 enthält und der andere dieses Moment nicht enthält, können perturbativ nicht zu einander in Bezug gebracht werden, falls eine mit den experimentellen Daten vergleichbare Genauigkeit verlangt wird. Für das erste Moment der differentiellen τ -Zerfallsrate dR_τ/ds ergibt sich ein Störungsreihe mit einem besseren Konvergenzverhalten als in Gl. (6.23):

$$\delta_P^{(1)} = a + 2.138a^2 + 10.15a^3 + 28.43a^4 + (-268.3 + 4.275k_3)a^5. \quad (6.26)$$

Mit $k_3 = 25$, ergibt sich so

$$\delta_P^{(1)} = 0.111 + 0.026 + 0.014 + 0.004 - "0.003". \quad (6.27)$$

Das zweite s -Moment besitzt eine noch bessere Störungsreihe:

$$\delta_P^{(2)} = a + 1.575a^2 + 6.186a^3 + 6.386a^4 + (-283.3 + 3.15k_3)a^5 \quad (6.28)$$

und mit $k_3 = 25$ hat man

$$\delta_P^{(2)} = 0.111 + 0.0194 + 0.0085 + 0.001 - "0.003". \quad (6.29)$$

Der fünfte Term ist für $k_3 = 25$ größer als der Term vierter Ordnung. Keine Wahl für k_3 kann gleichzeitig alle drei Observable in der fünften Ordnung konvergent machen. Falls man $k_3 \sim 100$ wählt, um eine bessere Konvergenz der höheren Momente zu erzielen, zerstört man die Störungsreihe für die Zerfallsrate in Gl. (6.23).

Die Momente mit Wichtungsfaktor $(1 - s/M_\tau^2)^n$ der differentiellen Zerfallsrate unterdrücken schlecht bekannte Daten aus dem hochenergetischen Bereich. Theoretisch ergibt sich für diese

$$\delta_P^{(1-s)} = a + 4.173a^2 + 31.31a^3 + 237.6a^4 + (1603. + 8.35k_3)a^5. \quad (6.30)$$

Setzt man $k_3 = 25$, so ergibt sich

$$\delta_P^{(1-s)} = 0.111 + 0.051 + 0.043 + 0.036 + "0.031". \quad (6.31)$$

Für $k_3 = 100$ ergibt sich die Reihe

$$\delta_P^{(1-s)} = 0.111 + 0.051 + 0.043 + 0.036 + "0.041", \quad (6.32)$$

die nur eine Genauigkeit von 30% besitzt, wobei ihr Wert sich mehr als um den Faktor 2 von dem Resultat in führender Ordnung unterscheidet. In diesem Fall kann die theoretische Genauigkeit nicht mit der der experimentellen Daten verglichen werden.

Bei der Analyse der τ -Zerfälle treten zwei verschiedene Probleme auf.

1. Die Beschreibung eines Satzes von Momenten mit Kopplungskonstante und Massen, welche speziell für dieses System definiert wurden und die größtmögliche Genauigkeit zulassen (τ -Lepton-interner QCD-Test).
2. Die Bestimmung der Standard- $\overline{\text{MS}}$ -Paramter, welche mit Resultaten aus anderen Experimenten verglichen werden können.

Es kann vorkommen, dass ein Satz von Observablen perturbativ mit einer gegebenen Genauigkeit miteinander verknüpft ist, die $\overline{\text{MS}}$ -Kopplungskonstante α_s aber nicht der bestmögliche Parameter für die Entwicklung ist. Dies ist hier der Fall. Intern lässt sich das τ -System mit einer größeren Genauigkeit und mit einem Term mehr in der Störungsreihe, als dies im $\overline{\text{MS}}$ -Schema möglich ist, durch die effektive Kopplung a beschreiben. Trotzdem zeigt sich bereits das asymptotische Wachstum der Störungsreihe für den experimentell gegebenen numerischen Wert des Entwicklungsparameters.

Der Ausdruck für die Zerfallsrate im $\overline{\text{MS}}$ -Schema besitzt nur eine Genauigkeit von der Ordnung- α_s^3

$$\delta_P = \left(\frac{\alpha_s}{\pi} \right) + 5.20 \left(\frac{\alpha_s}{\pi} \right)^2 + 26.4 \left(\frac{\alpha_s}{\pi} \right)^3 + (78.0 + k_3) \left(\frac{\alpha_s}{\pi} \right)^4, \quad (6.33)$$

mit einer numerischen Präzision von nur 30%.

Das τ -System kann in der Ordnung a^4 mit der internen Ladung a ohne freie Parameter untersucht werden und in der Ordnung a^5 mit nur einem freien Parameter k_3 , welcher die Schlussfolgerungen über die asymptotische Struktur der Störungsreihen nicht beeinflusst. Allerdings lässt sich die $\overline{\text{MS}}$ -Kopplungskonstante α_s aufgrund des unbekannten Parameters k_3 durch a nur bis zur Ordnung a^3 ausdrücken. Der Wert der $\overline{\text{MS}}$ -Kopplungskonstante lässt sich aus dem Wert von a durch die Relation

$$\frac{\alpha_s^{\overline{\text{MS}}}(M_\tau)}{\pi} = a - 1.64a^2 + 15.7a^3 + (49.6 - k_3)a^4 + \dots \quad (6.34)$$

bestimmen, welche für $k_3 = 25$ oder $k_3 = 100$ vernünftige Konvergenz zeigt.

6.3 Infrarot-Fixpunktmodell

Die Genauigkeit, mit der eine Funktion durch eine endliche Summe von Termen ihrer asymptotischen Reihe approximiert werden kann, hängt stark von der analytischen Struktur dieser Funktion ab. Grundsätzlich gibt es unendlich viele Möglichkeiten, eine asymptotische Reihe zu summieren, welche relativ unterschiedliche Resultate liefern können. Aus diesem Grund können Abschätzungen der Genauigkeit, welche nur auf einer endlichen Anzahl der Terme beruhen, sehr irreführend sein. Um dies detaillierter zu untersuchen, wird hier ein Modell (zur Illustration) für die exakte Funktion verwendet, welche den Ursprung der asymptotischen Reihe bildet (oder eine Möglichkeit der Resummation darstellt). Dieses Modell verwendet die Existenz eines Infrarot-Fixpunktes der laufenden Kopplungskonstante in dritter Ordnung der Störungstheorie, welcher erlaubt, das Laufen der Kopplungskonstante bis zum Ursprung fortzusetzen. In diesem speziellen Fall ist es möglich,

die Störungsreihe mit dem exakten Resultat zu vergleichen. Dieses Beispiel erlaubt es, die allgemeinen Schlussfolgerungen über die asymptotische Struktur und die Divergenz der Reihen an einem konkreten Beispiel zu überprüfen. Die effektive β -Funktion für die in Gl. (6.3) definierte Kopplungskonstante a ist durch

$$\beta_{\text{eff}}(a) = -\frac{9}{4}a^2 - 4a^3 + 25.7a^4 + (409.5 - \frac{9}{2}k_3)a^5 + \mathcal{O}(a^6) \quad (6.35)$$

gegeben, wobei der einzige freie Parameter k_3 ist, da der Vierschleifen-Koeffizient β_3 im $\overline{\text{MS}}$ -Schema bekannt ist [24]. Die Approximation der β -Funktion (Gl. (6.35)) bis zu der dritten Ordnung $\mathcal{O}(a^3)$ besitzt einen Infrarot-Fixpunkt bei dem Wert $a_f = a(0) = 0.384$, gegen den der Wert den Kopplungskonstante für $s \rightarrow 0$ konvergiert, falls für den Anfangswert $a(M_\tau^2) < a_f$ gilt.

Die exakten Momente des Fixpunktmodells erhält man, indem die Anfangswertaufgabe

$$q^2 \frac{d}{dq^2} a(q^2) = -a^2 \left(\frac{9}{4} + 4a - 25.7a^2 \right) \quad \text{mit} \quad a(M_\tau^2) = 0.111 \quad (6.36)$$

numerisch gelöst wird, wobei die rechte Seite von Gl. (6.36) als exakte Funktion behandelt wird. Mit der so gewonnenen Lösung kann die Integration in Gl. (6.2) numerisch ausgeführt werden. Es ergibt sich $m_0^f = 0.1605$ und $m_1^f = 0.130954$, was mit den Resultaten der Gleichungen (6.12, 6.17, 6.19) verglichen werden kann. Die naive Abschätzung der Genauigkeit ergibt nicht für alle Momente Resultate, die mit diesem Modell verträglich sind. Mit Hilfe dieses expliziten Modells ist es möglich, eine beliebige Anzahl von Termen der Störungsreihe zu erzeugen. Für das nullte Moment m_0 divergiert die Reihe folgendermaßen:

$$m_0^{fix} = 0.111 + 0.028 + 0.019 + 0.013 + 0.014 + 0.018 + 0.029 + 0.053 + 0.114 + \dots, \quad (6.37)$$

was eine ultimative Genauigkeit von nur 10% ergibt. Diese Abschätzung der Genauigkeit ergibt sich, indem wie üblich, die Reihe aufsummiert wird, bis ihre Terme wieder zu wachsen beginnen. Hierbei dient der letzte Term zu Abschätzung der Genauigkeit. Die Summe der ersten vier Terme ergibt die beste Genauigkeit

$$m_0^{fix,best} = 0.111 + 0.028 + 0.019 + 0.013 = 0.171 \pm 0.013 \quad (6.38)$$

und kann mit dem exakten Resultat $m_0^f = 0.1605$ verglichen werden. Der zentrale Wert ist etwas zu hoch, befindet sich aber noch in dem durch den letzten Term gegebenen Fehlerintervall.

Für m_1^{fix} findet man eine divergente Reihe, deren erste Terme sehr viel schneller fallen. Das Konvergenzverhalten ist durch den folgenden großen Ausdruck gegeben, der illustriert, wie kompliziert das Verhalten solcher Reihen werden kann. Er ergibt sich zu

$$\begin{aligned} m_1^{fix} = & 0.111 + 0.013861 + 0.006197 + 0.001054 + 0.000480 + 0.000088 \\ & + 0.000053 + 0.000016 + 0.000015 + 0.000014 + 0.000019 + 0.000026 \\ & + 0.000042 + 0.000072 + 0.000135 + 0.000268 + 0.000568 + 0.001277 \\ & + 0.003 + 0.0076 + 0.01997 + 0.055 + \dots \end{aligned} \quad (6.39)$$

Die beste Approximation ist formal durch die Summe der ersten zehn Terme gegeben

$$m_1^{fix,best} = 0.132795 \pm 0.000014 , \quad (6.40)$$

wobei der formale Fehler wieder durch den letzten Term gegeben ist. Das exakte Resultat $m_1^f = 0.130954$ fällt allerdings nicht in dieses winzige, durch den Fehler aus Gl. (6.40), gegebene Intervall. Aus diesem Grund ist das formale Kriterium für die Genauigkeit in diesem Fall verletzt. Die Diskrepanz $m_1^{fix,best} - m_1^f = 0.00184$ zwischen Approximation und exaktem Resultat wird nicht durch den kleinsten Term der asymptotischen Reihe aus Gleichung (6.39) kontrolliert. Die reale Genauigkeit des ersten Momentes ist 1.3%, was in der Praxis ausreichend ist. Der Unterschied dieser beiden Observablen (m_0 und m_1) liegt in der unterschiedlich starken Betonung des Infrarotbereichs, welcher sich in den verschiedenen ultimativen Genauigkeiten und dem schnelleren Abfallen der Reihe für m_1 zeigt. Die Größe des kleinsten Terms in dem Ausdruck in Gl. (6.39) ist sehr sensitiv auf den dritten Koeffizienten der β -Funktion. Für die Zerfallsrate findet man $\delta_P^f = 0.1946$ und $\delta_P^{f(1)} = 0.1527$, was mit den entsprechenden Ausdrücken in den Gleichungen (6.23, 6.24, 6.25) und (6.26, 6.27) verglichen werden kann.

Aus Gleichung (6.35) erkennt man, dass ein Infrarot-Fixpunkt auch noch bei Berücksichtigung der vierten Ordnung der β -Funktion existiert, falls $k_3 < 95.9$ gilt.

6.4 Zusammenfassung von Kapitel 6

Unter Verwendung der Standardabschätzung der Genauigkeit einer asymptotischen Reihe ergab sich, dass die theoretische Präzision der störungstheoretischen Beschreibung von τ -Zerfällen durch das asymptotische Anwachsen der Koeffizienten in der fünften Ordnung der Störungstheorie beschränkt wird. Diese Aussage ist unabhängig von dem Renormierungsschema gültig. Die Genauigkeit der Störungsreihen für einen allgemeinen Satz von Observablen kann nicht besser als 5% - 10% sein. Genauer bedeutet dies, dass das nullte Moment in Rahmen der Störungstheorie nicht mit einer mit den aktuellen Experimenten vergleichbaren Genauigkeit berechenbar ist. Jede konsistente Beschreibung der τ -Zerfallsdaten in fünfter Ordnung der Störungstheorie verlangt den Ausschluss des nullten Momentes aus der Liste der Observablen oder dessen Unterdrückung in den theoretischen Ausdrücken. In fünfter Ordnung der Störungstheorie und mit dem aktuellen Wert der Kopplungskonstante sind die ersten beiden Momente der Spektraldichte zu verschieden, um gleichzeitig durch die Störungstheorie mit einer Genauigkeit besser als 5% - 10% behandelt zu werden. Aus diesem Grund ist es notwendig, ein Verfahren jenseits der endlichen Störungstheorie zu verwenden, falls man diese beiden Observablen mit einer Genauigkeit, die der der aktuellen experimentellen Daten entspricht, vergleichen will. Dies impliziert die Verwendung eines Resummationsverfahrens. Die Resummation ist nicht eindeutig bestimmt und die Resultate hängen von dem verwendeten Verfahren ab [19, 17, 47].

Kapitel 7

Strange-Quarkmassen-Korrektur

In Kapitel 6 wurden τ -Lepton-Observable im Limes verschwindender Quarkmassen untersucht. Für Up- und Down-Quarks ist diese Näherung sehr gut, da ihre Masse gering im Vergleich zu der Masse des τ -Leptons ist. Entstehen Zerfallsprodukte, welche Strangenes tragen, so ist die Korrektur zur Zerfallsbreite aufgrund der Strange-Quarkmasse von der Ordnung m_s^2/M_τ^2 , was ungefähr 1% entspricht. In diesem Kapitel soll diese Korrektur untersucht werden. Aufgrund der endlichen Quarkmasse ist die Korrelationsfunktion nicht mehr transversal, und es ist notwendig, die Momente von zwei Spektraldichten zu untersuchen, die den beiden Komponenten der Korrelationsfunktion entsprechen. Für die Zerfallsrate hat man

$$R_{\tau us} = N_c S_{EW} |V_{us}|^2 \frac{i}{2\pi} \oint_{|s|^2=M_\tau^2} 2 \left(1 - \frac{s}{M_\tau^2}\right)^2 \left(\Pi_{qus}(s) - \frac{2}{M_\tau^2} \Pi_{gus}(s) \right) \frac{ds}{M_\tau^2}, \quad (7.1)$$

wobei im Folgenden die Faktoren N_c und S_{EW} weggelassen werden.

7.1 Der g -Teil der Korrelationsfunktion

Zunächst wird der g -Teil der Korrelationsfunktion untersucht, welcher nur Zerfälle in hadronische Zerfallsprodukte mit Spin-1 beschreibt. Die Analyse des g -Teils verläuft analog zu dem massenlosen Teil in Kapitel 6. Es wird ein neuer Massenparameter m_g für die Strange-Quarkmasse definiert, um alle Konstanten der Massenkorrektur der Spektraldichte in der neuen Masse zu absorbieren. Dies geschieht durch die Definition

$$m_s^2(s) \rho_g^{\overline{\text{MS}}}(s; \alpha_s) \equiv m_g^2(s; a) = m_g^2(M_\tau^2) \rho_g(s). \quad (7.2)$$

Die Spektraldichte $\rho_g^{\overline{\text{MS}}}$ ist durch

$$\rho_g^{\overline{\text{MS}}} = \frac{\text{Im}(\Pi_{mg}(Q^2))}{\pi} \quad (7.3)$$

definiert, wobei Π_{mg} sich aus Gl. (5.46) ergibt.. Der neue Massenparameter $m_g = m_g(M_\tau^2)$ hängt mit der Masse im $\overline{\text{MS}}$ -Schema $m_s = m_s(M_\tau^2)$ durch

$$\begin{aligned} m_g^2 &= m_s^2 (1 + 1.67a - 5.87a^2 - 51.0a^3 + (-1342.5 - 1.67k_3 + k_{g3})a^4 + \mathcal{O}(a^5)) \\ &= m_s^2 \left(1 + 1.67 \left(\frac{\alpha_s}{\pi} \right) - 3.14 \left(\frac{\alpha_s}{\pi} \right)^2 - 87.4 \left(\frac{\alpha_s}{\pi} \right)^3 + \right. \\ &\quad \left. + (-1750 + k_{g3}) \left(\frac{\alpha_s}{\pi} \right)^4 + \mathcal{O} \left(\left(\frac{\alpha_s}{\pi} \right)^5 \right) \right) \end{aligned} \quad (7.4)$$

zusammen. Mit Gl. (7.4) lässt sich der numerische Wert von m_g^2 aus dem Wert der $\overline{\text{MS}}$ -Masse mit einer Genauigkeit von ungefähr 7% bestimmen, falls Gl. (7.4) bis zu der dritten Ordnung ausgewertet wird. Invertiert man die Reihe perturbativ, so kann die Strange-Quarkmasse im $\overline{\text{MS}}$ -Schema mit einer Genauigkeit von 4% aus der effektiven Masse mit der Relation

$$m_s^2 = m_g^2 (1 - 0.185 + 0.107 + 0.037 + (0.19 + 0.00025k_3 - 0.00015k_{g3})) \quad (7.5)$$

bestimmt werden. Diese Genauigkeit ist für die derzeitigen phänomenologischen Anwendungen ausreichend. Die Spektraldichte $\rho_g(s)$ für den g -Teil der Massenkorrektur enthält aufgrund ihrer Konstruktion nur Logarithmen. Die Störungsreihe der Spektraldichte ist

$$\begin{aligned} \rho_g(s) &= 1 + 2al + a^2(8.05l + 4.25l^2) + a^3(5.3l + 38.23l^2 + 9.21l^3) \\ &\quad + a^4((-45.3 - 2.0k_3)l + 67.4l^2 + 134.2l^3 + 20.14l^4) + \mathcal{O}(a^5). \end{aligned} \quad (7.6)$$

Ist der Ausdruck für die Spektraldichte gegeben (Gl. (7.6)), so lässt sich die in Kapitel 6 ausgeführte Analyse wiederholen. Die Momente der Spektraldichte $\rho_g(s)$ verhalten sich grundsätzlich schlechter als die des masselosen Falls. Dies ist verständlich, wenn man die Koeffizienten der Logarithmen in den Spektraldichten des masselosen Teils Gl. (6.7) und des g -Teils Gl. (7.6) vergleicht. Im g -Teil sind die Koeffizienten grundsätzlich größer und aufgrund der anormalen Dimension der Masse tritt in jedem Term eine weitere Potenz des Logarithmus auf. Die grundlegenden Objekte für die Konstruktion von Observablen sind Momente der Spektraldichte $\rho_g(s)$, die in Analogie zum masselosen Fall durch

$$M_g(n) = (n + 1) \int_0^{M_\tau^2} \rho_g(s) \left(\frac{s}{M_\tau^2} \right)^n \frac{ds}{M_\tau^2} \quad (7.7)$$

definiert sind. Es ergibt sich

$$\begin{aligned} M_g(0) &= 1 + 2a + 16.6a^2 + 137.0a^3 + (1378.5 - 2.0k_3)a^4, \\ M_g(1) &= 1 + a + 6.15a^2 + 28.67a^3 + (141.97 - 1.0k_3)a^4, \\ M_g(2) &= 1 + \frac{2}{3}a + 3.63a^2 + 12.31a^3 + (35.69 - 0.67k_3)a^4, \\ M_g(3) &= 1 + \frac{1}{2}a + 2.54a^2 + 6.97a^3 + (11.58 - 0.5k_3)a^4, \end{aligned}$$

$$\begin{aligned}
M_g(4) &= 1 + \frac{2}{5}a + 1.95a^2 + 4.56a^3 + (3.55 - 0.4k_3)a^4, \\
&\vdots \\
M_g(100) &= 1 + \frac{2}{101}a + 0.081a^2 + 0.060a^3 + (-0.434 - 0.0198k_3)a^4. \quad (7.8)
\end{aligned}$$

Bemerkenswert ist, dass der unbekannte Koeffizient k_{g3} , welcher in der QCD-Korrektur vierter Ordnung der Momente im $\overline{\text{MS}}$ -Schema auftritt, in die Definition der Masse m_g absorbiert wird. Trotzdem ist die Korrektur vierter Ordnung aufgrund ihrer Abhängigkeit von k_3 nicht bekannt. Der Ursprung dieser Abhängigkeit besteht in der Definition der Masse m_g (7.2). Der dritte Koeffizient der effektiven γ -Funktion γ_{g3} hängt von k_3 ab, wenn diese in der effektiven Kopplungskonstante a entwickelt wird. Der Koeffizient γ_{g3} geht in die Korrektur vierter Ordnung von $\rho_g(s)$ durch das Laufen der Masse m_g (3.32) ein.

$$\gamma_0 = 1, \quad \gamma_{g1} = 4.027, \quad \gamma_{g2} = 2.65, \quad \gamma_{g3} = -22.65 - k_3. \quad (7.9)$$

Für große n verhalten sich die Momente besser, da die Infrarot-Region der Integration unterdrückt ist. Wie schon im masselosen Fall werden die Koeffizienten von Gl. (7.8) für große n durch den Beitrag des Logarithmus mit der niedrigsten Potenz, also durch den höchsten auftretenden Koeffizienten der effektiven β - und γ -Funktion dominiert.

Es ist instruktiv, die Resultate aus Gl. (7.8) mit den entsprechenden Ausdrücken im $\overline{\text{MS}}$ -Schema zu vergleichen, die durch

$$\begin{aligned}
M_g^{\overline{\text{MS}}}(0) &= 1 + 3.67 \frac{\alpha_s}{\pi} + 20.0 \left(\frac{\alpha_s}{\pi} \right)^2 + 110.1 \left(\frac{\alpha_s}{\pi} \right)^3 + (-256.3 + k_{g3}) \left(\frac{\alpha_s}{\pi} \right)^4, \\
M_g^{\overline{\text{MS}}}(1) &= 1 + 2.67 \frac{\alpha_s}{\pi} + 6.32 \left(\frac{\alpha_s}{\pi} \right)^2 - 38.98 \left(\frac{\alpha_s}{\pi} \right)^3 + (-1779 + k_{g3}) \left(\frac{\alpha_s}{\pi} \right)^4, \\
M_g^{\overline{\text{MS}}}(2) &= 1 + 2.33 \frac{\alpha_s}{\pi} + 2.70 \left(\frac{\alpha_s}{\pi} \right)^2 - 64.26 \left(\frac{\alpha_s}{\pi} \right)^3 + (-1865 + k_{g3}) \left(\frac{\alpha_s}{\pi} \right)^4, \\
M_g^{\overline{\text{MS}}}(3) &= 1 + 2.17 \frac{\alpha_s}{\pi} + 1.06 \left(\frac{\alpha_s}{\pi} \right)^2 - 73.18 \left(\frac{\alpha_s}{\pi} \right)^3 + (-1863 + k_{g3}) \left(\frac{\alpha_s}{\pi} \right)^4, \\
M_g^{\overline{\text{MS}}}(4) &= 1 + 2.07 \frac{\alpha_s}{\pi} + 0.14 \left(\frac{\alpha_s}{\pi} \right)^2 - 77.46 \left(\frac{\alpha_s}{\pi} \right)^3 + (-1851 + k_{g3}) \left(\frac{\alpha_s}{\pi} \right)^4, \\
&\vdots \\
M_g^{\overline{\text{MS}}}(100) &= 1 + 1.69 \frac{\alpha_s}{\pi} + 2.99 \left(\frac{\alpha_s}{\pi} \right)^2 - 87.15 \left(\frac{\alpha_s}{\pi} \right)^3 + (-1755 + k_{g3}) \left(\frac{\alpha_s}{\pi} \right)^4 \quad (7.10)
\end{aligned}$$

gegeben sind. Der Vorteil des effektiven Schemas im Vergleich mit dem $\overline{\text{MS}}$ -Schema zeigt sich in dem Koeffizienten vor α_s^3 . Für Momente größer als eins ($n > 1$) zeigen die Reihen im $\overline{\text{MS}}$ -Schema bereits asymptotisches Wachstum in der dritten Ordnung, wogegen im effektiven Renormierungsschema die Korrektur dritter Ordnung noch kleiner als die vorherige ist. Aufgrund der Konstruktion ist es klar, dass die Konvergenzeigenschaften der Momente im effektiven Schema sich mit höheren Potenzen s^n in der Wichtungsfunktion verbessern, wogegen im $\overline{\text{MS}}$ -Schema hohe Momente ein schlechteres Konvergenzverhalten als niedrige Momente zeigen. Der ungewöhnlich kleine Koeffizient der dritten Ordnung des ersten Momentes im $\overline{\text{MS}}$ -Schema ist das Resultat von sich zufällig aufhebenden

Beiträgen von logarithmischen und konstanten Termen aufgrund dieser speziellen Wahl des Renormierungsschemas. Nun lässt sich die Diskussion der Momente im masselosen Fall aus Kapitel 6 anwenden. Für die numerischen Abschätzungen wird wieder $a = 0.111$ verwendet. Im effektiven Schema ergibt sich so für die Störungsreihen der Momente

$$\begin{aligned} M_g(0) &= 1 + 0.222 + 0.204 + 0.187 + (0.21 - 0.0003k_3) , \\ M_g(1) &= 1 + 0.111 + 0.076 + 0.039 + (0.022 - 0.00015k_3) , \\ M_g(2) &= 1 + 0.074 + 0.045 + 0.017 + (0.0054 - 0.00010k_3) , \\ M_g(3) &= 1 + 0.056 + 0.031 + 0.010 + (0.0018 - 0.000076k_3) , \\ M_g(4) &= 1 + 0.044 + 0.024 + 0.006 + (0.00054 - 0.000061k_3) . \end{aligned} \quad (7.11)$$

Mit der Wahl $k_3 = 100$ [13] ist die Korrektur vierter Ordnung für alle Momente mit $n < 5$ kleiner als der dritte Term. Falls das nullte Moment ausgeschlossen wird, kann bei $k_3 \sim 100$ eine formale Genauigkeit von ungefähr 0.7%¹ erzielt werden, wobei der Fehler jeweils durch den Beitrag des kleinsten Terms abgeschätzt wurde. Mit der Standard-Padé-Abschätzung für $k_3 = 25$ erhält man für die Momente

$$\begin{aligned} M_g(0) &= 1 + 0.222 + 0.204 + 0.187 + 0.20 , \\ M_g(1) &= 1 + 0.111 + 0.076 + 0.039 + 0.018 , \\ M_g(2) &= 1 + 0.074 + 0.045 + 0.017 + 0.003 , \\ M_g(3) &= 1 + 0.056 + 0.031 + 0.010 - 0.0001 , \\ M_g(4) &= 1 + 0.044 + 0.024 + 0.006 - 0.001 . \end{aligned} \quad (7.12)$$

Falls das Moment $M_g(0)$ ausgeschlossen wird, ist eine Genauigkeit von 2% möglich. Es gibt keinen Wert für k_3 , der die Korrekturen vierter Ordnung aller Momente kleiner macht als die der vorherigen Korrektur. Falls k_3 einen Wert zwischen -46.5 und 1.2 hat, zeigt nur das nullte Moment asymptotisches Wachstum². Es ist anzunehmen, dass der zukünftig berechnete Wert für k_3 nicht in diesem Intervall liegen wird. Aus diesem Grund muss man schlußfolgern, dass asymptotisches Wachstum in der vierten Ordnung im g -Teil wahrscheinlich unvermeidbar ist. Die ultimative Genauigkeit hängt von dem Wert von k_3 ab. Werden nur Terme bis zur Ordnung a^3 verwendet, so ist die erzielbare Genauigkeit besser als 4%, falls das nullte Moment ausgeschlossen wird. Die vom Renormierungsschema unabhängige Schlussfolgerung ist, dass asymptotisches Wachstum für das System von Momenten $M_g(n)$, eingeschlossen $n = 0$, in der vierten Ordnung unvermeidbar ist und dass das System in dieser Ordnung nicht perturbativ behandelt werden kann, falls der Entwicklungsparameter den

¹ Während die relative Angabe der erzielbaren Genauigkeiten in Kapitel 6 sich auf den a^1 -Term bezog, werden hier die möglichen Genauigkeiten relativ zu dem Parton-Modell-Resultat der Ordnung a^0 angegeben. Dies ist sinnvoll, da diese relativen Genauigkeiten denen für die später zu bestimmenden Parameter α_s und m_s entsprechen.

²Die genannten Grenzen für k_3 werden durch hohe Momente bestimmt und lassen sich auch an den Koeffizienten der $l^1 a^3$ und $l^1 a^4$ Terme der Spektraldichte ρ_g aus Gl. (7.6) ablesen, da für hohe Momente die Logarithmen mit den niedrigsten Potenzen dominant sind (vgl. Gl. (6.11)).

Wert $a = 0.111$ besitzt. Diese Aussage ist unabhängig von dem nummerischen Wert für k_3 .

Die Störungsreihe für ein System von Momenten mit der Wichtungsfunktion $(1-s/M_\tau^2)^n$

$$\tilde{M}_g(n, 0) = (n+1) \int_0^{M_\tau^2} \rho_g(s) \left(1 - \frac{s}{M_\tau^2}\right)^n \frac{ds}{M_\tau^2} = (n+1)! \sum_{k=0}^n \frac{(-1)^k}{(k+1)!(n-k)!} M_g(k) \quad (7.13)$$

zeigt ein deutlich schlechteres Verhalten. Es ergibt sich

$$\begin{aligned} \tilde{M}_g(1, 0) &= 1 + 0.333 + 0.332 + 0.336 + (0.397 - 0.00046k_3) , \\ \tilde{M}_g(2, 0) &= 1 + 0.407 + 0.429 + 0.461 + (0.569 - 0.00056k_3) , \\ \tilde{M}_g(3, 0) &= 1 + 0.463 + 0.509 + 0.572 + (0.728 - 0.00063k_3) . \end{aligned} \quad (7.14)$$

Das Konvergenzverhalten der Reihe ist offensichtlich relativ schlecht. Alle Momente $\tilde{M}_g(n, 0)$ enthalten Beiträge von $\tilde{M}_g(0, 0) \equiv M_g(0)$ in der Summe Gl. (7.13), welche selbst ein schlechtes Konvergenzverhalten zeigt. Die anderen Summanden verschlechtern das Konvergenzverhalten weiter.

Zusammenfassend lässt sich sagen, dass die Struktur der Störungsreihen der Momente des g -Teils im effektiven Renormierungsschema mit dem neuen effektiven Massenparameter m_g^2 sehr ähnlich der des masselosen Anteils ist. Grundsätzlich ist für die Massenkorrektur aus den bereits genannten Gründen das Konvergenzverhalten etwas schlechter, es treten aber gegenüber dem masselosen Fall keine qualitativ neuen Eigenschaften auf.

7.2 Der q -Teil der Korrelationsfunktion

Die q -Amplitude $\Pi_q(q^2)$ enthält Beiträge von Spin-1- und Spin-0-Zerfällen. Die Korrekturen des q -Teils unterscheiden sich von denen des g -Teils bezüglich ihrer analytischen Eigenschaften in der komplexen q^2 -Ebene, sie enthalten eine $1/q^2$ -Singularität im Ursprung, welche eine besondere Behandlung erfordert. Die Massenentwicklung des q -Teils der Korrelationsfunktion ist (Gl. (5.44))

$$\Pi_q(Q^2) = \Pi(Q^2) - 3 \frac{m_s^2}{Q^2} \Pi_{mq}(Q^2) , \quad (7.15)$$

wobei die explizite Impulsabhängigkeit der Funktion $\Pi_{mq}(Q^2)$ durch

$$\Pi_{mq}(Q^2) = 1 + \left(\frac{7}{3} + 2L \right) \frac{\alpha_s}{\pi} + \left(\frac{13981}{432} + \frac{323}{54} \zeta(3) - \frac{520}{27} \zeta(5) + \frac{35}{2} L + \frac{17}{4} L^2 \right) \left(\frac{\alpha_s}{\pi} \right)^2 + \dots \quad (7.16)$$

gegeben ist ($L = \ln(M_\tau^2/Q^2)$). Die Singularität $1/Q^2$ der Funktion $\Pi_{mq}(Q^2)/Q^2$ macht die Formulierung der Momente der Spektraldichte des q -Teils direkt auf dem physikalischen Schnitt etwas schwieriger. Aufgrund des Faktors $1/Q^2$ besitzt die Amplitude für die m_s^2 -Korrektur keine Standard-Dispersionsrelation. Es lässt sich aber eine Dispersionsrelation

als

$$\frac{\Pi_{mq}(Q^2)}{Q^2} = \int \frac{d\sigma(s)}{s + Q^2} \quad (7.17)$$

mit einem nicht differenzierbaren Maß $d\sigma(s)$ schreiben, was bedeutet, dass es keine stetige Funktion $\sigma'(s)$ gibt, die $d\sigma(s) \neq \sigma'(s)ds$ erfüllt. Dies lässt sich in eine bekanntere Form bringen, falls man ein anderes Gewicht benutzt:

$$\frac{\Pi_{mq}(Q^2)}{Q^2} = \int_0^\infty \frac{\rho_F(s)ds}{(s + Q^2)^2} = -\frac{d}{dQ^2} F(Q^2), \quad (7.18)$$

wobei

$$F(Q^2) = \int_0^\infty \frac{\rho_F(s)ds}{s + Q^2} \quad (7.19)$$

und $\rho_F(s)$ eine stetige Spektraldichte ist. Aus diesem Grund ist $F(Q^2)$ die Stammfunktion von

$$-\Pi_{mq}(Q^2)/Q^2 = \Pi_{mq}(q^2)/q^2. \quad (7.20)$$

Sie lässt sich als

$$F(Q^2) = - \int^{Q^2} \frac{dQ'^2}{Q'^2} \Pi_{mq}(Q'^2) = \int^L dL' \Pi_{mq}(L') \quad (7.21)$$

schreiben. Dies ergibt für die Stammfunktion F

$$F(Q^2) = L + \left(\frac{7}{3}L + L^2\right)a + (15.757L + 7.11L^2 + 1.417L^3)a^2 + \dots. \quad (7.22)$$

Mit der Diskontinuität am Schnitt der Funktion, welche durch

$$\rho_F(s) = \frac{i}{2\pi} (F(-s + i\epsilon) - F(-s - i\epsilon)) \quad (7.23)$$

gegeben ist, kann die Dispersionsrelation aus Gl. (7.19) invertiert werden (vgl. Gl. (5.29)). Man erhält für die Spektraldichte

$$\begin{aligned} \rho_F(s) &= 1 + \left(\frac{7}{3} + 2l\right)a + (1.77 + 14.22l + 4.25l^2)a^2 + \\ &\quad (-207.04 + k_{q2} + 62.21l + 54.52l^2 + 9.21l^3)a^3 + \dots, \end{aligned} \quad (7.24)$$

wobei die $\overline{\text{MS}}$ -Kopplungskonstante α_s bereits durch die effektive Kopplungskonstante a ersetzt wurde und $l = \ln(M_\tau^2/q^2)$. Gleichung (7.24) besitzt die Standardform einer Spektraldichte und ermöglicht so einen Vergleich mit dem masselosen und dem g -Teil. Um alle Konstanten zu absorbieren, wird für den q -Teil ein neuer Massenparameter m_q^2 in Analogie zum g -Teil eingeführt, so dass

$$m_q^2 = m_s^2 \rho_F(M_\tau^2) \quad (7.25)$$

gilt, wobei $m_q^2 = m_q^2(M_\tau^2)$ und $m_s^2 = m_s^2(M_\tau^2)$ ist. Die Relation zwischen der effektiven Masse für den q -Teil und der $\overline{\text{MS}}$ -Masse ist

$$\begin{aligned} m_q^2 &= m_s^2 \left(1 + \frac{7}{3}a + 1.77a^2 + (-207.044 + k_{q2})a^3\right. \\ &\quad \left.+ (-1335.5 - 2.33k_3 - 4.92k_{q2} + k_{q3})a^4 + \dots\right). \end{aligned} \quad (7.26)$$

Der Term der Ordnung a^4 enthält nicht nur den unbekannten Koeffizienten k_{q2} , sondern auch die Koeffizienten k_3 und k_{q3} , welche diese Korrektur vollkommen unbekannt machen. Die Definition dieser neuen Masse durch die $\overline{\text{MS}}$ -Masse (Gl. (7.26)) besitzt eine Genauigkeit von ungefähr 2%, wenn nur Korrekturen bis zur zweiten Ordnung verwendet werden. Wird Gl. (7.26) mit der $\overline{\text{MS}}$ -Kopplungskonstante ausgedrückt, so ergibt sich

$$m_q^2 = m_s^2 \left(1 + \frac{7}{3} \left(\frac{\alpha_s}{\pi} \right) + 5.60 \left(\frac{\alpha_s}{\pi} \right)^2 + (-225.22 + k_{q2}) \left(\frac{\alpha_s}{\pi} \right)^3 + \dots \right). \quad (7.27)$$

Mit dieser neuen Masse m_q^2 kann eine neue Spektraldichte $\rho_q(s)$ in Analogie zu Gleichung (7.2) definiert werden:

$$m_s^2 \rho_F(s) = m_q^2 \rho_q(s). \quad (7.28)$$

Das führt zu der Entwicklung

$$\begin{aligned} \rho_q(s) = & 1 + 2la + (9.55l + 4.25l^2)a^2 + (36.36l + 44.6l^2 + 9.21l^3)a^3 + \\ & ((-1141 - 2k_3 + 6.75k_{q2})l \\ & + 253.6l^2 + 154.96l^3 + 20.14l^4)a^4 + \mathcal{O}(a^5). \end{aligned} \quad (7.29)$$

Die Reihe (7.29) enthält aufgrund der Definition der effektiven Masse nur Logarithmen und keine Konstanten. Die Koeffizienten der Spektraldichte $\rho_q(s)$ aus Gl. (7.29) sind bis zur zweiten Ordnung denen des g -Teils der Massenkorrektur $\rho_g(s)$ (Gl. (7.6)) ähnlich. Die Koeffizienten der Logarithmen mit den höchsten Potenzen sind in q - und g -Teil gleich, wogegen sich die der Logarithmen mit niedrigeren Potenzen aufgrund der unterschiedlichen Koeffizienten der entsprechenden Adler-Funktion Gl. (5.46) unterscheiden. Der Koeffizient des Terms $l^1 a^3$ von $\rho_q(s)$ (Gl. (7.29)) ist siebenmal größer als der entsprechende Koeffizient aus Gl. (7.6) von $\rho_g(s)$. Dieser Koeffizient dominiert die Korrektur dritter Ordnung für große n , da Beiträge von Logarithmen mit höheren Potenzen unterdrückt werden. Die Koeffizienten der Spektraldichte $\rho_q(s)$ sind generell größer als die Koeffizienten der Spektraldichte $\rho(s)$ im masselosen Fall aus Gl. (6.7).

Auf diese Weise erlaubt das Verhalten der Spektraldichten (ρ, ρ_g, ρ_q) , sofort Schlüsse auf das Konvergenzverhalten der entsprechenden Momente für alle drei unabhängigen Beiträge zu ziehen.

Die Standardmomente von $\rho_q(s)$, wie sie in den Gleichungen (6.2, 7.7) für den masselosen und g -Teil definiert sind, stimmen nicht mit den physikalischen Momenten der q -Amplitude überein, weil der Faktor vor Π_{mq} in der Entwicklung des q -Teils der Korrelationsfunktion (vgl. Gl. 7.15) den Pol m_s^2/Q^2 enthält. Aufgrund dieses Poles müssen die physikalischen q -Momente $M_q^{ph}(n)$ durch ein Konturintegral folgendermaßen definiert werden:

$$\frac{im_s^2}{2\pi} \oint \frac{\Pi_{mq}(q^2)}{q^2} \left(\frac{q^2}{M_\tau^2} \right)^n dq^2 = m_q^2 M_q^{ph}(n). \quad (7.30)$$

Die Momente Gl. (7.30) können durch die Funktion $\rho_q(s)$ direkt ausgewertet werden. Für das nullte Moment stellt sich heraus, dass

$$M_q^{ph}(0) = -\rho_q(M_\tau^2) = -1. \quad (7.31)$$

Dies ergibt sich folgendermaßen:

$$m_q^2 M_q^{ph}(0) = \frac{im_s^2}{2\pi} \oint \frac{\Pi_{mq}(q^2)}{q^2} dq^2 \quad (7.32)$$

$$\begin{aligned} &= -\frac{im_s^2}{2\pi} \oint \frac{d}{dQ^2} (F(Q^2)) dQ^2 \\ &= -\frac{im_s^2}{2\pi} (F(-M_\tau^2 + i\epsilon) - F(-M_\tau^2 - i\epsilon)) \\ &= -m_s^2 \rho_q(M_\tau^2) =: -m_q^2. \end{aligned} \quad (7.33)$$

Der Grund hierfür ist, dass die Integration mit $n = 0$ in Gl. (7.30) genau die Beiträge enthält, die durch die Neudeinition der Strange-Quarkmasse absorbiert werden. Höhere physikalische Momente hängen mit den Standardmomenten von $\rho_q(s)$ über

$$M_q^{ph}(n)|_{n>0} = n \int_0^{M_\tau^2} \rho_q(s) \left(\frac{s}{M_\tau^2} \right)^{n-1} \frac{ds}{M_\tau^2} - 1 \equiv M_q(n-1) - 1 \quad (7.34)$$

zusammen. Die explizite Rechnung hierzu ist:

$$\begin{aligned} m_q^2 M_q^{ph}(n, n > 0) &= \frac{im_s^2}{2\pi} \oint \frac{\Pi_{mq}(Q^2)}{Q^2} \left(\frac{-Q^2}{M_\tau^2} \right)^n dQ^2 \\ &= -\frac{im_s^2}{2\pi} \oint \left(\frac{d}{dQ^2} F(Q^2) \right) \left(\frac{-Q^2}{M_\tau^2} \right)^n dQ^2 \\ &= -\frac{im_s^2}{2\pi} \oint \left[\frac{d}{dQ^2} \left\{ F(Q^2) \left(\frac{-Q^2}{M_\tau^2} \right)^n \right\} + n \frac{F(Q^2)}{M_\tau^2} \left(\frac{-Q^2}{M_\tau^2} \right)^{n-1} \right] dQ^2 \\ &= -m_q^2 - \frac{im_s^2}{2\pi} n \oint F(Q^2) \left(\frac{-Q^2}{M_\tau^2} \right)^{n-1} \frac{dQ^2}{M_\tau^2} \\ &= -m_q^2 + n \int_0^{M_\tau^2} m_s^2 \rho_F(s) \left(\frac{s}{M_\tau^2} \right)^{n-1} \frac{ds}{M_\tau^2} \\ &= m_q^2 \left\{ n \int_0^{M_\tau^2} \rho_q(s) \left(\frac{s}{M_\tau^2} \right)^{n-1} \frac{ds}{M_\tau^2} - 1 \right\} \\ &= m_q^2 (M_q(n-1) - 1). \end{aligned} \quad (7.35)$$

Im drittletzten Schritt wurde verwendet, dass

$$\begin{aligned} \oint F(Q^2) \left(\frac{-Q^2}{M_\tau^2} \right)^{n-1} dQ^2 &= \oint \left(\frac{-Q^2}{M_\tau^2} \right)^{n-1} dQ^2 \int_0^\infty \frac{\rho_F(s) ds}{s + Q^2} \\ &= \int_0^\infty \rho_F(s) ds \oint \left(\frac{-Q^2}{M_\tau^2} \right)^{n-1} \frac{dQ^2}{s + Q^2} \\ &= 2\pi i \int_0^{M_\tau^2} \rho_F(s) \left(\frac{s}{M_\tau^2} \right)^{n-1} ds \end{aligned} \quad (7.37)$$

ist, wobei sich mit dem Residuensatz

$$\oint \left(\frac{-Q^2}{M_\tau^2} \right)^n \frac{dQ^2}{s+Q^2} \Big|_{Q'^2=s+Q^2} = \Theta(M_\tau^2 - s) \oint \left(\frac{s-Q'^2}{M_\tau^2} \right)^n \frac{dQ'^2}{Q'^2} = 2\pi i \left(\frac{s}{M_\tau^2} \right)^n \Theta(M_\tau^2 - s) \quad (7.38)$$

ergibt. Höhere Momente enthalten keine Parton-Modell-Beiträge. Die Momente $M_q(n)$ sind die in Gl. (6.2) definierten Standardobjekte. Die gesamte Analyse aus Kapitel 6 ist auf die Momente $M_q(n)$ mit $\rho_q(s)$ anstelle von $\rho_g(s)$ bzw. $\rho(s)$ anwendbar. Die numerischen Resultate für die Momente sind

$$\begin{aligned} M_q(0) &= 1 + 2a + 18.1a^2 + 180.8a^3 + (779.4 - 2k_3 + 6.75k_{q2})a^4, \\ M_q(1) &= 1 + 1a + 6.90a^2 + 47.39a^3 + (-297.3 - k_3 + 3.375k_{q2})a^4, \\ M_q(2) &= 1 + \frac{2}{3}a + 4.13a^2 + 24.08a^3 + (-283.6 - 0.67k_3 + 2.25k_{q2})a^4, \\ M_q(3) &= 1 + \frac{1}{2}a + 2.92a^2 + 15.53a^3 + (-237.13 - 0.5k_3 + 1.69k_{q2})a^4, \\ M_q(4) &= 1 + \frac{2}{5}a + 2.25a^2 + 11.28a^3 + (-199.699 - 0.4k_3 + 1.35k_{q2})a^4, \\ &\vdots \\ M_q(100) &= 1 + \frac{1}{50}a + 0.095a^2 + 0.37a^3 + (-11.25 - 0.020k_3 + 0.067k_{q2})a^4. \end{aligned} \quad (7.39)$$

Die physikalischen q -Momente $M_q^{ph}(n)$ hängen mit den Momenten $M_q(n)$ durch Gl. (7.31) und (7.34) zusammen. Sie ändern das Konvergenzverhalten der Störungsreihe nicht. Das sich aus $M_q(0)$ ergebende Moment $M_q^{ph}(1)$ zeigt bereits in der dritten Ordnung asymptotisches Wachstum. Wie erwartet, zeigen höhere Momente ein besseres Konvergenzverhalten, da bei ihnen der niedrigenergetische Bereich unterdrückt ist.

7.3 Massenkorrektur zu τ -Lepton-Observablen

Nachdem die Technik für die Analyse von Momenten der Ordnung m_s^2 eingeführt worden ist, lässt sich diese jetzt anwenden, um physikalische Observable zu untersuchen.

7.3.1 Totale τ -Lepton-Zerfallsrate

Die τ -Lepton-Zerfallsrate ist durch eine spezielle Linearkombination von Momenten gegeben. Die Wichtungsfunktion enthält den Faktor $(1 - s/M_\tau^2)^2$, welcher die Konvergenz der τ -Lepton-Zerfallsrate verschlechtert. Die Form der Wichtungsfunktion mit dem Faktor $(1 - s/M_\tau^2)^2$ ist wie vorher der Hauptgrund für die schlechte Konvergenz der m_s^2 -Korrektur der

Zerfallsrate.

$$R_{m\tau} = \frac{i}{2\pi} \oint 2 \left(1 - \frac{q^2}{M_\tau^2}\right)^2 3 \left(\frac{m_s^2 \Pi_{mq}(q^2)}{q^2} - \frac{m_s^2 \Pi_{mg}(q^2)}{M_\tau^2} \right) \frac{dq^2}{M_\tau^2}. \quad (7.40)$$

Die zwei verschiedenen Massen werden in der Zerfallsrate explizit aufgeführt, um die Struktur der beiden Störungsreihen einzeln zu untersuchen. Das Resultat für die Massenkorrektur der totalen Zerfallsrate ist

$$\begin{aligned} R_{m\tau} &= 6 \frac{m_q^2}{M_\tau^2} (M_q^{ph}(0) - 2M_q^{ph}(1) + M_q^{ph}(2)) - 6 \frac{m_g^2}{M_\tau^2} (M_g(0) - M_g(1) + \frac{1}{3}M_g(2)) \\ &= -6 \frac{m_q^2}{M_\tau^2} (2M_q(0) - M_q(1)) - 6 \frac{m_g^2}{M_\tau^2} (M_g(0) - M_g(1) + \frac{1}{3}M_g(2)). \end{aligned} \quad (7.41)$$

Dies ist durch die effektiven Massenparameter und die oben eingeführten Momente ausgedrückt. In der Parton-Modell-Approximation sind alle Momente auf Eins normiert. Numerisch ergibt sich

$$\begin{aligned} R_{m\tau} &= -6 \frac{m_q^2}{M_\tau^2} (1 + 3a + 29.21a^2 + 314.3a^3 + (1856.1 - 3.0k_3 + 10.13k_{q2})a^4) \\ &\quad - 2 \frac{m_g^2}{M_\tau^2} (1 + 3.67a + 34.84a^2 + 337.3a^3 + (3745.2 - 3.67k_3)a^4). \end{aligned} \quad (7.42)$$

Der Grund für die schlechte Konvergenz von (7.42) sind die Beiträge der niedrigen Momente $M_q(0)$, $M_q(1)$ und $M_g(0)$, $M_g(1)$ zu der Massenkorrektur der totalen Zerfallsrate. Beide Reihen in Gl. (7.42) konvergieren nur schlecht. Der gesamte Ausdruck wird durch den Beitrag des q -Teils dominiert, der einen dreimal größeren Koeffizienten in der führenden Ordnung besitzt.

Wenn man m_q^2 , m_g^2 und a in Gl. (7.42) durch die entsprechenden Größen im $\overline{\text{MS}}$ -Schema m_s^2 und α_s ersetzt, so erhält man das Standardresultat

$$R_{m\tau} = -8 \frac{m_s^2}{M_\tau^2} \left(1 + 5.33 \frac{\alpha_s}{\pi} + 46.0 \left(\frac{\alpha_s}{\pi} \right)^2 + (283.55 + 0.75k_{q2}) \left(\frac{\alpha_s}{\pi} \right)^3 + \dots \right). \quad (7.43)$$

7.3.2 Die '1+0'-Methode

In [3] wird der numerische Wert der Strange-Quarkmasse im $\overline{\text{MS}}$ -Schema mit der '1+0'-Methode abgeschätzt, welche die Darstellung der totalen Zerfallsrate als eine Summe des $(L+T)$ - und des L -Beitrages verwendet. Der Ausdruck für die totale Zerfallsrate Gl. (7.40) lässt sich folgendermaßen umschreiben:

$$R_\tau = \frac{i}{2\pi} \oint 2 \left(1 - \frac{q^2}{M_\tau^2}\right)^2 \left\{ \left(1 + 2 \frac{q^2}{M_\tau^2}\right) \Pi_{(L+T)}(q^2) - 2 \frac{q^2}{M_\tau^2} \Pi_L(q^2) \right\} \frac{dq^2}{M_\tau^2}, \quad (7.44)$$

wobei

$$\Pi_{(L+T)}(q^2) = \Pi_q(q^2) \quad (7.45)$$

ist. Es wird angenommen, dass im $\overline{\text{MS}}$ -Schema die Reihe für den $(L + T)$ -Teil der m_s^2 -Korrektur in Gl. (7.44) gut konvergiert [3, 48]. Die Konvergenz ist in der FOPT nicht sehr eindrucksvoll, aber die für die Kontur-verbesserte Störungsheorie (CIPT) gegebenen Resultate in Ref. [3, 48] zeigen schnelle Konvergenz. Die interessante Größe ist jetzt

$$\begin{aligned} R_{m\tau}^{L+T} &= \frac{i}{2\pi} \oint 2 \left(1 - \frac{q^2}{M_\tau^2}\right)^2 \left(1 + 2\frac{q^2}{M_\tau^2}\right) 3 \frac{\Pi_{mq}(q^2)}{q^2} \frac{dq^2}{M_\tau^2} \\ &= 6 \frac{m_q^2}{M_\tau^2} (M_q^{ph}(0) - 3M_q^{ph}(2) + 2M_q^{ph}(3)) \\ &= -6 \frac{m_q^2}{M_\tau^2} (3M_q(1) - 2M_q(2)). \end{aligned} \quad (7.46)$$

Aufgrund der in $R_{m\tau}^{L+T}$ (7.46) enthaltenen Momente ist zu vermuten, dass das Konvergenzverhalten von $R_{m\tau}^{L+T}$ besser ist als das der totalen Zerfallsrate, da in $R_{m\tau}^{L+T}$ das nullte Moment nicht eingeht. Dies ist ein invarianter (vom Renormierungsschema unabhängiger) Grund für bessere Konvergenz: Die spezielle Kombination $R_{m\tau}^{L+T}$ erhält kleinere Infrarot-Beiträge aus dem Integrationsbereich und ist in der Störungstheorie besser berechenbar. Trotzdem ist die Konvergenz nicht besonders gut. Die nummerischen Resultate für den $(L + T)$ -Teil sind:

$$\begin{aligned} R_{m\tau}^{L+T}|_{q\text{-scheme}} &= -6 \frac{m_q^2}{M_\tau^2} \left(1 + 1.67a + 12.448a^2 + 94.01a^3 \right. \\ &\quad \left. + (-324.629 - 1.67k_3 + 5.625k_{q2})a^4 + \dots \right). \end{aligned} \quad (7.47)$$

Für Standardwerte der unbekannten Parameter $25 < k_3 < 100$ und $0 < k_{q2} < 160$ fallen die nummerischen Werte der QCD-Korrekturen ab, so dass kein asymptotisches Wachstum auftritt. Der gesamte Beitrag der ersten drei QCD-Korrekturen beträgt 0.45, was eine vernünftige Änderung des Resultates im Parton-Modell ist. Im $\overline{\text{MS}}$ -Schema erhält man den Ausdruck

$$\begin{aligned} R_{m\tau}^{L+T}|_{\overline{\text{MS}}\text{-scheme}} &= -6 \frac{m_s^2}{M_\tau^2} \left(1 + 4.0 \left(\frac{\alpha_s}{\pi}\right) + 24.67 \left(\frac{\alpha_s}{\pi}\right)^2 + (-62.77 + k_{q2}) \left(\frac{\alpha_s}{\pi}\right)^3 + \right. \\ &\quad \left. + (-3110 + 7.29k_{q2} + k_{q3}) \left(\frac{\alpha_s}{\pi}\right)^4 + \dots \right). \end{aligned} \quad (7.48)$$

Die Summe der ersten beiden QCD-Korrekturen ist 0.65. Die Änderung der Parton-Modell-Vorhersage durch die bekannten Korrekturen ist größer als im effektiven q -Schema, obwohl in diesem eine QCD-Korrektur mehr bekannt ist. Der einzige Vorteil der $(L+T)$ -Amplitude ist die Abwesenheit des nullten Moments $M_q(0)$, das das divergenteste aus dem Satz der q -Momente ist. Allerdings benötigt man das Moment $M_q(1)$ aus Gl. (7.39) zur Berechnung von Gl. (7.46), was ein gutes Konvergenzverhalten verhindert. Für den longitudinalen Teil

erhält man die folgende Linearkombination aus q - und g -Momenten:

$$\begin{aligned} R_{m\tau}^L &= \frac{i}{2\pi} \oint 2 \left(1 - \frac{q^2}{M_\tau^2}\right)^2 (-2) \frac{q^2}{M_\tau^2} \Pi_L(q^2) \frac{dq^2}{M_\tau^2} \\ &= -12 \frac{m_q^2}{M_\tau^2} (M_q(0) - 2M_q(1) + M_q(2)) - 6 \frac{m_g^2}{M_\tau^2} (M_g(0) - M_g(1) + \frac{1}{3}M_g(2)) . \end{aligned} \quad (7.49)$$

Deren Konvergenzverhalten ist relativ schlecht, da auch die nullten Momente in den Ausdruck eingehen. Der q -Teil enthält hier keinen Beitrag des Parton-Modells. Die numerischen Resultate sind

$$\begin{aligned} R_{m\tau}^L &= -2 \frac{m_g^2}{M_\tau^2} (1 + 3.67a + 34.8a^2 + 337.3a^3 + (3745.2 - 3.67k_3)a^4) \\ &\quad - 8 \frac{m_q^2}{M_\tau^2} (0 + a + 12.57a^2 + 165.2a^3 + (1635.6 - k_3 + 3.375k_{q2})a^4) . \end{aligned} \quad (7.50)$$

Aus Gl. (7.50) kann man den Grund für die schlechte Störungsreihe erkennen. Während die Konvergenz des g -Teils normal ist, verhält sich der q -Teil ohne Parton-Modell-Beitrag sehr schlecht und wird gegenüber dem g -Teil um den Faktor vier verstärkt, was die Summe in Gl. (7.50) vollkommen uninterpretabel macht.

Bisher werden die Massenparameter m_q und m_g für den g - und den q -Teil der Korrelationsfunktion als interne Massenskalen für die m_s^2 -Korrektur verwendet. Es ist aber auch möglich einen anderen Satz von Parametern $m_{T,L}$ zu verwenden, die zu der Zerlegung der Korrelationsfunktion in den transversalen und den longitudinalen Anteil gehören. In diesem Fall sind der transversale und der g -Teil identisch ($m_T = m_g$), die effektive Masse m_L^2 ergibt sich aus dem longitudinalen Teil $\Pi_L(q^2)$. Der Ausdruck für m_T^2 durch die $\overline{\text{MS}}$ -Schema-Masse ist vernünftig (Gl. (7.4)). Hingegen ist die entsprechende Relation für m_L viel schlechter:

$$\begin{aligned} m_L^2 &= m_s^2 \left(1 + 5.67 \frac{\alpha_s}{\pi} + 31.9 \left(\frac{\alpha_s}{\pi} \right)^2 + 89.2 \left(\frac{\alpha_s}{\pi} \right)^3 + \right. \\ &\quad \left. (-5180 + k_{g3} + 17.5k_{q2}) \left(\frac{\alpha_s}{\pi} \right)^4 + \dots \right) . \end{aligned} \quad (7.51)$$

Die unterschiedlichen Eigenschaften der Störungsreihen für die Parameter m_T und m_L können als Resultat des Unterschiedes der vollen QCD-Wechselwirkung im Spin-1- und Spin-0-Kanal verstanden werden. Der stärkere und frühere Zusammenbruch der Störungstheorie im Spin-0-Kanal kann mit den Beiträgen von nichtperturbativen Effekten (Instantonen) zusammenhängen, die im Spin-1-Kanal nicht vorhanden sind.

Insgesamt ist die Konvergenz der Störungsreihe für die m_s^2 -Korrekturen der natürlichsten und am präzisesten messbaren physikalischen Observablen immer schlecht. Dies liegt daran, dass der Infrarot-Bereich der Integration numerisch wichtig für den gegebenen experimentellen Wert der Kopplungskonstante ist. Eine gute Konvergenz ist immer das Resultat einer speziellen Linearkombination der Momente oder einer speziellen Wahl des

Renormierungsschemas. Der erste Fall lässt sich allerdings für eine interessante, da gut messbare, Observable nicht realisieren. Dies zeigt die Notwendigkeit der Resummation der Reihe für eine solide Interpretation der theoretischen Formeln.

7.4 Zusammenfassung von Kapitel 7

In diesem Kapitel wurde die Asymptotik der Störungsreihe für die m_s^2 -Korrektur analysiert. Unter Benutzung der Standardabschätzung der Genauigkeit einer asymptotischen Reihe ergibt sich, dass die theoretische Genauigkeit in der störungstheoretischen Beschreibung der Cabibbo-unterdrückten τ -Lepton-Zerfälle durch das asymptotische Wachstum der Koeffizienten in der vierten Ordnung der Störungsreihe limitiert ist. Diese Schlussfolgerung ist unabhängig von der Wahl des Renormierungsschemas. Die Genauigkeit der Störungsreihe der m_s^2 -Korrektur in Cabibbo-unterdrückten Zerfallskanälen ist bestenfalls 15%-20%. Aus diesem Grund ist die Bestimmung des numerischen Wertes der Strange-Quarkmasse aus den m_s^2 -Korrekturen der τ -Zerfallsrate in Hadronen mit Strangeness durch die Präzision dieser Störungsreihen limitiert. Bessere theoretische Genauigkeiten könnten durch die Verwendung von Observablen, die nur höhere Momente enthalten, erreicht werden. Allerdings sind für diese Observablen die experimentellen Daten im Augenblick noch zu schlecht. Vom phänomenologischen Standpunkt aus unterscheidet sich die Analyse der m_s^2 -Korrektur von dem masselosen Fall. Während im letzterem die niedrigen Momente durch die Verwendung von experimentellen Daten vermieden werden können (z. B. aus der e^+e^- -Annihilation), besitzen die q - bzw. g -Momente keine direkte physikalische Bedeutung und können nicht in dieser Weise behandelt werden.

Das Einführen von zwei natürlichen Massen erlaubt es, den masselosen, den q - und den g -Teil der Korrelationsfunktion bis zu der Ordnung a^4 mit nur zwei unbekannten Parametern k_3 und k_{qg} zu beschreiben, anstelle von vier Parametern im $\overline{\text{MS}}$ -Schema. Die Existenz von zwei unterschiedlichen Massenskalen ist durch die Unterschiede der Wechselwirkung im Spin-1- und Spin-0-Teil physikalisch motiviert. Für die beiden unabhängigen m_s^2 -Korrekturen (g -und q -Teil) ist die Konvergenz der niedrigen Momente langsam. Die Beiträge der Infrarotbereiche sind groß. Nur diejenigen Momente konvergieren gut, bei denen die Infrarotregion des Integrationsbereiches unterdrückt ist. Die QCD-Parameter $a(s)$ und $m_{q,g}(s)$ laufen zu schnell, um präzise Störungsreihen für einen Satz von τ -Lepton-Observablen zu erzeugen. Wenn die Parameter langsamer laufen würden, wären die Koeffizienten der β - und der γ -Funktion kleiner, und es wäre möglich, die große Genauigkeit der experimentellen Daten für niedrige Momente voll auszunutzen. Observable, die nur hohe Momente enthalten, können mit der FOPT gut beschrieben werden, allerdings sind für diese noch keine ausreichend genauen experimentellen Daten verfügbar. Um einen präzisen Vergleich von Theorie und Experiment zu ermöglichen, ist deswegen eine Resummationsprozedur notwendig [19, 17, 47].

Kapitel 8

Bestimmung der starken Kopplungskonstante α_s

In diesem Kapitel wird eine Methode vorgeschlagen, mit der der numerische Wert der Kopplungskonstante α_s aus den τ -Daten und dem theoretischen Ausdruck für diese in der Störungstheorie in endlicher Ordnung (FOPT) bestimmt werden kann [15]. Die präzise Bestimmung der starken Kopplungskonstante α_s bei niedrigen Energien ist von besonderem Interesse. Dieser Wert lässt sich mit der Renormierungsgruppe zu hohen Energien übertragen, so dass ein QCD-Test möglich ist, der Hadronphysik in einem Energiebereich von 100 GeV vergleicht [49].

Aufgrund der Existenz sehr genauer Formeln in der Störungstheorie und der Einfachheit der Renormierungsgruppe im masselosen Fall erwartet man eine sehr hohe Präzision des Wertes für α_s . Da allerdings der numerische Wert des Entwicklungspfades α_s bei der τ -Lepton-Masse M_τ^2 nicht klein ist, sind die Beiträge von Termen höherer Ordnung wichtig. Die Analyse der τ -Lepton-Observablen im Limes masseloser Quarks in Kapitel 6 [13] hat ergeben, dass die Störungsreihen sich bereits nahe der asymptotischen Grenze befinden, und diese teilweise sogar schon überschritten worden ist. Dies macht eine Interpretation der Störungsreihe notwendig, welche die Terme höherer Ordnungen einschließt.

Die entscheidende neue Eigenschaft der in dieser Analyse vorgeschlagenen Methode ist die explizite Unabhängigkeit vom Renormierungsschema. Wie schon in dem Kapitel über die Renormierungsgruppe (RG) (Kapitel 3) erläutert wurde, ist RG-Invarianz eine fundamentale Eigenschaft der Störungstheorie in der Quantenfeldtheorie, die mit der Freiheit in der Wahl eines Subtraktionsschemas zusammenhängt [29]. Diese Eigenschaft sollte bei der Extraktion eines numerischen Wertes für die Kopplungskonstante berücksichtigt werden. Die normierte τ -Lepton-Zerfallsrate in Hadronen ohne Strangenes $H_{S=0}$ ist durch

$$\begin{aligned} R_{\tau S=0} &= \frac{\Gamma(\tau \rightarrow H_{S=0} \nu)}{\Gamma(\tau \rightarrow l \bar{\nu} \nu)} \\ &= N_c |V_{ud}|^2 S_{EW} (1 + \delta_P + \delta_{EW} + \delta_{NP}) \end{aligned} \quad (8.1)$$

gegeben, wobei $N_c = 3$ die Anzahl der Farbladungen ist. Für das Element der Cabibbo-Matrix wird $|V_{ud}|^2 = 0.9511 \pm 0.0014$ [1] verwendet. Der Faktor $S_{EW} = 1.0194$ ist eine multi-

plikative elektroschwache Korrektur [54]. Der erste Term in Gleichung (8.1) ist das Parton-Modell-Resultat und der zweite Term δ_P steht für perturbative QCD-Effekte. $\delta_{EW} = 0.001$ ist eine additive elektroschwache Korrektur [55]. Die nichtperturbativen Korrekturen sind relativ klein und mit Null konsistent; hier wird $\delta_{NP} = -0.003 \pm 0.003$ (siehe z.B. [11]) verwendet. Der Wert der Zerfallsrate $R_{\tau S=0}$ wurde von den ALEPH-[2]- und OPAL-[4]-Kollaborationen mit sehr ähnlichen Resultaten gemessen. Abbildung 8.1 zeigt die gemessene Spektraldichte, aus der sich durch Integration (Gl. (6.1)) mit der Wichtungsfunktion die Zerfallsrate $R_{\tau S=0}$ ergibt. Die Spektraldichte ist außerdem eine der zentralen Größen für Präzisionstests des Standardmodells, insbesondere für die Berechnung des numerischen Wertes der elektromagnetischen Kopplungskonstante bei M_Z und für das anomale magnetische Moment des Müons [56]. In diesem Kapitel werden die ALEPH-Daten verwendet.

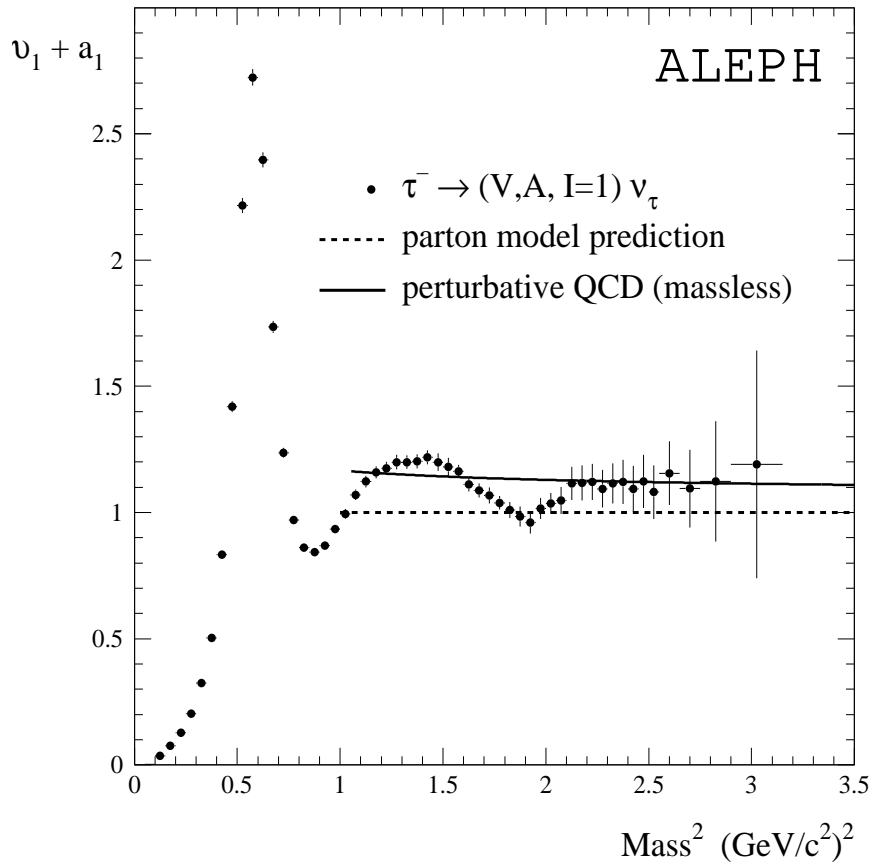


Abbildung 8.1: Messung der Vektor- (v_1) -plus-Axialvektor- (a_1) -Spektraldichte aus τ -Zerfällen in stranglose Hadronen und Vorhersage des Parton-Modells für masselose QCD. (Quelle: ALEPH-Kollaboration [2])

Die entsprechenden Resultate für die OPAL-Daten werden am Ende genannt. Mit dem experimentellen Resultat

$$R_{\tau S=0}^{exp} = 3.492 \pm 0.016 \quad (8.2)$$

ergibt sich

$$\delta_P^{exp} = 0.203 \pm 0.007. \quad (8.3)$$

Der theoretische Ausdruck für die τ -Zerfallsrate wurde bereits im Kapitel 6 untersucht. Für die perturbativen Korrekturen ergab sich im $\overline{\text{MS}}$ -Schema (siehe Gl. 6.33)

$$\begin{aligned} \delta_P^{th} = & \frac{\alpha_s}{\pi} + 5.20232 \left(\frac{\alpha_s}{\pi} \right)^2 + 26.3659 \left(\frac{\alpha_s}{\pi} \right)^3 \\ & + (78.0029 + k_3) \left(\frac{\alpha_s}{\pi} \right)^4 + \mathcal{O}(\alpha_s^5), \end{aligned} \quad (8.4)$$

wobei die Kopplungskonstante α_s bei der Skala $M_\tau = 1.777$ GeV genommen ist. Wie vorher schon erwähnt wurde, ist der Koeffizient k_3 ist nicht bekannt, was die Verwendung des letzten Terms in Gl. (8.4) verhindert. Er wird in dieser Analyse trotzdem mit aufgeführt, um einen Eindruck für die mögliche Größe der (α_s^4) -Korrektur zu erhalten, wenn die nummerischen Werte $0 < k_3 < 50$ als konservative Abschätzung verwendet werden.

8.1 Bestimmung der Kopplungskonstante mit FOPT

Normalerweise extrahiert man den nummerischen Wert für $\alpha_s(M_\tau)$, indem man die ersten drei Terme der Reihe Gl. (8.4) als exakte Funktion behandelt. Die Wurzel dieses Polynoms ist

$$\alpha_s^{st}(M_\tau) = 0.3404 \pm 0.0073_{exp}. \quad (8.5)$$

Der genannte Fehler entsteht durch den Fehler des experimentellen Wertes δ_P^{exp} . Dies ist die Standardmethode. Falls eine andere Methode verwendet wird (z.B. ein anderes Renormierungsschema), kann sich der extrahierte nummerische Wert deutlich unterscheiden. In der Praxis können Korrekturen höherer Ordnung, die in der Standardmethode vernachlässigt werden, aufgrund des relativ großen nummerischen Wertes der Kopplungskonstante relevant sein [17].

Im folgenden wird eine neue Methode vorgeschlagen, um α_s aus Gl. (8.4) zu extrahieren. Die RG-Gleichung

$$\mu^2 \frac{d}{d\mu^2} a(\mu^2) = \beta(a(\mu^2)) \quad (8.6)$$

wird durch das Integral

$$\ln \left(\frac{\mu^2}{\Lambda^2} \right) = \Phi(a(\mu^2)) + \int_0^{a(\mu^2)} \left(\frac{1}{\beta(\xi)} - \frac{1}{\beta_2(\xi)} \right) d\xi \quad (8.7)$$

implizit gelöst, wobei die Konstante des Integrals $\Phi(a)$ folgendermaßen festgelegt wird:

$$\Phi(a) = \int^a \frac{1}{\beta_2(\xi)} d\xi = \frac{1}{a\beta_0} + \frac{\beta_1}{\beta_0^2} \ln \left(\frac{a\beta_0^2}{\beta_0 + a\beta_1} \right). \quad (8.8)$$

Hier bezeichnen $\beta_2(a)$ und $\beta(a)$ die β -Funktion in der zweiten Ordnung und die volle β -Funktion, in der man so viele Terme verwendet, wie bekannt sind, d.h. es ist

$$\begin{aligned}\beta_2(a) &= -a^2(\beta_0 + \beta_1 a) \\ \text{und} \quad \beta(a) &= -a^2(\beta_0 + \beta_1 a + \beta_2 a^2 + \beta_3 a^3) + \mathcal{O}(a^6).\end{aligned}\quad (8.9)$$

Der Vierschleifen-Koeffizient β_3 ist im $\overline{\text{MS}}$ -Schema bekannt [24]. Die implizite Lösung (8.7) der RG-Gruppengleichung (8.6) beschreibt die Entwicklung einer Trajektorie der Kopplungskonstanten. Diese Trajektorie wird durch den Skalenparameter Λ und die Koeffizienten der β -Funktion β_i mit $i > 2$ parametrisiert. Gl. (8.7) ist als Reihe RG-invariant unter der RG-Transformation

$$a \rightarrow a(1 + \kappa_1 a + \kappa_2 a^2 + \kappa_3 a^3 + \dots), \quad (8.10)$$

wenn gleichzeitig der Skalenparameter Λ gemäß

$$\Lambda^2 \rightarrow \Lambda^2 e^{-\kappa_1/\beta_0} \quad (8.11)$$

und die β -Funktion transformiert werden. Das Transformationsverhalten der β -Funktion unter RG-Transformationen wurde in Gl. (3.47) bestimmt. β_0 und β_1 bleiben unter der Transformation (8.10) invariant, β_2 und β_3 transformieren sich gemäß (siehe auch Gl. (3.47))

$$\begin{aligned}\beta_2 &\rightarrow \beta_2 - \kappa_1^2 \beta_0 + \kappa_2 \beta_0 - \kappa_1 \beta_1, \\ \beta_3 &\rightarrow \beta_3 + 4\kappa_1^3 \beta_0 + 2\kappa_3 \beta_0 + \kappa_1^2 \beta_1 - 2\kappa_1(3\kappa_2 \beta_0 + \beta_2).\end{aligned}\quad (8.12)$$

Die RG-Invarianz von Gl. (8.7) unter der in Gl. (8.10, 8.11, 8.12) beschriebenen Transformation bedeutet, dass der Ausdruck (8.7) als Reihe seine Gültigkeit nach der Transformation behält. Die RG-Invarianz von Gl. (8.7) wird nur durch Terme höherer Ordnung in der Kopplungskonstante gebrochen. Die Integrationskonstante in Gl. (8.7) ist so festgelegt, dass die asymptotische Entwicklung von $\alpha_s/\pi = a_{\overline{\text{MS}}}$ für grosse Impulse

$$a_{\overline{\text{MS}}}(Q^2) = \frac{1}{\beta_0 L} \left(1 - \frac{\beta_1}{\beta_0^2} \frac{\ln(L)}{L} \right) + \mathcal{O}\left(\frac{1}{L^3}\right) \quad \text{mit} \quad L = \ln\left(\frac{Q^2}{\Lambda_{\overline{\text{MS}}}^2}\right) \quad (8.13)$$

ergibt. Gl. (8.13) erhält man aus Gl. (8.7) durch iteratives Auflösen nach $a_{\overline{\text{MS}}}$. Insbesondere tritt in Gl. (8.13) kein Term der Art (const/L^2) auf. Dies definiert die Wahl der Integrationskonstante in Gl. (8.7) und damit den Parameter $\Lambda_{\overline{\text{MS}}}$.

Die hier vorgeschlagene Prozedur zu Extraktion von α_s respektiert die RG-Invarianz der Entwicklung der Trajektorien. Im 1. Schritt wird eine neue effektive Ladung a_τ durch die Relation [44, 43]

$$\delta_P^{th} = a_\tau \quad (8.14)$$

eingeführt. Im 2. Schritt wird der Parameter Λ_τ , der mit der Kopplungskonstante a_τ assoziiert ist, mit der effektiven β -Funktion $\beta_\tau = -a_\tau^2(\beta_{\tau 0} + \beta_{\tau 1} a_\tau + \beta_{\tau 2} a_\tau^2 + \beta_{\tau 3} a_\tau^3 + \dots)$

und dem experimentellen Wert für $a_\tau(M_\tau) = \delta_P^{exp}$ bestimmt. Für die Koeffizienten der effektiven β -Funktion ergibt sich ($\beta_{\tau 0} = \beta_0$ und $\beta_{\tau 1} = \beta_1$)

$$\beta_{\tau 2} = -12.3204, \quad \beta_{\tau 3} = -182.719 + \frac{9}{2}k_3. \quad (8.15)$$

Der Wert für Λ_τ wurde in der NNLO-Näherung bestimmt, so dass der Koeffizient $\beta_{\tau 3}$ nicht in die Analyse eingeht.

Im 3. Schritt bestimmt man den Parameter $\Lambda_{\overline{\text{MS}}}$ mit Gleichung (8.11). Aus diesem ergibt sich die $\overline{\text{MS}}$ -Kopplungskonstante $\alpha_s(M_\tau^2)$, indem Gl. (8.7) nach $a(M_\tau)$ mit $\ln(M_\tau^2/\Lambda_{\overline{\text{MS}}}^2)$ und der β -Funktion im $\overline{\text{MS}}$ -Schema aufgelöst wird. Aus Konsistenzgründen kann die $\overline{\text{MS}}$ - β -Funktion nur bis zur Drei-Schleifen-Korrektur verwendet werden, da die β -Funktion β_τ nur bis zu dieser Ordnung bekannt ist (vgl. Gl. (8.15)).

Dieses Verfahren ist RG-invariant. Es ist möglich, den Ausdruck für die Rate in einem beliebigen Renormierungsschema zu verwenden. Die Qualität der Konvergenz der Reihen wird nicht durch unsichere Kriterien wie “die Größe der Korrekturen nimmt ab” abgeschätzt. Die einzigen perturbativen Objekte sind die β -Funktionen, welche beide relativ gut konvergieren. Die Qualität der störungstheoretischen-Ausdrücke für die β -Funktionen zeigt auch die Beschränkung der erreichbaren Genauigkeit auf. Die Entwicklung der Funktion β_τ ist asymptotisch wie alle Reihen der Störungstheorie. Betrachtet man β_τ , so erkennt man, dass die asymptotische Grenze fast erreicht ist, wenn man $a_\tau(M_\tau^2) \sim 0.1$ annimmt.

$$\beta_\tau(a_\tau) = -a_\tau^2 \left(\frac{9}{4} + 4a_\tau - 12.3204a_\tau^2 + a_\tau^3 \left(-182.719 + \frac{9}{2}k_3 \right) \right) + \mathcal{O}(a_\tau^6) \quad (8.16)$$

Die Konvergenz der Reihe hängt stark von dem Wert für k_3 ab. Falls k_3 einen Wert besitzt, bei dem das asymptotische Wachstum bereits in der dritten Ordnung beginnt, so ist eine weitere Verbesserung der Genauigkeit mit der Störungstheorie in endlicher Ordnung nicht mehr möglich.

Mit der RG-invarianten Extraktionsmethode (RSI), wie sie oben beschrieben ist, ergibt sich für die Kopplungskonstante im $\overline{\text{MS}}$ -Schema

$$\alpha_s^{RSI}(M_\tau) = 0.3184 \pm 0.0060_{exp}. \quad (8.17)$$

Der Wert ist kleiner als der entsprechende Wert mit der Standardmethode in Gl. (8.5). Der Referenzwert für die Kopplungskonstante wird gewöhnlich bei der Energieskala des Z -Bosons $M_Z = 91.187$ GeV angegeben. Die Entwicklung zu dieser Referenzskala wird mit der Vier-Schleifen- β -Funktion in $\overline{\text{MS}}$ Schema ausgeführt [24]. An den Schwellenenergien der schweren Quarks (Charm und Bottom) werden Drei-Schleifen-”matching conditions” [45] verwendet, um die Kopplungskonstante der effektiven Theorie ohne schweres Quark in Beziehung zu der Kopplungskonstanten der Theorie mit schwerem Quark zu bringen. Für die Schwellenenergien wird $\mu_b = \bar{m}_b(\mu_b) = (4.21 \pm 0.11)$ GeV [46] und $\mu_c = \bar{m}_c(\mu_c) = (1.35 \pm 0.15)$ GeV verwendet, wobei $\bar{m}_q(\mu)$ die laufende Masse im $\overline{\text{MS}}$ -Schema ist.

Das Laufen ergibt für den mit der Standardmethode bestimmten Wert das Resultat

$$\alpha_s^{st}(M_Z) = 0.1202 \pm 0.0008_{exp} \pm 0.0006_c \pm 0.0001_b . \quad (8.18)$$

Hierbei bezeichnet der Index *exp* den von δ_P^{exp} stammenden Fehler. Die Fehler mit den Indizes *c*, *b* entstehen durch die Unsicherheit in der Charm- und Bottom-Quarkmasse, welche beim Laufen des Parameters zu der Z -Masse in diesen eingehen. Der Mittelwert ist etwas größer als der bei großen Energien bestimmte Wert (vgl. Abb. 8.2) [1]. Die störungs-

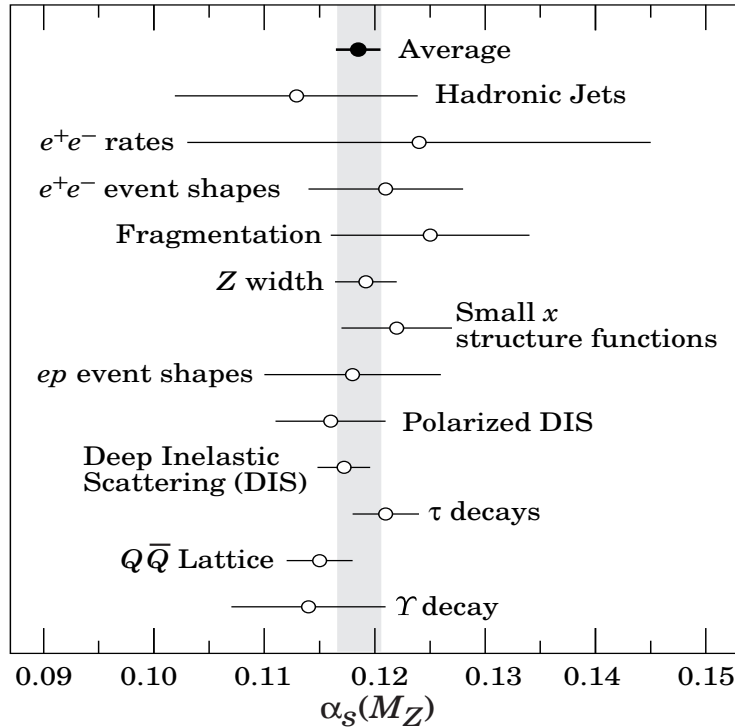


Abbildung 8.2: Resultate für die starke Kopplungskonstante α_s aus verschiedenen Experimenten. (Quelle: Particle Data Book [1])

theoretischen Ausdrücke für Observable in Hochenergie-Experimenten konvergieren besser als Entwicklungen bei niedrigen Energien, da die Kopplungskonstante, die der Parameter der asymptotischen Entwicklung ist, wegen der asymptotischen Freiheit bei großen Energien kleiner ist. Diese Eigenschaft macht die Behandlung der Terme höherer Ordnung in Hochenergie-Experimenten weniger wichtig als bei den relativ niedrigen Energieskalen der τ -Zerfälle. Allerdings sind die experimentellen Daten von Experimenten bei großen Energien ungenauer als bei niedrigen Energien. Die Tatsache, dass das Resultat in Gl. (8.18) größer ist als der bei hohen Energien bestimmte Wert, verursachte eine Diskussion über die Verlässlichkeit der Vorhersagen aus τ -Lepton-Daten. Diese Analyse löst dieses Problem. Das Laufen von $\alpha_s^{RSI}(M_\tau)$ zu M_Z mit der Vier-Schleifen- β -Funktion und mit Drei-Schleifen-

“heavy quark matching conditions” ergibt

$$\alpha_s^{RSI}(M_Z) = 0.11768 \pm 0.00074_{exp} \pm 0.00053_c \pm 0.00005_b , \quad (8.19)$$

wobei fünf Dezimalstellen aufgeführt werden, um die verschiedenen Größenordnungen der einzelnen Fehlerquellen zu unterscheiden. Gleichung (8.19) ist das Hauptresultat dieses Kapitels über die Bestimmung der starken Kopplungskonstanten $\alpha_s(M_Z)$ aus τ -Lepton-Daten.

Die OPAL-Kollaboration berichtet von einem experimentellen Wert von $R_{\tau S=0}^{exp} = 3.484 \pm 0.024$ [4]. Dies führt zu $\delta_P^{exp} = 0.200 \pm 0.009_{exp}$ und

$$\alpha_s^{RSI}(M_\tau) = 0.3158 \pm 0.0078_{exp} . \quad (8.20)$$

Die Entwicklung zu M_Z ergibt

$$\alpha_s^{RSI}(M_Z) = 0.11737 \pm 0.00098_{exp} \pm 0.00052_c \pm 0.00005_b . \quad (8.21)$$

Dieser Wert liegt nahe bei dem aus Gl. (8.19) aus den ALEPH-Daten.

8.2 Bestimmung der Kopplungskonstante mit CIPT

Wie bereits festgestellt wurde, ist die Interpretation der Terme höherer Ordnung der Störungstheorie für die numerischen Resultate der Analyse von τ -Lepton-Daten wichtig. Die Standardmethode zu Resummation von Korrekturen höherer Ordnungen der Störungstheorie besteht darin, die RG-verbesserten Korrelationsfunktionen auf der Kontur in der komplexen Q^2 -Ebene zu integrieren [19]. Diese Methode resummiert Korrekturen, die durch das Laufen der Kopplungskonstante auf der Integrationskontur entstehen, und wird normalerweise bei der Analyse der τ -Lepton-Daten verwendet. Um die Kopplungskonstante mit resummierte Störungstheorie zu bestimmen, wird der theoretische Ausdruck für die Zerfallsrate in der konturverbesserten Störungstheorie (CIPT) an das experimentelle Resultat δ_P^{exp} Gl. (8.3) angepasst [47]. So ergibt sich für die in Kapitel 9 definierte Kopplungskonstante

$$a_E(M_\tau^2) = 0.1445 , \quad (8.22)$$

was sich mit der oben beschriebenen Methode in die $\overline{\text{MS}}$ -Kopplungskonstante für die CIPT

$$\alpha_s^{CI}(M_\tau) = 0.343 \pm 0.009_{exp} \quad (8.23)$$

übersetzt. Dieser Wert unterscheidet sich von dem Resultat der Störungstheorie in endlicher Ordnung in Gl. (8.17). Die Fehlerbalken für die starke Kopplungskonstante in der FOPT Gl. (8.17) und in der CIPT Gl. (8.23) überlappen sich nicht. Diese Situation wurde in [19] bereits vorausgesagt, wo eine Analyse mit resummierte Störungstheorie erstmals ausgeführt wurde. Resummation stellt eine besondere Abschätzung der Terme höherer Ordnung dar. In der FOPT wird ein Modell verwendet, in dem alle Terme höherer Ordnung vernachlässigt werden. In dem anderen Fall (CIPT) verwendet man ein Modell,

in dem Terme höherer Ordnung durch das Laufen der Kopplungskonstanten entlang der Integrationskontur erzeugt werden. Mit der augenblicklich zu Verfügung stehenden experimentellen Genauigkeit kann bereits zwischen den beiden Modellen unterschieden werden. Es ist wichtig, sich darüber im Klaren zu sein, dass die zwei Resultate für die Kopplungskonstante Gl. (8.17) (mit FOPT) und Gl. (8.23) (mit CIPT) mit verschiedenen Modellen erzielt wurden und nicht vermischt werden dürfen. Um beispielsweise den nummerischen Wert der Kopplungskonstante mit Resultaten aus Experimenten bei hohen Energien zu vergleichen, sollte der mit FOPT bestimmte Wert aus Gl. (8.17) verwendet werden, falls die zum Vergleich herangezogenen Resultate auch mit FOPT bestimmt wurden.

8.3 Zusammenfassung von Kapitel 8

In diesem Kapitel wurde der Wert der starken Kopplungskonstante aus τ -Lepton-Zerfällen in stranglose Hadronen bestimmt. Der mit der in diesem Kapitel vorgeschlagenen RG-Gruppen-invarianten Methode extrahierte Wert für α_s ist systematisch kleiner als das mit dem Standardverfahren erzielte Resultat. Für den nummerischen Wert der Kopplungskonstante bei M_Z ergibt sich so

$$\alpha_s(M_Z) = 0.1177 \pm 0.0007_{exp} \pm 0.0006_{hq\ mass}. \quad (8.24)$$

Dieser Wert liegt näher bei den Werten für α_s aus Experimenten bei hohen Energien als die vorherigen Bestimmungen von α_s mit τ -Lepton-Zerfallsdaten.

Kapitel 9

Bestimmung der Strange-Quarkmasse m_s

Aufgrund der Analyse der Momente der hadronischen Spektraldichte in dem endlichen Energieintervall $(0, M_\tau^2)$ aus den Kapiteln 6 und 7 mit Störungstheorie in endlicher Ordnung (FOPT) gibt es deutliche Hinweise dafür, dass die ultimative theoretische Präzision der τ -Lepton-Observablen bereits erreicht ist [13, 14]. Die Störungsreihen sind asymptotisch und ihre ultimative Genauigkeit hängt von dem konkreten numerischen Wert des Entwicklungsparameters ab. Im Fall des τ -Systems ist die starke Kopplungskonstante nicht klein, was bereits bei einer relativ niedrigen Ordnung zu asymptotischem Wachstum führen kann. Dies begrenzt die theoretische Genauigkeit der FOPT. Die Analyse der Kapitel 6 und 7 zeigt, dass asymptotisches Wachstum im masselosen Fall in der fünften und für die Massenkorrektur m_s^2 in der vierten Ordnung beginnt. Für einige Observablen sind die derzeitigen experimentellen Daten bereits mit der ultimativen theoretischen Genauigkeit in der FOPT vergleichbar [2, 3, 4]. Dies stellt das Problem, präzisere theoretische Formeln zu erlangen. Weitere Terme der Störungsreihe in der FOPT werden die Genauigkeit der Resultate nicht verbessern, sind aber vom theoretischen Standpunkt sehr interessant, da sie zusätzliche Informationen liefern. Mit der sich ständig verbesserten experimentellen Genauigkeit wird es notwendig, eine neue Interpretation der Störungsreihe zu finden, falls man eine theoretische Genauigkeit erreichen will, die mit den experimentellen Daten vergleichbar ist. Eine Möglichkeit, numerische Resultate aus den Störungsreihen zu extrahieren, besteht in der Anwendung eines Resummationsverfahrens (siehe z.B. [50]), das weiter entwickelt ist als das einfache Aufaddieren von Termen der Störungsreihe, bis diese wieder zu wachsen beginnen. Die Wahl eines solchen Resummationsverfahrens ist nicht eindeutig, so dass es viele Möglichkeiten gibt, eine asymptotische Reihe zu resummiern oder ihr Konvergenzverhalten zu verbessern [17, 18]. Es gibt zwei wichtige Kriterien für die Wahl eines angemessenen Resummationsverfahrens: Die durch die Renormierungsgruppe gegebene Struktur der Störungsreihe muss respektiert werden, und die Definition von effektiven Parametern, die bei der Beschreibung der Observablen verwendet werden, muss physikalisch motiviert sein. Aufgrund dieser beiden Kriterien wird für die Resummation der Störungsreihen die konturverbesserte Störungstheorie (CIPT) [19] (siehe auch [20]) in

Verbindung mit einem effektiven Renormierungsschema (nicht $\overline{\text{MS}}$) verwendet. Durch die Wahl der CIPT ist das Resummationsverfahren nicht eindeutig festgelegt. Die Freiheit der Wahl eines Renormierungsschemas bleibt bestehen und beeinflusst die numerischen Resultate. Für diese Analyse wird ein effektives Schema verwendet, das für das τ -System natürlich und einfach erscheint. Die Wahl eines angemessenen Renormierungsschemas wird auch durch die Methode bestimmt, mit der das System beschrieben werden soll. In der FOPT ist die Spektraldichte das fundamentale Objekt und dient somit als Definition für die effektive Kopplungskonstante und die effektiven Massen. Wird die CIPT verwendet, so ist die Korrelationsfunktion selbst das fundamentale störungstheoretische Objekt. Aus diesem Grund werden in diesem Kapitel die noch einzuführenden effektiven Parameter über die Korrelationsfunktion definiert. Ihre Definitionen unterscheiden sich von der in den Kapiteln 6 und 7 verwendeten Definition der effektiven Parameter auf dem physikalischen Schnitt. Die hier verwendeten Parameter erhalten deshalb zur Unterscheidung den zusätzlichen Index E für euklidisch, der andeuten soll, dass diese Parameter für euklidische Impulse Q^2 natürlich sind. In dem effektiven Schema werden alle Korrekturen der Korrelationsfunktion in der Definition der Kopplungskonstante (masseloser Fall [37, 40, 41, 42, 43, 44]) und in zwei effektiven Parametern m_{Eq}^2 und m_{Eg}^2 absorbiert, die die zwei Massenskalen in dem q - und g -Teil der Korrelationsfunktion repräsentieren. Diese Massenparameter hängen perturbativ mit der Strange-Quarkmasse zusammen. Für verschwindende Quarkmassen wurde diese Analyse in [47] bereits ausgeführt. In diesem Kapitel wird sie auf die m_s^2 -Korrektur ausgedehnt [16]. Eine Analyse der m_s^2 -Korrektur mit der CIPT im $\overline{\text{MS}}$ -Schema wurde in [60] ausgeführt (siehe auch [48]). Die mit dem effektiven Schema erzielten Resultate bestätigen Ref. [60] im wesentlichen. Um ein Verständnis für die Zuverlässigkeit der hier verwendeten Prozedur zu erhalten, werden die Resultate auf ihre Stabilität bezüglich Korrekturen höherer Ordnung der RG-Funktionen untersucht.

9.1 Resummation in einem effektiven Renormierungsschema

Im ersten Schritt der Analyse des τ -Systems wird ein effektives Renormierungsschema definiert, das alle QCD-Korrekturen in der Kopplungskonstante und den beiden Massen absorbiert. Wenn ein solches Renormierungsschema verwendet wird, sind die einzigen perturbativen Ausdrücke, die benötigt werden, um das System zu beschreiben, die β -Funktion und die beiden γ -Funktionen. Mit diesen drei Funktionen kann die Entwicklung der effektiven Kopplungskonstante und der zwei Massenkoeffizienten-Funktionen auf der Kontur in der komplexen Ebene bestimmt werden. Hierbei werden die β - und γ -Funktionen als exakte Funktionen behandelt. Dies ist das Standard-Verständnis der RG-Resummation. Hat man die expliziten Lösungen der laufenden Kopplungskonstante und der laufenden Massenkoeffizienten-Funktionen, so lassen sich Observable, wie die Momente der Zerfallsrate, durch Integration der Koeffizientenfunktionen mit den für die Observablen spezifischen Wichtungsfunktionen bestimmen.

9.1.1 Definition des effektiven Schemas

Die grundlegende theoretische Größe für τ -Lepton-Zerfälle ist die Korrelationsfunktion von zwei hadronischen Strömen

$$\Pi_{\mu\nu}(q) = i \int dx e^{iqx} \langle T j_\mu(x) j_\nu^\dagger(0) \rangle = \frac{N_c}{6\pi^2} (q_\mu q_\nu \Pi_q(q^2) + g_{\mu\nu} \Pi_g(q^2)) \quad (9.1)$$

wobei $j_\mu(x) = \bar{u} \gamma_\mu (1 - \gamma_5) s$ ist. $\Pi_q(q^2)$ und $\Pi_g(q^2)$ sind skalare RG-invariante Funktionen. Es wird die QCD mit drei leichten Quarks verwendet. Die Entwicklung von $\Pi_q(q^2)$ und $\Pi_g(q^2)$ in Potenzen von m_s^2/q^2 bis zur ersten Massenkorrektur ergibt

$$\Pi_q(q^2) = \Pi(q^2) + 3 \frac{m_s^2}{q^2} \Pi_{mq}(q^2) \quad (9.2)$$

und

$$\Pi_g(q^2) = -q^2 \Pi(q^2) + \frac{3}{2} m_s^2 \Pi_{mg}(q^2) , \quad (9.3)$$

wobei $\Pi(q^2)$ und $\Pi_{mg/q}$ die bereits aus Kapitel 5 bekannten Funktionen sind.

Die neuen effektiven Parameter a_E, m_{Eq}^2, m_{Eg}^2 werden so definiert, dass alle Informationen der Störungstheorie in die effektiven β - und γ -Funktionen absorbiert werden. Da die Korrelationsfunktion der Massenkorrektur nicht transversal ist, müssen zwei verschiedene Massenparameter eingeführt werden. Die Definitionen sind

$$\begin{aligned} -Q^2 \frac{d}{dQ^2} \Pi(Q^2) &= 1 + a_E(Q^2) , \\ -m_s^2(M_\tau^2) Q^2 \frac{d}{dQ^2} \Pi_{mg}(Q^2) &= m_{Eg}^2(M_\tau^2) C_g(Q^2) , \\ m_s^2(M_\tau^2) \Pi_{mq}(Q^2) &= m_{Eq}^2(M_\tau^2) C_q(Q^2) . \end{aligned} \quad (9.4)$$

Ausgedrückt durch die $\overline{\text{MS}}$ -Parameter (α_s und m_s) ergibt sich für die effektiven Parameter aus Gl. (9.4).

$$a_E(M_\tau^2) = \frac{\alpha_s}{\pi} + k_1 \left(\frac{\alpha_s}{\pi} \right)^2 + k_2 \left(\frac{\alpha_s}{\pi} \right)^3 + k_3 \left(\frac{\alpha_s}{\pi} \right)^4 + \dots , \quad (9.5)$$

$$m_{Eg}^2(M_\tau^2) = m_s^2(M_\tau^2) \left(1 + \frac{5}{3} \frac{\alpha_s}{\pi} + k_{g1} \left(\frac{\alpha_s}{\pi} \right)^2 + k_{g2} \left(\frac{\alpha_s}{\pi} \right)^3 + \dots \right) , \quad (9.6)$$

$$m_{Eq}^2(M_\tau^2) = m_s^2(M_\tau^2) \left(1 + \frac{7}{3} \frac{\alpha_s}{\pi} + k_{q1} \left(\frac{\alpha_s}{\pi} \right)^2 + \dots \right) . \quad (9.7)$$

Wie vorher ausgeführt ist der nummerische Wert für k_3 unbekannt. Die Werte der Koeffizienten $k_{1,2}, k_{g1,g2}, k_{q1}$ sind in Gl. (5.47, 5.48) [32, 33, 34, 35, 36] angegeben.

9.1.2 Das Laufen der Kopplungs- und der Koeffizientenfunktionen

Das Verhalten der effektiven Kopplung $a_E(Q)$ und der Koeffizientenfunktionen der Massenparameter $C_{q,g}(Q)$ ist durch die effektive β - und die γ -Funktion bestimmt. Die RG-Gleichungen sind

$$Q^2 \frac{d}{dQ^2} a_E(Q^2) = \beta(a_E), \quad (9.8)$$

$$Q^2 \frac{d}{dQ^2} C_g(Q^2) = 2\gamma_g(a_E) C_g(Q^2), \quad (9.9)$$

$$Q^2 \frac{d}{dQ^2} C_q(Q^2) = 2\gamma_q(a_E) C_q(Q^2). \quad (9.10)$$

Die effektiven RG-Funktionen aus Gl. (9.8, 9.9) und (9.10) lassen sich aus den RG-Funktionen im $\overline{\text{MS}}$ -Schema mit Gl. (3.47, 3.52) bestimmen. Die Koeffizienten der effektiven β - und der γ -Funktion β_i^{eff} und γ_i^{eff} hängen mit den entsprechenden Koeffizienten im $\overline{\text{MS}}$ -Schema β_i und γ_i folgendermaßen zusammen: Für die effektive β -Funktion erhält man

$$\begin{aligned} \beta_0^{\text{eff}} &= \beta_0, \\ \beta_1^{\text{eff}} &= \beta_1, \\ \beta_2^{\text{eff}} &= \beta_2 - k_1 \beta_1 + (k_2 - k_1^2) \beta_0, \\ \beta_3^{\text{eff}} &= \beta_3 - 2k_1 \beta_2 + k_1^2 \beta_1 + (2k_3 - 6k_2 k_1 + 4k_1^3) \beta_0 \end{aligned} \quad (9.11)$$

und für die γ -Funktion ergibt sich

$$\begin{aligned} \gamma_{n0}^{\text{eff}} &= \gamma_0, \\ \gamma_{n1}^{\text{eff}} &= \gamma_1 - k_1 \gamma_0 + \frac{1}{2} k_{n0} \beta_0, \\ \gamma_{n2}^{\text{eff}} &= \gamma_2 - 2k_1 \gamma_1 + (-k_2 + 2k_1^2) \gamma_0 + \frac{1}{2} k_{n0} \beta_1 + \left(-k_1 k_{n0} + k_{n1} - \frac{1}{2} k_{n0}^2 \right) \beta_0, \\ \gamma_{n3}^{\text{eff}} &= \gamma_3 - 3k_1 \gamma_2 + (-2k_2 + 5k_1^2) \gamma_1 + (-k_3 + 5k_2 k_1 - 5k_1^3) \gamma_0 \\ &\quad + \frac{1}{2} k_{n0} \beta_2 + \left(-\frac{3}{2} k_1 k_{n0} + k_{n1} - \frac{1}{2} k_{n0}^2 \right) \beta_1 \\ &\quad + \left(-k_2 k_{n0} + \frac{5}{2} k_1^2 k_{n0} - 3k_1 k_{n1} + \frac{3}{2} k_1 k_{n0}^2 + \frac{3}{2} k_{n2} - \frac{3}{2} k_{n1} k_{n0} + \frac{1}{2} k_{n0}^3 \right) \beta_0. \end{aligned} \quad (9.12)$$

Hier stehen die Koeffizienten k_{nj} mit $n = q, g$ für der Koeffizienten in Gl. (9.6) für $n = g$ ($k_{g0} = 5/3$) und für die Koeffizienten in Gl. (9.7) für $n = q$ ($k_{q0} = 7/3$). Numerisch ergibt sich für die effektiven RG-Funktionen

$$\beta(a_E) = -a_E^2 (2.25 + 4a_E + 11.79a_E^2 + a_E^3 (-76.36 + 4.5k_3)), \quad (9.13)$$

$$\gamma_g(a_E) = -a_E (1 + 4.027a_E + 17.45a_E^2 + a_E^3 (249.59 - k_3)), \quad (9.14)$$

$$\gamma_q(a_E) = -a_E (1 + 4.78a_E + 32.99a_E^2 + a_E^3 (-252.47 - k_3 + 3.38k_{q2})). \quad (9.15)$$

Im Folgenden wird für die effektive Kopplungskonstante der Wert $a_E(M_\tau^2) = 0.1445$ [15] aus Gl. (8.22) verwendet, der aus der τ -Zerfallsrate in Hadronen ohne Strangeness mit der CIPT und dem effektiven Renormierungsschema (9.5) bestimmt wurde (zu dem Verfahren siehe [47]). Die effektive β -Funktion konvergiert für den numerischen Wert der effektiven Kopplungskonstanten $a_E(M_\tau^2) = 0.1445$ gut. Falls der Koeffizient k_3 in dem Bereich $0 < k_3 < 50$ liegt, wird der a_E^3 -Koeffizient in Gl. (9.13) nicht sehr groß. Trotzdem zeigt die β -Funktion (9.13) für $k_3 > 35$ in der N³LO-Näherung asymptotisches Wachstum. Die γ_g -Funktion verhält sich schlechter als die β -Funktion, es besteht aber noch Konvergenz bis zur NNLO: Die N³LO-Korrektur wird asymptotisch anwachsen, falls k_3 kleiner als 129 ist. Die γ_q -Funktion in Gl. (9.15) zeigt bereits in der NNLO-Näherung asymptotisches Wachstum, was die Genauigkeit der Resultate beschränken wird. Grundsätzlich muss man die N³LO-bereits als asymptotisch betrachten, da keine Wahl für k_3 dazu führt, dass die β - und γ -Funktionen beide gut konvergieren. Das bestätigt die Schlussfolgerungen aus den Kapiteln 6 und 7 [13, 14], wo asymptotisches Wachstum in den FOPT-Ausdrücken der Momente der Spektraldichten in der N³LO-Näherung unabhängig von der Wahl für k_3 gefunden wurde.

Das Laufen der Kopplungskonstante und der Massenkoeffizienten-Funktionen $C_{q,g}(Q^2)$ auf der Kontur wird durch die RG-Gleichungen bestimmt. Die Integrationskontur wird durch $Q^2 = M_\tau^2 e^{i\phi}$, $-\pi < \phi < \pi$ parametrisiert, was zu den Differentialgleichungen

$$-i \frac{d}{d\phi} a_E(\phi) = \beta(a_E(\phi)) ; \quad a_E(\phi = 0) = a_{E0} \quad (9.16)$$

und

$$-i \frac{d}{d\phi} C_n(\phi) = 2\gamma_n(a_E(\phi))C_n(\phi) ; \quad C_n(\phi = 0) = 1 \quad (9.17)$$

führt, wobei $a_{E0} = a_E(M_\tau^2)$ und $n = q, g$ ist. Die Lösung der Gleichung für das Laufen der Masse, das durch die Koeffizienten-Funktion $C_n(\phi)$ in Gl. (9.17) beschrieben wird, lässt sich durch das Integral

$$C_n(\phi) = \exp \left(2i \int_0^\phi \gamma_n(a_E(\phi)) d\phi \right) \quad (9.18)$$

ausdrücken. Die Anfangswerte für $a_E(\phi)$ und $C_n(\phi)$ werden bei $Q^2 = M_\tau^2$ oder $\phi = 0$ festgelegt. Alle störungstheoretischen Korrekturen werden in den Koeffizienten der β - und γ -Funktionen absorbiert, falls das in Gl. (9.4) definierte Renormierungsschema verwendet wird. Die Lösungen für die Kopplungskonstante $a_E(\phi)$ und die Koeffizienten-Funktionen $C_q(\phi)$ werden in den Abbildungen 9.1 und 9.2) dargestellt. Das Laufen der effektiven Kopplungskonstante verändert sich nicht stark, falls Korrekturen höherer Ordnung der β -Funktion verwendet werden. $C_g(\phi)$ verändert sich etwas stärker von der LO- zu der NNLO-Näherung wogegen $C_q(\phi)$ (Abb. 9.2) in der Nähe von $\phi = \pm\pi$ (nahe dem physikalischen Schnitt) aufgrund der großen Änderung in der γ_q -Funktion (Gl. (9.15)) von der NLO zu der NNLO nicht konvergiert.

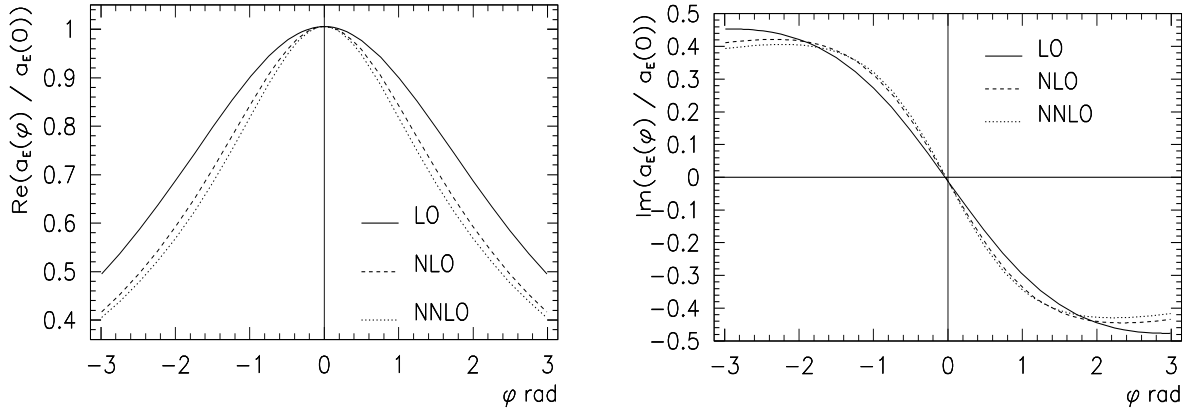


Abbildung 9.1: Laufen der effektiven Kopplungskonstante $a_E(\phi)$ auf einer kreisförmigen Kontur in der komplexen Ebene ($Q^2 = M_\tau^2 e^{i\phi}$), berechnet mit der β -Funktion in der LO-, NLO- und NNLO-Näherung (links: Realteil, rechts: Imaginärteil).

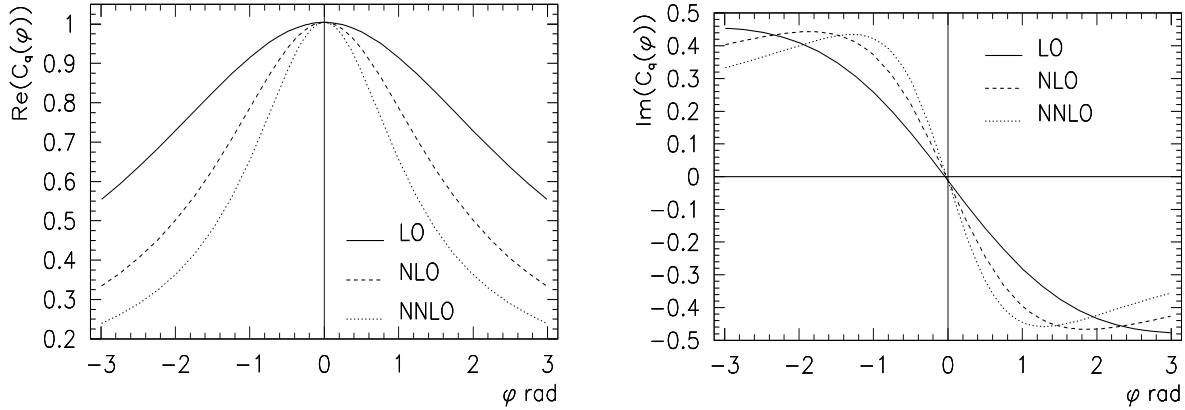


Abbildung 9.2: Laufen der effektiven Koeffizienten-Funktion C_q auf einer kreisförmigen Kontur in der komplexen Ebene ($Q^2 = M_\tau^2 e^{i\phi}$), berechnet mit der γ_q -Funktion in der LO-, NLO- und NNLO-Näherung (links: Realteil, rechts: Imaginärteil).

9.1.3 Resummation

Es wird die direkte Verallgemeinerung des Resummationsverfahrens für den masselosen Fall aus [47] verwendet. Die Differentialgleichungen für die laufenden Parameter (9.16, 9.17) werden gelöst, wobei die störungstheoretischen Ausdrücke für die RG-Funktionen wie exakte Funktionen behandelt werden. Für den masselosen Teil der Korrelationsfunktion werden Momente der der Spektraldichte durch

$$\begin{aligned} M(n) &= (n+1) \frac{i}{2\pi} \oint \Pi(q^2) \left(\frac{q^2}{M_\tau^2} \right)^n \frac{dq^2}{M_\tau^2} \\ &= (n+1)(-1)^{n+1} \frac{i}{2\pi} \oint \Pi(Q^2) \left(\frac{Q^2}{M_\tau^2} \right)^n \frac{dQ^2}{M_\tau^2} \end{aligned}$$

$$\begin{aligned}
&= (n+1)(-1)^{n+1} \frac{i}{2\pi} \oint \Pi(x M_\tau^2)(x)^n \frac{dx}{M_\tau^2} \quad \text{wobei } Q^2 = M_\tau^2 x \\
&= (-1)^{n+1} \frac{i}{2\pi} \oint \Pi(x M_\tau^2) \frac{d}{dx} (x W(x)) dx \\
&= (-1)^{n+1} \frac{i}{2\pi} \oint D(x M_\tau^2) W(x) dx \\
&= (-1)^{n+1} \frac{i}{2\pi} \left(\oint x^n D(x M_\tau^2) dx + \oint \frac{(-1)^n}{x} D(x M_\tau^2) dx \right) \quad (9.19) \\
&= 1 + (-1)^n \frac{1}{2\pi} \int_{-\pi}^{\pi} e^{i(n+1)\phi} a_E(\phi) d\phi + \frac{1}{2\pi} \int_{-\pi}^{\pi} a_E(\phi) d\phi \quad \text{wobei } x = e^{i\phi}
\end{aligned}$$

definiert, wobei im 5. Schritt partiell integriert wurde. Die Wichtungsfunktion $W(x)$ ergibt sich aus der Bedingung

$$\frac{d}{dx}(x W(x)) = (n+1)x^n \quad (9.20)$$

und der Forderung, dass diese Funktion an den Enden der Integrationskontur $x = -1 \pm i\epsilon$ verschwinden soll, so dass bei der partiellen Integration kein Randterm auftritt.

$$W(x) = \frac{1}{x} \int_{-1}^x (n+1)y^n dy = x^n + \frac{(-1)^n}{x} \quad (9.21)$$

Die Ausdrücke für den g -Teil ergeben sich in Analogie zum masselosen Fall. Hier ist

$$M_g(n) = \frac{(-1)^n}{2\pi} \int_{-\pi}^{\pi} e^{i(n+1)\phi} C_g(\phi) d\phi + \frac{1}{2\pi} \int_{-\pi}^{\pi} C_g(\phi) d\phi. \quad (9.22)$$

Im q -Teil wird die bereits in Kapitel 7 Gl. (7.30) gegebene Definition der physikalischen Momente verwendet. Der entsprechende Ausdruck auf der Kontur ist

$$\begin{aligned}
M_q^{ph}(n) &= \frac{m_s^2(M_\tau^2)}{m_{Eq}^2(M_\tau^2)} \frac{i}{2\pi} \oint \frac{\Pi_{mq}(q^2)}{q^2} \left(\frac{q^2}{M_\tau^2} \right)^n dq^2 \quad (9.23) \\
&= (-1)^n \frac{i}{2\pi} \oint \frac{C_q(Q^2)}{Q^2} \left(\frac{Q^2}{M_\tau^2} \right)^n dQ^2 \\
&= (-1)^{n+1} \frac{1}{2\pi} \int_{-\pi}^{\pi} C_q(\phi) e^{in\phi} d\phi.
\end{aligned}$$

Die Momente des masselosen Teils $M(n)$ und die der Massenkorrektur $M_{q,g}(n)$ sind die fundamentalen berechenbaren Objekte. Die qualitativen Schlussfolgerungen über die Stabilität der laufenden Parameter bezüglich Korrekturen höherer Ordnung der β - und γ -Funktionen werden durch das Verhalten der Momente bestätigt. Im masselosen und g -Teil ändern sich die Resultate nicht stark, wenn man von der LO- zu der NNLO-Näherung geht, während die NNLO-Korrektur für Momente des q -Teils größer ist als die vorherige Korrektur. Im masselosen und g -Teil werden die Werte der Momente durch das zweite

Integral in den Gleichungen (9.19, 9.22) dominiert, da die Werte der oszillierenden Integrale in den Gleichungen (9.19, 9.22) für höhere Momente abnehmen. Dies stabilisiert das Verhalten der Momente bezüglich ihrer Abhängigkeit von Termen höherer Ordnung in der Entwicklung der RG-Funktionen. Der q -Teil (Gl. (9.23)) enthält keinen solchen Term und die numerischen Werte für die Korrekturen der Momente aufgrund von höheren Termen der RG-Funktion γ_q sind relativ unregelmäßig.

9.2 Bestimmung der $\overline{\text{MS}}$ -Strange-Quarkmasse

Eines der wichtigsten Ziele der Analyse von Cabibbo-unterdrückten Zerfällen ist die Bestimmung des Massenparameters m_s . Zu diesem Zweck können verschiedene Observable verwendet werden. In dieser Analyse wird die totale Zerfallsrate verwendet. Die experimentellen Daten für Cabibbo-unterdrückte τ -Lepton-Zerfälle sind nicht sehr genau. Im Gegensatz dazu sind die theoretischen Ausdrücke sehr präzise. Der theoretische Ausdruck für die m_s^2 -Korrektur zu den Momenten (k, l) der differentiellen Zerfallsrate ist durch das Konturintegral in der komplexen q^2 -Ebene

$$\begin{aligned} R_{m\tau}^{kl} &= \frac{i}{2\pi} \oint 2 \left(1 - \frac{q^2}{M_\tau^2}\right)^{2+k} \left(\frac{q^2}{M_\tau^2}\right)^l 3 \left(\frac{m_s^2 \Pi_{mq}(q^2)}{q^2} - \frac{m_s^2 \Pi_{mg}(q^2)}{M_\tau^2}\right) \frac{dq^2}{M_\tau^2} \\ &= -6 \left(\frac{m_q^2}{M_\tau^2} A_{kl} + \frac{m_g^2}{M_\tau^2} B_{kl}\right) = -6 \frac{m_s^2}{M_\tau^2} (\omega_q A_{kl} + \omega_g B_{kl}) = -6 \frac{m_s^2}{M_\tau^2} F_{kl} \end{aligned} \quad (9.24)$$

gegeben, wobei die Bezeichnungen (k, l) für zusätzliche Wichtungsfaktoren in der Integration stehen, die den Bereich der hohen ($k > 0, l = 0$) und der niedrigen ($k = 0, l > 0$) Energien unterdrücken. Hier wird das $(0, 0)$ -Moment als beste Abschätzung für m_s verwendet. Andere Momente werden kurz diskutiert, und es werden Gründe genannt, warum diese nicht verwendet werden. Die Wahl einer speziellen Linearkombination von Momenten ist gleichbedeutend mit der Integration der laufenden Parameter mit einer speziellen Wichtungsfunktion. Ob die QCD-Korrekturen zu einer gegebenen Linearkombination groß oder klein sind, kann stark von dem Integrationsbereich abhängen, auf dem das Integral den größten Beitrag erhält. Die Änderung der laufenden Parameter ist in dem Bereich nahe dem physikalischen Schnitt (bei $\phi = \pm\pi$) am größten und im tief euklidischen Bereich klein, wo die Funktionen durch ihre Anfangswerte fixiert sind. Wenn bei einer Observablen diese Bereiche ($\phi = \pm\pi$) stark unterdrückt sind, besitzt sie keine Beiträge des perturbativen Laufens der Kopplungskonstante und ist aus diesem Grund sehr stabil bezüglich Korrekturen der RG-Funktionen. Allerdings erhalten diese Observablen große Beiträge aus dem niedrigenergetischen Bereich und von Kondensat-Termen mit Operatoren hoher Dimension, welche völlig unbekannt sind. Aus diesem Grund sind die Momente (k, l) mit großen Werten für k nicht unter zuverlässiger Kontrolle der Störungstheorie, wogegen sie vom experimentellen Standpunkt aus mit größerer Präzision messbar sind.

9.2.1 Relation zwischen der $\overline{\text{MS}}$ -Masse und den effektiven Massenparametern

Das τ -System wird in dem effektiven Schema durch zwei Massenparameter $m_{q,g}$ beschrieben. Um einen Wert für m_s zu erhalten, der mit Resultaten aus anderen Bestimmungen verglichen werden kann, ist es sinnvoll, die natürlichen Massenparameter des τ -Systems $m_{q,g}$ durch den $\overline{\text{MS}}$ -Massenparameter m_s auszudrücken. Dies ist nur notwendig, um die mit τ -Daten bestimmten Parameter mit Ergebnissen aus anderen Experimenten zu vergleichen. Grundsätzlich werden Observable des τ -Systems am besten durch ihre internen Parameter a_E , m_{Eq} und m_{Eg} beschrieben. Relationen zwischen Observablen des τ -Systems können ohne jede Referenz zu Parametern des $\overline{\text{MS}}$ -Schemas aufgestellt werden.

Die Störungstheorie wird durch eine Massenskala und die Koeffizienten der RG-Funktionen parametrisiert, die die Entwicklung der Massenskala beschreiben. Im masselosen Fall sind dies der Skalenparameter Λ und die Koeffizienten der β -Funktion [52, 53]. Betrachtet man die Massenkorrektur, so gibt es zusätzlich die invariante Masse M , die in (9.25) definiert ist, und die Koeffizienten der γ -Funktion. Wie der Skalenparameter Λ , so kann auch die invariante Masse auf verschiedene Arten definiert werden. Die konkrete Definition wird durch das Verhalten bei großen Momenten bestimmt. Auf diese Weise wird $\Lambda_{\overline{\text{MS}}}$ festgelegt. Hier wird die invariante Masse μ -unabhängig durch

$$M = \frac{m(\mu^2)}{a_E(\mu^2)^{\gamma_0/\beta_0}} \exp \left\{ - \int_0^{a_E(\mu^2)} \left(\frac{\gamma(\xi)}{\beta(\xi)} - \frac{\gamma_0}{\beta_0 \xi} \right) d\xi \right\} \quad (9.25)$$

definiert. M ist RG-invariant. Das bedeutet, dass wenn $m(\mu^2)$ gemäß Gl. (9.6,9.7) transformiert wird, die Änderung in Gl. (9.25) durch die entsprechende Änderung der γ -Funktion (Gl. (3.52))¹ kompensiert wird, so dass M bis zu der Ordnung in der Kopplungskonstanten, in der gerechnet wurde, unverändert bleibt. Die RG-Invarianz von M kann dazu verwendet werden, Relationen zwischen Massen in verschiedenen Renormierungsschemata aufzustellen. Nach dem Quadrieren von Gl. (9.25) ergibt sich eine Relation zwischen Massen in unterschiedlichen Schemata mit den γ -Funktionen $\gamma(a)$ und $\gamma'(a)$, die beide in derselben Kopplungskonstante a_E entwickelt werden. In dieser Analyse verwenden wir die in Gl. (9.4) definierte effektive Kopplungskonstante und stellen eine Relation zwischen m_n^2 und $m_s'^2$ durch

$$m_{En}^2(\mu^2) = m_s'^2(\mu^2) \exp \left\{ - 2 \int_0^{a_E(\mu^2)} \frac{\gamma'(\xi) - \gamma_n(\xi)}{\beta(\xi)} d\xi \right\} \quad (9.26)$$

auf. Gl. (9.26) setzt zwei Massen mit einer Kopplungskonstante in Relation. Aus diesem Grund muss die γ -Funktion der $\overline{\text{MS}}$ -Masse mit dem effektiven Parameter a_E ausgedrückt werden.

¹Gl. (3.52) gibt das Transformationsverhalten der γ -Funktion für den allgemeinen Fall an, in dem sowohl die Masse als auch die Kopplungskonstante transformiert werden. Auch unter solchen allgemeineren Transformationen ist M aus Gl. (9.25) invariant, wobei natürlich auch die β -Funktion gemäß Gl. (3.52) transformiert werden muss.

Es ist auch möglich, Gl. (9.25) im effektiven Schema und im $\overline{\text{MS}}$ -Schema zu verwenden. Dann lässt sich die Relation zwischen den Massen $m_{E_{q,g}}$ und m_s direkt bestimmen, indem man die invariante Masse M eliminiert.

$$\begin{aligned} m_n^2(\mu^2) &= m_s^2(\mu^2) \left(\frac{a_{En}(\mu^2)}{a_{\overline{\text{MS}}}(\mu^2)} \right)^{2\gamma_0/\beta_0} \times \\ &\quad \times \exp \left\{ -2 \int_0^{a_{\overline{\text{MS}}}(\mu^2)} \left(\frac{\gamma_{\overline{\text{MS}}}(\xi)}{\beta_{\overline{\text{MS}}}(\xi)} - \frac{\gamma_0}{\beta_0 \xi} \right) d\xi \right\} \times \\ &\quad \times \exp \left\{ 2 \int_0^{a_n(\mu^2)} \left(\frac{\gamma_n(\xi)}{\beta_{\text{eff}}(\xi)} - \frac{\gamma_0}{\beta_0 \xi} \right) d\xi \right\} \end{aligned} \quad (9.27)$$

Hier ist a_{En} für die beiden Massen m_{E_q} und m_{E_g} gleich. Außerdem wird die abkürzende Schreibweise $a_{\overline{\text{MS}}} = \alpha_s/\pi$ verwendet. Beide Verfahren führen zu ähnlichen numerischen Werten für die Koeffizienten ω_q und ω_g , welche die effektiven Massen $m_{E_{q,g}}$ mit m_s in Relation setzen. Der numerische Unterschied der sich aus Gl. (9.26) und Gl. (9.27) ergebenden Werte für ω_q und ω_g beträgt weniger als 3%, was der Abhängigkeit der Resultate vom Renormierungsschema entspricht. Die Gleichungen (9.26, 9.27) erlauben es, die internen Parameter m_{E_q} und m_{E_g} durch den Standard-Parameter im $\overline{\text{MS}}$ -Schema auszudrücken (siehe Gl. (9.6, 9.7) und (9.9, 9.10)). Für die Koeffizienten, die die effektiven Massen m_{E_q} und m_{E_g} mit der Referenzmasse im $\overline{\text{MS}}$ -Schema m_s in Verbindung setzen, ergibt sich

$$\begin{aligned} m_q^2 &= \omega_q m_s^2, & m_g^2 &= \omega_g m_s^2, \\ \omega_q &= 1.73 \pm 0.04, & \omega_g &= 1.42 \pm 0.03. \end{aligned} \quad (9.28)$$

Die Koeffizienten ω_q und ω_g sind nicht nahe bei 1, was zeigt, dass das $\overline{\text{MS}}$ -Schema relativ unnatürlich für die Beschreibung des τ -Systems ist. Der FOPT-Ausdruck für die Koeffizienten ω_q und ω_g aus Gl. (9.6, 9.7) konvergiert nicht gut. Dies macht die RG-Umrechnung mit Gl. (9.26, 9.27) notwendig.

9.2.2 Kondensatkorrekturen der Dimension $D = 4$

Um den Massenparameter m_s zu bestimmen, benötigt man nicht alle ($D = 4$)-Kondensatkorrekturen zu der totalen Zerfallsrate, sondern nur diejenigen, die in die Differenz der Zerfallsraten in Hadronen ohne und mit Strangeness eingehen:

$$\delta R_\tau^{kl} = \frac{R_{\tau s=0}^{kl}}{|V_{ud}|^2} - \frac{R_{\tau s=1}^{kl}}{|V_{us}|^2}. \quad (9.29)$$

Hierbei ist $R_{\tau s=0,1}^{kl}$ als

$$R_{\tau s=0,1}^{kl} = \int_0^{M_\tau^2} ds \left(1 - \frac{s}{M_\tau^2} \right)^k \left(\frac{s}{M_\tau^2} \right)^l \frac{dR_{\tau s=0,1}}{ds} \quad (9.30)$$

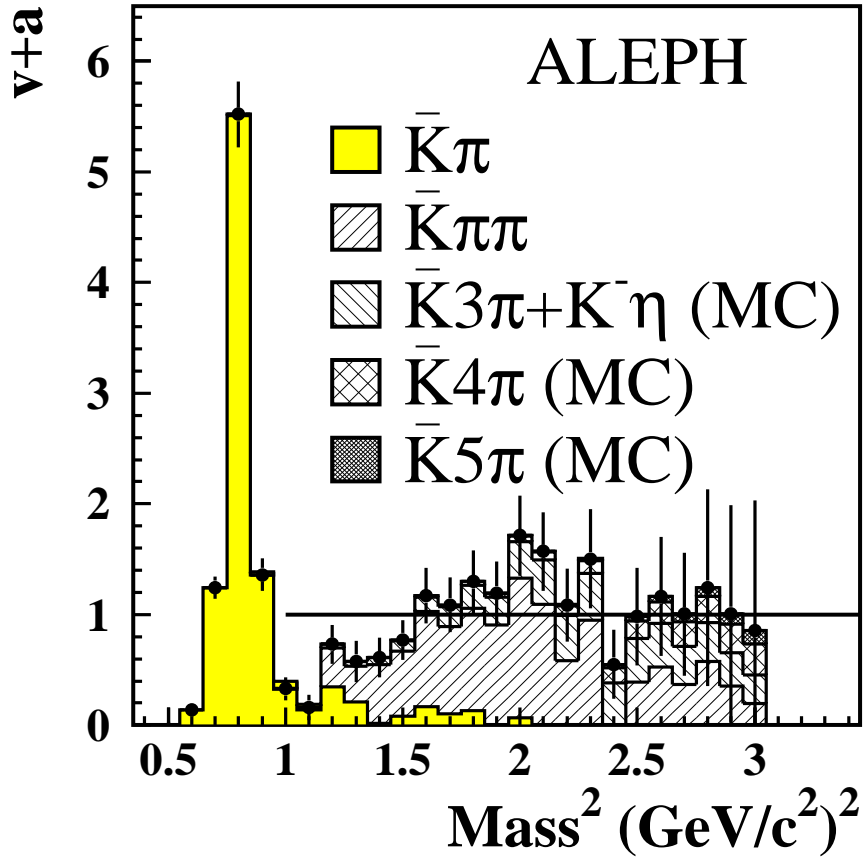


Abbildung 9.3: Aus τ -Zerfällen in Hadronen mit Strangeness bestimmte Vektor-(v)-plus-Axialvektor-(a)-Spektraldichte [3]. Die mit (MC) bezeichneten Daten stammen aus Monte-Carlo-Simulationen

definiert und $(dR_{\tau s=0,1}/ds)$ ist die differentielle τ -Zerfallsrate in Hadronen mit Strangeness 0, 1 und Energie \sqrt{s} . Der experimentelle Integrand für die Berechnung der Momente in Gl. (9.29) ist in Abbildung 9.4 dargestellt. Vernachlässigt man Terme der Ordnung m_s^3/M_τ^3 und setzt die Up- und Down-Quarkmassen gleich null, so treten nur ein in m_s linearer und ein in m_s quadratischer Term in dem theoretischen Ausdruck für die Differenz δR_τ^{kl} auf, nämlich

$$\delta R_\tau^{kl} = N_c S_{EW} \left(\frac{m_s^2}{M_\tau^2} 6 F_{kl} - \frac{m_s}{M_\tau} \frac{\langle \bar{s}s \rangle}{M_\tau^3} 4\pi^2 T_{kl} \right), \quad (9.31)$$

wobei $N_c = 3$ und $S_{EW} = 1.0194$ die elektroschwachen Korrekturen [54, 55] beschreiben. Die ($D = 4$)-Korrektur wird in der führenden Ordnung im $\overline{\text{MS}}$ -Schema verwendet. Korrekturen höherer Ordnung werden nicht beachtet. Verwendet man die Zerlegung der Korrelationsfunktion in den (L+T)- und den (L)-Teil, so ergibt sich für die in m_s lineare

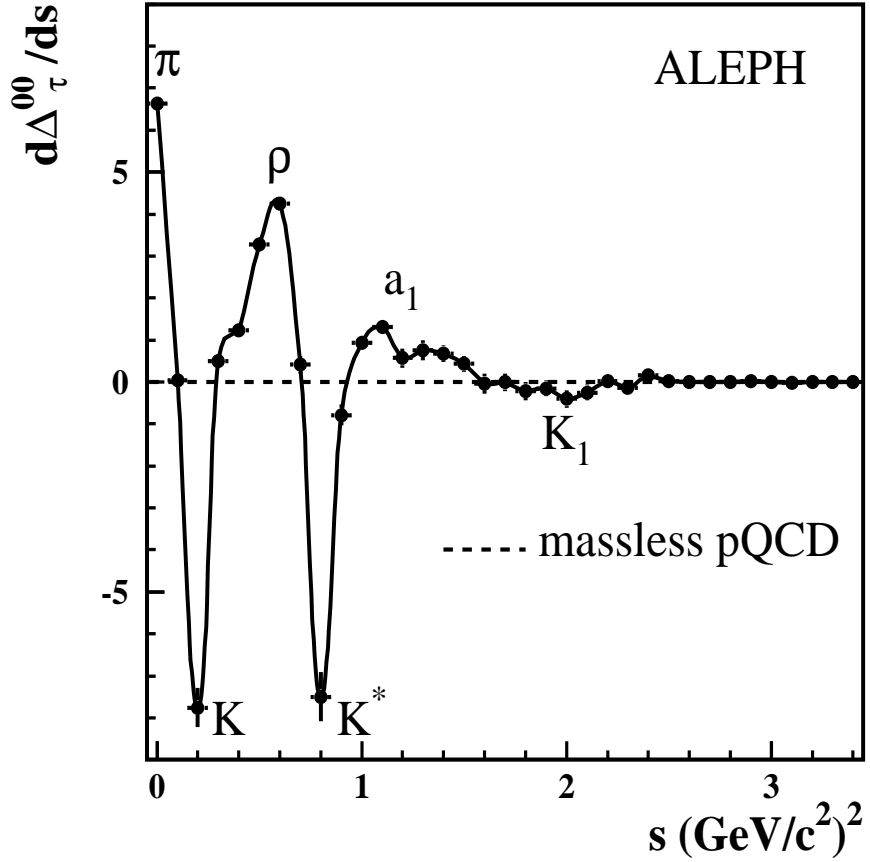


Abbildung 9.4: Experimenteller Integrand $d(\delta R_\tau)/ds$ für Gl. (9.29) [3]

Quark-Kondensat-Korrektur zu der Korrelationsfunktion [12]

$$\begin{aligned} \Pi_{us(L+T)}^{V/A \, d=4}(Q^2) &= \frac{4\pi^2}{Q^4} m_s \langle \bar{s}s \rangle, \\ \Pi_{us(L)}^{V/A \, d=4}(Q^2) &= \frac{4\pi^2}{Q^4} m_s (\langle \bar{s}s \rangle \mp \langle \bar{u}u \rangle), \end{aligned} \quad (9.32)$$

wobei $m_{u,d}$ und die QCD-Korrekturen der Koeffizientenfunktionen vernachlässigt wurden. Die entsprechende Korrektur für die Momente der Zerfallsrate ergibt sich mit Gl. (7.44) und $x = Q^2/M_\tau^2$ zu

$$\begin{aligned} \frac{1}{|V_{us}|^2 N_c S_{EW}} R_{\tau s=1}^{kl(D=4)} &= 4\pi^2 \frac{m_s}{M_\tau^4} (-1)^l \frac{-i}{2\pi} \sum_{V/A} \oint (1+x)^{k+2} x^{l-2} \times \\ &\quad \times \left\{ (1-2x) \langle \bar{s}s \rangle + 2x \left\{ \begin{array}{c} \langle \bar{s}s \rangle + \langle \bar{u}u \rangle \\ \langle \bar{s}s \rangle - \langle \bar{u}u \rangle \end{array} \right. \begin{array}{c} (V) \\ (A) \end{array} \right\} \right\} dx \\ &= 4\pi^2 \frac{m_s}{M_\tau} \frac{\langle \bar{s}s \rangle}{M_\tau^3} 2(-1)^l \frac{-i}{2\pi} \oint (1+x)^{k+2} x^{l-2} dx \end{aligned}$$

(k, l)	A_{kl}^{LO}	A_{kl}^{NLO}	A_{kl}^{NNLO}	B_{kl}^{LO}	B_{kl}^{NLO}	B_{kl}^{NNLO}
$(0, 0)$	1.361	1.445	1.434	0.523	0.601	0.625
$(1, 0)$	1.568	1.843	1.976	0.441	0.552	0.601
$(2, 0)$	1.762	2.282	2.646	0.390	0.530	0.607
$(0, 1)$	-0.207	-0.398	-0.542	0.082	0.050	0.025

Tabelle 9.1: Koeffizienten aus Gl. (9.24)

$$\begin{aligned}
&= 4\pi^2 \frac{m_s}{M_\tau} \frac{\langle \bar{s}s \rangle}{M_\tau^3} 2(-1)^l \frac{-i}{2\pi} \oint (x^{l-2} + (k+2)x^{l-1} + \mathcal{O}(x^l)) dx \\
&= 4\pi^2 \frac{m_s}{M_\tau} \frac{\langle \bar{s}s \rangle}{M_\tau^3} 2(\delta_{l,0}(k+2) - \delta_{l,1}) ,
\end{aligned} \tag{9.33}$$

wobei im letzten Schritt der Residuensatz angewendet wurde, um die Integration auszuführen. Aus diesem Resultat ergibt sich für den Koeffizienten T_{kl} der Kondensatkorrektur in der LO-Approximation

$$T_{kl} = 2(\delta_{l,0}(k+2) - \delta_{l,1}) . \tag{9.34}$$

Für die ersten Momente sind die nummerischen Werte der Koeffizienten vor dem Kondensat-Term

$$T_{00} = 4, \quad T_{10} = 6, \quad T_{20} = 8, \quad T_{01} = -2, \quad T_{11} = -2 . \tag{9.35}$$

9.2.3 Nummerische Resultate

Alle Größen für die Evaluierung von Gl. (9.31) sind jetzt bekannt. In Tabelle 9.1 sind die Koeffizienten der q - und g -Massenparameter aus Gl. (9.24) angegeben. Das Moment $(0, 0)$ ist von dem Standpunkt der Störungstheorie das zuverlässigste. Es verhält sich sehr stabil bezüglich der QCD-Korrekturen.

Die Koeffizienten A_{kl} enthalten die QCD-Korrekturen des q -Teils der Korrelationsfunktion. Dieser Teil enthält Beiträge von Spin-0- und Spin-1-Teilchen. Der Spin-0-Teil enthält mögliche nichtperturbative Beiträge von Instantonen und es ist zu erwarten, dass die Störungstheorie in diesem Teil früher zusammenbricht. Der g -Teil enthält nur Beiträge von Spin-1-Teilchen. Er verhält sich regelmäßiger, was man an den Koeffizienten B_{kl} ableSEN kann. Die Koeffizienten F_{kl} des m_s^2 -Terms in Gl. (9.31) ergeben sich aus Gl. (9.24). Der relevante Teil der Gleichung ist

$$F_{kl} = \omega_q A_{kl} + \omega_g B_{kl} . \tag{9.36}$$

Für den in m_s linearen Term in Gl. (9.31) ergibt sich der Koeffizient aus einem phänomenologischen Wert für das Strange-Quark-Kondensat. Für die nummerische Analyse wird

$$\langle \bar{s}s \rangle = (0.8 \pm 0.2) \langle \bar{u}u \rangle \tag{9.37}$$

(k, l)	δR_τ^{kl}	$m_s(M_\tau^2)$ [MeV]
(0, 0)	0.394 ± 0.137	130
(1, 0)	0.383 ± 0.078	111
(2, 0)	0.373 ± 0.054	95

Tabelle 9.2: Resultate für $m_s^2(M_\tau^2)$ aus verschiedenen Momenten von δR_τ

verwendet [57, 58, 59], wobei $\langle \bar{u}u \rangle = -(0.23 \text{ GeV})^3$ ist. Setzt man die Resultate für F_{kl} und den Kondensat-Term in Gl. (9.31) ein, so erhält man für $X = m_s/(130 \text{ MeV})$ die Gleichung

$$\frac{1}{N_c S_{EW}} \left(\frac{M_\tau}{130 \text{ MeV}} \right)^2 \delta R_\tau^{kl} = X (6F_{kl} \cdot X + 0.936 \cdot T_{kl}) . \quad (9.38)$$

Der Dimension-4-Kondensat-Term trägt zwischen 10% und 15% zu dem gesamten theoretischen Resultat bei. Die Störungsreihe für den Koeffizienten des Dimension-4-Terms konvergiert gut. Die erste Korrektur in der FOPT ist von der Ordnung α_s^2 mit einem kleinen Koeffizienten. Diese Korrektur wird aufgrund des großen Fehlers in dem numerischen Wert des Strange-Quark-Kondensats nicht verwendet.

Es werden die experimentellen Daten der ALEPH-Kollaboration verwendet [3]. Die Resultate für $m_s(M_\tau^2)$ aus unterschiedlichen Momenten δR_τ^{kl} sind in Tabelle 9.2 gegeben. Für die Bestimmung von m_s wird nur das Moment (0, 0) verwendet. Höhere Momente mit der Wichtungsfunktion $(1 - s/M_\tau^2)^k$ sind weniger sensitiv auf das Laufen der Parameter (siehe Abb. 9.1 und 9.2) und haben unkontrollierbare Beimischungen von Kondensat-Termen höherer Dimension, die diese Momente stark nicht-perturbativ machen. Das Endresultat für den Zentralwert der Strange-Quarkmasse ist

$$\frac{1}{N_c S_{EW}} \left(\frac{M_\tau}{130 \text{ MeV}} \right)^2 \delta R_\tau^{00} = 24.1 = X (20.2X + 3.74) . \quad (9.39)$$

Die Gleichung wird von $X = m_s/(130 \text{ MeV}) = 1.00$ gelöst (mit zwei Dezimalstellen Genauigkeit). Dies führt zu der Vorhersage für die Strange-Quarkmasse bei M_τ^2 . Außerdem wird der Wert für $m_s(1 \text{ GeV})$ angegeben. Dieser ergibt sich aus $m_s(M_\tau^2)$ mit dem durch die Vier-Schleifen- γ -Funktion bei drei Flavours ($n_f = 3$) gegebenen Laufen der Masse:

$$\begin{aligned} m_s(M_\tau) &= (130 \pm 27_{\text{exp}} \pm 3_{\langle \bar{s}s \rangle} \pm 6_{\text{th}}) \text{ MeV} \\ m_s(1 \text{ GeV}) &= (176 \pm 37_{\text{exp}} \pm 4_{\langle \bar{s}s \rangle} \pm 9_{\text{th}}) \text{ MeV} . \end{aligned} \quad (9.40)$$

Das Endresultat für den Koeffizienten vor der m_s^2 -Korrektur stimmt mit dem in [60] im $\overline{\text{MS}}$ -Schema bestimmten Wert innerhalb einer Standardabweichung überein. In dieser Analyse ergab sich 20.2 ± 2 für den Koeffizienten vor der m_s^2 -Korrektur während die frühere Abschätzung 18.1 ± 2.6 [60] betrug. Der hier gegebene Wert ist das Resultat einer bezüglich des Konvergenzverhaltens der Störungsreihen sehr viel genaueren Analyse. Die Interpretation

der Störungstheorie in einer geschlossenen Form erlaubt es, die theoretische Ungenauigkeit des numerischen Wertes der Strange-Quarkmasse zu reduzieren.

Der resultierende Wert der Strange-Quarkmasse liegt nahe bei den älteren Abschätzungen aus [61, 62, 63, 64], die weniger genaue theoretische Formeln und weniger präzise experimentelle Daten verwenden. Die neuen Analysen auf der Basis von (pseudo)skalaren Korrelationsfunktionen ergeben Werte, die nahe an dem hier erzielten Wert liegen [65, 66]. In Gitterberechnungen der Strange-Quarkmasse [67, 68] ist der theoretische Input nicht-perturbativer Natur. Die jüngsten Resultate auf der Basis von Gitterberechnungen sind kleiner als der hier bestimmte Wert, befinden sich allerdings noch innerhalb des durch die angegebenen Fehler gegebenen Intervalls. Für die Strange-Quarkmasse wird ein Wert von $m_s^{\text{Lat}}(2 \text{ GeV}) = (97 \pm 4) \text{ MeV}$ [67] vorhergesagt, was sich in $m_s^{\text{Lat}}(M_\tau) = (101 \pm 4) \text{ MeV}$ bei der Masse des τ -Leptons übersetzt. Für die in Gl. (9.25) definierte invariante Masse ergibt sich der folgende Wert:

$$M = (312 \pm 65_{\text{exp}} \pm 7_{\langle \bar{s}s \rangle} \pm 14_{\text{th}}) \text{ MeV} . \quad (9.41)$$

9.3 Zusammenfassung von Kapitel 9

Es wurden die m_s^2 -Korrekturen in einer auf der QCD basierenden Beschreibung des τ -Systems untersucht. Hierfür wird ein natürliches effektives Schema verwendet, das für die Analyse des τ -Systems mit der konturverbesserten Störungstheorie (CIPT) geeignet ist. Die Qualität der Resultate wird durch die β - und γ -Funktionen bestimmt, die die einzigen perturbativen Objekte der Analyse sind. Die γ_q -Funktion zeigt bereits in der NNLO-Näherung asymptotisches Wachstum, wogegen die β - und γ_g -Funktion in dieser Ordnung noch ‘‘konvergieren’’. In der Diskussion der N³LO-Terme dieser Funktionen (welche von dem unbekannten Parameter k_3 abhängen), ergaben sich starke Hinweise für asymptotisches Wachstum in dieser Ordnung. Dies zeigt, dass die ultimative Grenze der störungstheoretischen Genauigkeit für diesen Satz von τ -Lepton-Observablen bereits erreicht ist. Gleichwohl eröffnet diese Prozedur die Möglichkeit, τ -System-interne QCD-Tests mit einem großen Grad an Genauigkeit durchzuführen. Dies ist aufgrund der noch nicht ausreichend guten Genauigkeit der experimentellen Daten für Cabibbo-unterdrückte τ -Zerfälle noch kein aktuelles Problem, insbesondere wenn man den hochenergetischen Teil der differentiellen Zerfallsbreite betrachtet, für den die theoretischen Formeln besser konvergieren. Die experimentelle Situation kann sich allerdings bald ändern. Auf diesem Gebiet kann der Ansatz des effektiven Renormierungsschemas seine wirkliche Leistungsfähigkeit zeigen, da die Hauptquelle der theoretischen Ungenauigkeit, das Umrechnen der effektiven internen Parameter (m_{Eq}, m_{Eg}) in den $\overline{\text{MS}}$ -Schema-Parameter (m_s) entfällt. Für einen QCD-Test dieser Art müssen Relationen zwischen mindestens vier τ -Lepton-Observablen aufgestellt werden, um die drei Parameter a_E , m_{Eq} und m_{Eg} festzulegen.

Für die Strange-Quarkmasse ergab sich $m_s(M_\tau^2) = (130 \pm 27_{\text{exp.}} \pm 9_{\text{th.}}) \text{ MeV}$, was $m_s(1 \text{ GeV}) = (176 \pm 37_{\text{exp.}} \pm 13_{\text{th.}}) \text{ MeV}$ entspricht. Dies ist konsistent mit vorherigen Resultaten, bei denen Resummation im $\overline{\text{MS}}$ -Schema verwendet wurde [60]. Die Hauptursache

der theoretischen Ungenauigkeit des Ergebnisses ist das Umrechnen von effektiven in $\overline{\text{MS}}$ -Parameter. Der Vorteil der hier präsentierten Methode liegt darin, dass die Abschätzung der Genauigkeit nicht auf der Zerlegung des Resultats in Beiträge aus QCD-Korrekturen der Korrelationsfunktion im $\overline{\text{MS}}$ -Schema beruht. Diese Zerlegung scheint unnatürlich für die resummierte Störungstheorie zu sein, da sie eine zusätzliche Ungenauigkeit durch die Konvergenz der Korrelationsfunktion im $\overline{\text{MS}}$ -Schema einführt. Durch das Verfahren im effektiven Renormierungsschema werden alle Fehlerquellen aufgrund der Konvergenz der Störungstheorie in den β - und γ -Funktionen gesammelt, was eine solide Grundlage für die Abschätzung der erzielten Genauigkeit bietet.

Kapitel 10

Zusammenfassung

In der ersten Hälfte der Arbeit (Kapitel 2 - 5) wurden die notwendigen theoretischen Grundlagen dargestellt: die Grundzüge der Renormierung (Kapitel 2), die Renormierungsgruppe (Kapitel 3), die Herleitung der τ -Zerfallsrate (Kapitel 4) und die Berechnung der Korrelationsfunktion im Rahmen der Operator-Produkt-Entwicklung (Kapitel 5). Die QCD-Analyse der hadronischen Zerfälle des τ -Leptons wurde in der zweiten Hälfte der Arbeit (Kapitel 6 - 9) in vier Schritten durchgeführt.

Im ersten Schritt (Kapitel 6) wurde die Störungsreihe für τ -Lepton-Zerfälle in der Näherung masseloser Quarks untersucht. Hierfür wurde ein effektives Renormierungsschema verwendet, in dem die effektive Kopplungskonstante durch die Spektralfunktion des masselosen Teils der Korrelationsfunktion definiert wurde. Es zeigte sich, dass im masselosen Teil die Momente der Spektraldichte in der fünften Ordnung der Störungstheorie asymptotisch anzuwachsen beginnen, falls das nullte Moment der Spektraldichte nicht aus dem Satz der Observablen ausgeschlossen wird.

Im zweiten Schritt (Kapitel 7) wurde die quadratische Massenkorrektur untersucht. Es wurden zwei effektive Massen durch den q - und den g -Teil der Korrelationsfunktion so definiert, dass alle QCD-Korrekturen sich aus dem Laufen dieser Massen ergeben. Die Störungsreihen der Massenkorrektur zeigen bereits in der vierten Ordnung asymptotisches Wachstum. Diese Resultate bezüglich des asymptotischen Anwachsen sind unabhängig von der Wahl des Renormierungsschemas und dem numerischen Wert des unbekannten Vier-Schleifen-Parameters der Korrelationsfunktion k_3 . Aufgrund des gefundenen asymptotischen Wachstums der Störungsreihen und der damit verbundenen Limitierung der theoretischen Genauigkeit ist die Anwendung eines Resummationsverfahrens unausweichlich, falls man eine theoretische Präzision erreichen will, die mit den experimentellen Daten vergleichbar ist.

Die experimentellen Daten für Zerfälle von τ -Leptonen bieten die Möglichkeit, die starke Kopplungskonstante und die Strange-Quarkmasse zu bestimmen. Im dritten Schritt (Kapitel 8) wurde die starke Kopplungskonstante α_s aus Cabibbo-bevorzugten τ -Lepton-Zerfällen bestimmt. Die bisher mit dem Standardverfahren und Störungstheorie in endlicher Ordnung gefundenen numerischen Werte für die Kopplungskonstante α_s ergaben nach dem Laufen zu der Referenzskala M_Z einen signifikant größeren Wert als Resultate aus

Experimenten bei höheren Energien. In dieser Arbeit wurde zur Extraktion der Kopplungskonstante aus der Störungsreihe ein neues renormierungsgruppen-invariantes Verfahren verwendet, dass die Existenz der renormierungsgruppen-invarianten QCD-Skala nutzt. Die so erzielten nummerischen Resultate für $\alpha_s(M_z)$ sind signifikant kleiner als die vorherigen und somit mit den Werten für α_s aus anderen Experimenten besser verträglich. Das Resultat für die starke Kopplungskonstante ist:

$$\alpha_s(M_Z) = 0.1177 \pm 0.0007_{\text{exp.}} \pm 0.0006_{\text{h}q\text{ mass.}}$$

Im vierten Schritt (Kapitel 9) der Analyse wurde die Strange-Quarkmasse bestimmt. Aufgrund des bereits im zweiten Schritt gefundenen schlechten Konvergenzverhaltens der Störungsreihen für die quadratische Massenkorektur wird für die Bestimmung der Strange-Quarkmasse m_s konturverbesserte Störungstheorie (CIPT) in Verbindung mit einem effektiven Renormierungsschema verwendet. Bei dieser Vorgehensweise sind die einzigen störungstheoretischen Objekte die effektive β -Funktion und zwei effektive γ -Funktionen. Für die Bestimmung der Referenzmasse des Strange-Quarks im $\overline{\text{MS}}$ -Schema aus den effektiven Massenparametern wird in Analogie zu der Extraktion von α_s im dritten Schritt die RG-invariante Masse verwendet. Es zeigt sich, dass das Umrechnen von effektiven Parametern in $\overline{\text{MS}}$ -Parameter die Hauptquelle für den theoretischen Fehler von m_s ist. Aus diesem Grund sind genauere τ -Lepton-interne QCD-Tests mit der hier verwendeten Methode zu erwarten, sobald die experimentelle Genauigkeit diese zulässt. Für die Strange-Quarkmasse ergab sich in Übereinstimmung mit den vorhergegangenen Resultaten aus [61, 62, 63, 64], neuen Analysen auf der Basis von (pseudo)skalaren Korrelationsfunktionen [65, 66], und Gitterberechnungen [67, 68]:

$$\begin{aligned} m_s(M_\tau^2) &= (130 \pm 27_{\text{exp.}} \pm 9_{\text{th.}}) \text{ MeV} , \\ m_s(1 \text{ GeV}) &= (176 \pm 37_{\text{exp.}} \pm 13_{\text{th.}}) \text{ MeV} . \end{aligned}$$

Anhang A

Feynman-Regeln der Quantenchromodynamik

Die Lagrangefunktion der QCD ist

$$\mathcal{L} = -\frac{1}{4}G_{\mu\nu}^a G_a^{\mu\nu} + \sum_f \bar{\Psi}_f (i\cancel{D} - m_f) \Psi_f + \mathcal{L}^{GF} + \mathcal{L}^{FP}. \quad (\text{A.1})$$

Hierbei bezeichnen $G_{\mu\nu}^a$, \cancel{D} und ∇_μ^{ab} den Gluon-Feldstärketensor, die kovariante Ableitung und die adjungierte kovariante Ableitung. Ψ_f steht für ein Farbtripel aus Quarkspinoren der Flavours f .

$$G_{\mu\nu}^a = \partial_\mu A_\nu^a - \partial_\nu A_\mu^a + g\mu^\epsilon f^{abc} A_\mu^b A_\nu^c \quad (\text{A.2})$$

$$D_\mu = \partial_\mu - ig\mu^\epsilon A_\mu u^a \frac{\lambda^a}{2} \quad (\text{A.3})$$

$$\nabla_\mu^{ab} = \delta^{ab} \partial_\mu - g\mu^\epsilon f^{abc} A_\mu^c \quad (\text{A.4})$$

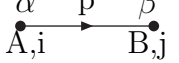
Um die Kopplungskonstante bei der Benutzung der dimensionalen Regularisierung dimensionslos zu erhalten, ist in Gl. (A.2, A.3, A.4) bereits die Massenskala μ eingeführt worden und tritt auch in den Feynman-Regeln bei der Kopplungskonstante auf. f^{abc} sind die Strukturkonstanten der Eichgruppe $SU(3)$. \mathcal{L}^{GF} bezeichnet den Term, der die Eichung fixiert,

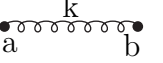
$$\mathcal{L}^{GF} = -\frac{1}{2\zeta} (\partial_\mu A^\mu)^2 \quad (\text{A.5})$$

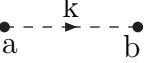
und \mathcal{L}^{FP} die Lagrangefunktion der Fadeev-Popov-Geister-Felder

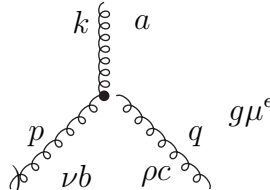
$$\mathcal{L}^{FP} = (\partial^\mu \bar{C}^a) \nabla_\mu^{ab} C^b. \quad (\text{A.6})$$

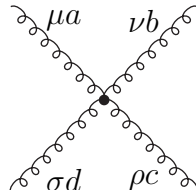
Aus der Lagrangefunktion ergeben sich die folgenden Feynman-Regeln für die perturbative Berechnung von Greenfunktionen [22]:

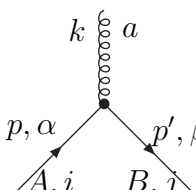
Quarkpropagator  $\delta_{AB} \delta_{ij} i \left(\frac{p + m}{p^2 - m^2 + i\epsilon} \right)_{\alpha\beta}$

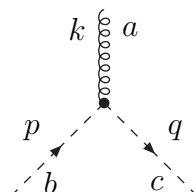
Gluonpropagator  $-i\delta_{ab} \left(\frac{g_{\mu\nu}}{k^2 + i\epsilon} - (1 - \zeta) \frac{k_\mu k_\nu}{(k^2 + i\epsilon)^2} \right)$

Geistfeldpropagator  $\frac{i\delta_{ab}}{k^2 + i\epsilon}$

Dreigluonvertex  $g\mu^\epsilon V_{abc}^{\mu\nu\rho}(p, q, r)$

Viergluonvertex  $-ig^2 \mu^{2\epsilon} W_{abcd}^{\mu\nu\rho\sigma}$

Quark-Gluonvertex  $i\delta_{ij} g\mu^\epsilon (\gamma^\mu)_{\alpha\beta} T_{AB}^a$

Geist-Gluonvertex  $g\mu^\epsilon f_{abc} p_\mu$

Die Funktionen $V_{abc}^{\mu\nu\rho}(p, q, r)$ und $W_{abcd}^{\mu\nu\rho\sigma}$ sind folgendermaßen definiert:

$$V_{abc}^{\mu\nu\rho}(k, p, q) = f_{abc} \left(g^{\mu\nu}(k - p)^\rho + g^{\nu\rho}(p - q)^\mu + g^{\rho\mu}(q - k)^\nu \right) \quad (\text{A.7})$$

$$\begin{aligned} W_{abcd}^{\mu\nu\rho\sigma} &= f_{eab} f_{ecd} (g^{\mu\rho} g^{\nu\sigma} - g^{\mu\sigma} g^{\nu\rho}) \\ &+ f_{eac} f_{edb} (g^{\mu\sigma} g^{\rho\nu} - g^{\mu\nu} g^{\rho\sigma}) \\ &+ f_{ead} f_{ebc} (g^{\mu\nu} g^{\sigma\rho} - g^{\mu\rho} g^{\sigma\nu}). \end{aligned}$$

Die Indizes (a, b, \dots) laufen von 1 bis 8 und transformieren sich mit der achtdimensionalen adjungierten Darstellung der Eichgruppe $SU(3)$. Die Indizes (A, B, \dots) laufen

von 1 bis 3 und bezeichnen die Farbladung. Sie transformieren mit der dreidimensionalen Standarddarstellung der Gruppe $SU(3)$. i, j bezeichnen das Flavour der Quarks. Um Greenfunktionen zu berechnen, muss folgendermaßen vorgegangen werden:

1. Zeichnen aller möglichen topologisch unterschiedlichen Diagramme.
2. An jedem Vertex wird durch einen Faktor $(2\pi)^d \delta(p_{\text{in}} - p_{\text{out}})$ die Energieerhaltung gewährleistet.
3. Über interne Schleifenmomente muss mit dem Gewicht $\int \frac{d^d p}{(2\pi)^d}$ integriert werden, wobei die Divergenzen der Integrale angemessen regularisiert werden müssen, z.B. durch dimensionale Regularisierung.
4. Für jede Fermion- und Geistschleife muss das Diagramm mit einem zusätzlichen Faktor (-1) multipliziert werden.
5. Das Diagramm erhält einen Symmetriefaktor [22].

Anhang B

Die Gegenbauer-Polynom-Technik

Die Gegenbauer-Polynom-Technik (GPXT) [28] stellt eine Möglichkeit dar, masselose Graphen zu berechnen. Um ein Integral mit der Gegenbauer-Polynom-Technik zu berechnen, werden die Propagatoren durch ihre Fourier-Transformation ausgedrückt. Die Fourier-Transformation eines Propagators ist durch

$$\frac{1}{k^{2\alpha}} = \frac{\Gamma(\lambda + 1 - \alpha)}{\pi^{\lambda+1}\Gamma(\alpha)} \int \frac{e^{2ik\cdot x} d^d x}{(x^2)^{\lambda+1-\alpha}} \quad (\text{B.1})$$

gegeben, wobei $\lambda = \frac{1}{2}(d - 2) = 1 - \epsilon$ ist. Anschließend lassen sich die Impulsintegrationen mit

$$\int e^{2ip\cdot x} d^d p = \pi^d \delta(x) \quad (\text{B.2})$$

ausführen. Einige der durch die Fourier-Transformation der Propagatoren eingeführten Integrationen im Ortsraum lassen sich trivial mit Hilfe der Deltadistributionen ausführen. Der Integrand des Feynman-Integrals im X -Raum wird in Gegenbauer-Polynome entwickelt. Um die Propagatoren zu entwickeln, verwendet man

$$\frac{1}{(x_1 - x_2)^{2\lambda}} = \frac{1}{(\max(r_1, r_2))^{2\lambda}} \sum_{n=0}^{\infty} C_x^{\lambda}(\hat{x}_1 \cdot \hat{x}_2) \left\langle \frac{r_1}{r_2} \right\rangle^n \quad (\text{B.3})$$

wobei $r = |x|$, $\hat{x} = x/r$ und

$$\left\langle \frac{r_1}{r_2} \right\rangle = \begin{cases} \frac{r_1}{r_2} & r_1 \leq r_2 \\ \frac{r_2}{r_1} & r_2 \leq r_1 \end{cases}$$

Die Entwicklung der Exponentialfunktion in Gegenbauer-Polynomen ist

$$e^{2ip\cdot x} = \Gamma(\lambda) \sum_{n=0}^{\infty} i^n (n + \lambda) C_n^{\lambda}(\hat{p} \cdot \hat{x}) (p^2 r^2)^{n/2} j_{\lambda+n}(p^2 r^2) , \quad (\text{B.4})$$

wobei j_{α} die Potenzreihenentwicklung

$$j_{\alpha}(z) = \sum_{n=0}^{\infty} \frac{(-z)^n}{n! \Gamma(n + \alpha + 1)} \quad (\text{B.5})$$

besitzt und durch die Bessel-Funktionen J_α ausgedrückt werden kann

$$J_\alpha(z) = \left(\frac{1}{2}z\right)^\alpha j_\alpha\left(\frac{1}{4}z^2\right). \quad (\text{B.6})$$

Gegenbauer-Polynome sind durch eine erzeugende-Funktion definiert:

$$(1 - 2r^2t + r^4)^{-\lambda} = \sum_{n=0}^{\infty} C_n^\lambda(t)r^{2n}. \quad (\text{B.7})$$

Sie stellen eine Verallgemeinerung der Legendre-Polynome ($C_n^{1/2} = P_n$) und der Chebyshev-Polynome ($C_n^1 = U_n$) dar. Einige Spezialfälle sind:

$$\begin{aligned} C_0^\lambda(x) &= 1, & C_1^\lambda(x) &= 2\lambda x, \\ C_2^\lambda(x) &= -\lambda + 2\lambda(\lambda + 1)x^2, & C_3^\lambda(x) &= -2\lambda(\lambda + 1)x + \frac{4}{3}\lambda(\lambda + 1)(\lambda + 2)x^3. \end{aligned} \quad (\text{B.8})$$

Außerdem gilt:

$$\begin{aligned} C_n^\lambda(1) &= \frac{\Gamma(n + 2\lambda)}{n! \Gamma(2\lambda)}, \\ C_n^\lambda(0) &= \begin{cases} 0 & n \text{ ungerade} \\ \frac{(-1)^m \Gamma(\lambda + m)}{m! \Gamma(\lambda)} & n = 2m \text{ gerade.} \end{cases} \end{aligned} \quad (\text{B.9})$$

Nach der Entwicklung des Integranden in Gegenbauer-Polynome faktorisiert sich der Integrand in einen winkelabhängigen und einen radialabhängigen Anteil. Das Integrationsmaß lässt sich als

$$d^d x = \Omega_d r^{2\lambda+1} dr d\hat{x} \quad (\text{B.10})$$

schreiben, wobei Ω_d die Fläche einer Sphäre mit Radius 1 im d -dimensionalen Raum bezeichnet. Die Winkelintegrationen lassen sich mit der Orthogonalitätsrelation der Gegenbauer-Polynome ausführen

$$\int C_n^\lambda(\hat{x}_1 \cdot \hat{x}_2) d\hat{x}_2 C_m^\lambda(\hat{x}_2 \cdot \hat{x}_3) = \frac{\lambda}{n + \lambda} \delta_{nm} C_n^\lambda(\hat{x}_1 \cdot \hat{x}_3). \quad (\text{B.11})$$

Um die Radialintegrationen auszuführen, setzt man d in die komplexe Ebene fort und wertet die einzelnen Integrale in ihrem jeweiligen Konvergenzbereich aus. Das wichtigste radiale Integral ist hierbei

$$\int_0^\infty z^b j_a(z) dz = \frac{\Gamma(b + 1)}{\Gamma(a - b)} \quad (\text{B.12})$$

für $\operatorname{Re}(b) > -1$ und $\operatorname{Re}(a) > 2\operatorname{Re}(b) + \frac{1}{2}$.

Anhang C

Das Ein-Schleifen-Integral

Um das Ein-Schleifen-Integral $I^{(\mu_1 \dots \mu_n)}(q^2)$ aus Gl. (2.29) zu berechnen, werden die Propagatoren mit Gl. (B.1) Fourier-transformiert. Es ergibt sich

$$\begin{aligned} I^{(\mu_1 \dots \mu_n)}(q^2) &= \int \frac{d^d p}{(2\pi)^d} \frac{p^{(\mu_1 \dots \mu_n)}}{p^{2\alpha} (p - q)^{2\beta}} \\ &= c(\alpha, \beta) \int \frac{d^d p}{(2\pi)^d} p^{(\mu_1 \dots \mu_n)} \int d^d x d^d y \frac{e^{2ip \cdot x} e^{2i(p-q) \cdot y}}{x^{2(\lambda+1-\alpha)} y^{2(\lambda+1-\beta)}}, \end{aligned} \quad (\text{C.1})$$

wobei

$$c(\alpha, \beta) = \frac{\Gamma(\lambda + 1 - \alpha) \Gamma(\lambda + 1 - \beta)}{\pi^d \Gamma(\alpha) \Gamma(\beta)} \quad (\text{C.2})$$

ist. Der Tensor $p^{(\mu_1 \dots \mu_n)}$ lässt sich als Ableitung der Exponentialfunktion schreiben, die mit der p -Integration vertauscht werden kann.

$$I^{(\mu_1 \dots \mu_n)}(q^2) = c(\alpha, \beta) \int d^d x d^d y \frac{e^{-2iq \cdot y}}{y^{2(\lambda+1-\beta)}} \frac{1}{x^{2(\lambda+1-\alpha)}} \frac{\partial_x^{(\mu_1 \dots \mu_n)}}{(2i)^n} \int \frac{d^d p}{(2\pi)^d} e^{2i(x+y) \cdot p} \quad (\text{C.3})$$

Die p -Integration lässt sich mit Hilfe von Gl. (B.2) ausführen. Mit einer n -fachen partiellen Integration ergibt sich

$$I^{(\mu_1 \dots \mu_n)}(q^2) = \frac{c(\alpha, \beta)}{i^n 2^d} \int d^d x d^d y \frac{e^{-2iq \cdot y}}{y^{2(\lambda+1-\beta)}} \left(\frac{\partial_x^{(\mu_1 \dots \mu_n)}}{(-2)^n} \frac{1}{x^{2(\lambda+1-\alpha)}} \right) \delta(x + y). \quad (\text{C.4})$$

Man rechnet nach, dass

$$\frac{(-1)^n}{2^n} \left(\partial_x^{(\mu_1 \dots \mu_n)} \frac{1}{x^{2\alpha}} \right) = \frac{\Gamma(n + \alpha)}{\Gamma(\alpha)} \frac{x^{(\mu_1 \dots \mu_n)}}{x^{2(n+\alpha)}}. \quad (\text{C.5})$$

So ergibt sich:

$$I^{(\mu_1 \dots \mu_n)}(q^2) = \frac{(-i)^n c(\alpha, \beta)}{2^d} \frac{\Gamma(\lambda + 1 - \alpha + n)}{\Gamma(\lambda + 1 - \alpha)} \int d^d x \frac{e^{2iq \cdot x} x^{(\mu_1 \dots \mu_n)}}{x^{2(2(\lambda+1)-\alpha-\beta+n)}}. \quad (\text{C.6})$$

Der symmetrische Tensor $x^{(\mu_1 \dots \mu_n)}$ lässt sich als Ableitung nach dem äusseren Impuls q schreiben, die mit der $d^d x$ -Integration vertauscht werden kann.

$$\frac{(-i)^n c(\alpha, \beta)}{2^d} \frac{\Gamma(\lambda + 1 - \alpha + n)}{\Gamma(\lambda + 1 - \alpha)} \frac{\partial_q^{(\mu_1 \dots \mu_n)}}{(2i)^n} \int d^d x \frac{e^{2ix \cdot q}}{x^{2(2(\lambda+1)-\alpha-\beta+n)}} \quad (\text{C.7})$$

Die Fourier-Rücktransformation in den Impulsraum lässt sich wieder mit Gl. (B.1) ausführen.

$$\frac{c(\alpha, \beta)}{2^d} \frac{\Gamma(\lambda + 1 - \alpha + n)}{\Gamma(\lambda + 1 - \alpha)} \frac{\pi^{(\lambda+1)} \Gamma(-\lambda - 1 - n + \alpha + \beta)}{\Gamma(2(\lambda+1) - \alpha - \beta + n)} \frac{\partial_q^{(\mu_1 \dots \mu_n)}}{(-2)^n} \frac{1}{q^{2(-\lambda-1-n+\alpha+\beta)}} \quad (\text{C.8})$$

Mit Gl. (C.5) ergibt sich schließlich für das Ein-Schleifen-Integral

$$\begin{aligned} I^{(\mu_1 \dots \mu_n)}(q^2) &= \frac{\pi^{\lambda+1}}{2^d} c(\alpha, \beta) \frac{\Gamma(\lambda + 1 - \alpha + n)}{\Gamma(\lambda + 1 - \alpha)} \times \\ &\quad \times \frac{\Gamma(-\lambda - 1 - n + \alpha + \beta)}{\Gamma(2(\lambda+1) - \alpha - \beta + n)} \frac{\Gamma(-\lambda - 1 + \alpha + \beta)}{\Gamma(-\lambda - 1 - n + \alpha + \beta)} \frac{1}{q^{2(-\lambda-1+\alpha+\beta)}} \\ &= \frac{1}{(4\pi)^{2-\epsilon}} B(\lambda + 1 + n - \alpha, \lambda + 1 - \beta) \frac{\Gamma(-\lambda - 1 + \alpha + \beta)}{\Gamma(\alpha)\Gamma(\beta)} \frac{1}{q^{2(-\lambda-1+\alpha+\beta)}} \\ &=: \frac{1}{(4\pi)^{2-\epsilon}} G^{(n)}(\alpha, \beta). \end{aligned} \quad (\text{C.9})$$

Anhang D

Das Zwei-Schleifen-Master-Integral

Das Zwei-Schleifen-Master-Integral lässt sich mit der GPXT-Technik (Anhang B) berechnen. Die Rechnung ist für $\alpha = \beta = \gamma = \delta = \eta = 1$ skizziert.

$$F = \int \frac{d^d p d^d k}{(2\pi)^{2d}} \frac{1}{p^2(q-p)^2 k^2(q-k)^2(p-k)^2} \quad (\text{D.1})$$

Die Propagatoren werden mit Gl. (B.1) Fourier-transformiert.

$$F \sim \int \left(\prod_{i=0}^5 d^d x_i \right) e^{2iq \cdot (x_2 + x_4)} \int d^d p d^d k \frac{e^{2ip \cdot (x_1 - x_2 + x_5)} e^{2ik \cdot (x_3 - x_4 - x_5)}}{x_1^{2\lambda} x_2^{2\lambda} x_3^{2\lambda} x_4^{2\lambda} x_5^{2\lambda}}. \quad (\text{D.2})$$

Die Integrationen über p und k lassen sich mit Gl. (B.2) ausführen. Mit den entstehenden δ -Distributionen lassen sich die Integrationen über x_4 und x_5 ausführen. Durch Ausnutzung der Translationsinvarianz $x_3 \rightarrow x_3 - x_1$ ergibt sich

$$F \sim \int \frac{d^d x_1 d^d x_2 d^d x_3 e^{2iq \cdot x_3}}{x_1^{2\lambda} x_2^{2\lambda} (x_1 - x_2)^{2\lambda} (x_1 - x_3)^{2\lambda} (x_2 - x_3)^{2\lambda}}. \quad (\text{D.3})$$

Dies lässt sich mit Gl. (B.3, B.4) in Gegenbauerpolynomen entwickeln

$$\begin{aligned} F \sim & \sum_{r=0}^{\infty} \sum_{s=0}^{\infty} \sum_{t=0}^{\infty} \sum_{n=0}^{\infty} p^r \int dr_1 dr_2 dr_3 r_1^{2\lambda+1} r_2^{2\lambda+1} r_3^{2\lambda+1} \times \\ & \times \frac{r_3^r \left\langle \frac{r_1}{r_2} \right\rangle^s \left\langle \frac{r_1}{r_3} \right\rangle^n \left\langle \frac{r_2}{r_3} \right\rangle^t}{r_1^{2\lambda} r_2^{2\lambda} (\max(r_1, r_2))^{2\lambda} (\max(r_1, r_3))^{2\lambda} (\max(r_2, r_3))^{2\lambda}} j_{\lambda+r}(p^2 r_3^2) \times \\ & \times \int d\hat{x}_1 d\hat{x}_2 d\hat{x}_3 C_s^\lambda(\hat{x}_1 \cdot \hat{x}_2) C_n^\lambda(\hat{x}_1 \cdot \hat{x}_3) C_t^\lambda(\hat{x}_2 \cdot \hat{x}_3) C_r^\lambda(\hat{x}_3 \cdot \hat{p}). \end{aligned} \quad (\text{D.4})$$

In dem in Gegenbauerpolynome entwickelten Integral lassen sich die Radial- und die Winkelintegration trennen. Die Winkelintegration kann mit der Orthogonalitätsrelation der

Gegenbauerpolynome Gl. (B.11) ausgeführt werden. Für das Winkelintegral ergibt sich so

$$\begin{aligned}
& \int d\hat{x}_1 d\hat{x}_2 d\hat{x}_3 C_s^\lambda(\hat{x}_1 \cdot \hat{x}_2) C_n^\lambda(\hat{x}_1 \cdot \hat{x}_3) C_t^\lambda(\hat{x}_2 \cdot \hat{x}_3) C_r^\lambda(\hat{x}_3 \cdot \hat{p}) \\
&= \frac{\lambda}{n+\lambda} \delta_{sn} \int d\hat{x}_2 d\hat{x}_3 C_n^\lambda(\hat{x}_2 \cdot \hat{x}_3) C_t^\lambda(\hat{x}_2 \cdot \hat{x}_3) C_r^\lambda(\hat{x}_3 \cdot \hat{p}) \\
&= \left(\frac{\lambda}{n+\lambda} \right)^2 \delta_{sn} \delta_{tn} \int d\hat{x}_3 C_n^\lambda(1) C_r^\lambda(\hat{x}_3 \cdot \hat{p}) \\
&= \left(\frac{\lambda}{n+\lambda} \right)^2 \delta_{sn} \delta_{tn} \frac{\Gamma(n+2\lambda)}{n! \Gamma(2\lambda)} \int d\hat{x}_3 C_r^\lambda(\hat{x}_3 \cdot \hat{p}) C_0^\lambda(\hat{x}_3 \cdot \hat{p}) \\
&= \left(\frac{\lambda}{n+\lambda} \right)^2 \delta_{sn} \delta_{tn} \delta_{r0} \frac{\Gamma(n+2\lambda)}{n! \Gamma(2\lambda)}. \tag{D.5}
\end{aligned}$$

Im 3. Schritt wurde Gl. (B.8, B.9) verwendet. Um die Radialintegration auszuführen, muss der Integrationsbereich in 6 Regionen aufgeteilt werden. Für $r_1 < r_3 < r_2$ beispielsweise muss das folgende Radialintegral gelöst werden:

$$\int_0^\infty dr_3 r_3 j_\lambda(r_3^2) \int_0^{r_3} dr_1 r_1^{2n+1} \int_{r_3}^\infty dr_2 r_2^{-2(n+2\lambda)+1} \quad r_1 < r_3 < r_2, \tag{D.6}$$

wobei $p = 1$ gesetzt wurde. Die p -Abhängigkeit von F lässt sich aus der Dimension rekonstruieren. Gl. (D.6) lässt sich mit Hilfe von Gl. (B.12) berechnen, indem in jedem Integrationsgebiet die Dimension d so gewählt wird, dass die Integrale konvergieren und das Resultat dann analytisch fortgesetzt wird. F lässt sich berechnen, indem die Radialintegrale für alle 6 Integrationsgebiete bestimmt werden. Man erhält schließlich

$$\begin{aligned}
F &= (4\pi)^{-2-2\lambda} \frac{1}{q^{2(1+2\epsilon)}} \frac{2\Gamma^3(\lambda)\Gamma(3-2\lambda)}{\Gamma(2\lambda)\Gamma(3\lambda-2)} \sum_{n=0}^{\infty} \frac{\Gamma(n+2\lambda)}{n!(n+\lambda)^2} \times \\
&\quad \times \left(\frac{1}{(n+1)(n+2-\lambda)} + \frac{1}{(n+1)(n+2\lambda-1)} + \frac{1}{(n+2\lambda-1)(n+3\lambda-2)} \right). \tag{D.7}
\end{aligned}$$

Nach einer Partialbruchzerlegung lässt sich die Summe mit der Gauß'schen Summationsformel

$$\sum_{n=0}^{\infty} \frac{\Gamma(n+a)}{n!(n+b)} = \frac{\Gamma(a)\Gamma(b)\Gamma(1-a)}{\Gamma(b+1-a)} \tag{D.8}$$

aufsummieren. Für F ergibt sich so die in Gl. (2.33) angegebene Formel für $\alpha = \beta = 1$ in Übereinstimmung mit [28].

Anhang E

Rekursionsbeziehung für das Zwei-Schleifen-Integral

Ausgangspunkt für die Herleitung der in Abb. (2.1) dargestellten Rekursionsbeziehung ist die Identität

$$0 = \int \frac{d^d p d^d k}{(2\pi)^{2d}} \frac{\partial}{\partial p^\mu} \left(\frac{(p-k)^\mu}{p^2(p-q)^2 k^2 (k-q)^2 (p-k)^2} \right) = \int \frac{d^d p d^d k}{(2\pi)^{2d}} I(p, k, q) . \quad (\text{E.1})$$

Um die Differentiation auszuführen, muss man beachten, dass

$$\frac{\partial}{\partial p^\mu} p^\mu = d = 4 - 2\epsilon \quad \text{und} \quad \frac{\partial}{\partial p^\mu} \frac{1}{p^2} = \frac{-2p_\mu}{p^4} \quad (\text{E.2})$$

ist. Mit der Abkürzung

$$N = p^2(p-q)^2 k^2 (k-q)^2 (p-k)^2 \quad (\text{E.3})$$

ergibt sich für den Integranden

$$\begin{aligned} I(p, k, q) &= d \frac{1}{N} - 2(p-k)^\mu \left(\frac{p_\mu}{p^2 N} + \frac{(p-q)_\mu}{(p-q)^2 N} + \frac{(p-k)_\mu}{(p-k)^2 N} \right) \\ &= d \frac{1}{N} - 2 \left(\frac{2}{N} - \frac{p \cdot k}{p^2 N} + \frac{(p-k) \cdot (p-q)}{(p-q)^2 N} \right) . \end{aligned} \quad (\text{E.4})$$

Die Zähler lassen sich quadratisch ergänzen

$$\begin{aligned} p \cdot k &= -\frac{1}{2} ((p-k)^2 - p^2 - k^2) \\ (p-k) \cdot (p-q) &= \frac{1}{2} ((p-k)^2 + (p-q)^2 - (k-q)^2) . \end{aligned} \quad (\text{E.5})$$

Kürzen ergibt

$$\begin{aligned} I(p, k, q) &= -2\epsilon \frac{1}{N} + \frac{1}{p^4(p-q)^2(k-q)^2(p-k)^2} - \frac{1}{p^4(p-q)^2 k^2 (k-q)^2} \\ &\quad - \frac{1}{p^2(p-q)^4 k^2 (k-q)^2} + \frac{1}{p^2(p-q)^4 k^2 (p-k)^2} . \end{aligned} \quad (\text{E.6})$$

114 ANHANG E. REKURSIONSBEZIEHUNG FÜR DAS ZWEI-SCHLEIFEN-INTEGRAL

Die Translationsinvarianz der dimensionalen Regularisierung lässt sich ausnutzen, um $I(p, k, q)$ weiter zu vereinfachen: Für $p \rightarrow p + q$, $q \rightarrow -q$ und $k \rightarrow k - q$ im zweiten Summanden

$$\frac{1}{p^4(p-q)^2(k-q)^2(p-k)^2} \rightarrow \frac{1}{p^2(p-q)^4k^2(p-k)^2} \quad (\text{E.7})$$

und im dritten Summanden

$$\frac{1}{p^4(p-q)^2k^2(k-q)^2} \rightarrow \frac{1}{p^2(p-q)^4k^2(k-q)^2} \quad (\text{E.8})$$

ergibt sich

$$\begin{aligned} I_{\text{trans}}(p, k, q) &= 2 \left(-\epsilon \frac{1}{p^2(p-q)^2k^2(k-q)^2(p-k)^2} \right. \\ &\quad \left. - \frac{1}{p^2(p-q)^4k^2(k-q)^2} + \frac{1}{p^2(p-q)^4k^2(p-k)^2} \right). \end{aligned} \quad (\text{E.9})$$

Die Transformation $q \rightarrow -q$ ist möglich, da das Integral nur von q^2 abhängen darf. Integration von $I_{\text{trans}}(p, k, q)$ ergibt die in Abb. 2.1 dargestellte Identität in Übereinstimmung mit [30].

$$\begin{aligned} &\epsilon \int \frac{d^d p d^d k}{(2\pi)^{2d}} \frac{1}{p^2(p-q)^2k^2(k-q)^2(p-k)^2} \\ &= \int \frac{d^d p d^d k}{(2\pi)^{2d}} \frac{1}{p^2(p-q)^4k^2(p-k)^2} - \int \frac{d^d p d^d k}{(2\pi)^{2d}} \frac{1}{p^2(p-q)^4k^2(k-q)^2}. \end{aligned} \quad (\text{E.10})$$

Literaturverzeichnis

- [1] Particle Data Group, Review of Particle Properties, Eur. Phys. J. C3 (1998) 1.
- [2] ALEPH collaboration, Z. Phys. C76 (1997) 15; Eur. Phys. J. C4 (1998) 409.
- [3] ALEPH collaboration, CERN-EP/99-026.
- [4] OPAL collaboration, Eur. Phys. J. C7 (1999) 571.
- [5] C. Bernard, A. Duncan, J. LoSecco and S. Weinberg, Phys. Rev. D12 (1975) 792; E. Poggio, H. Quinn and S. Weinberg, Phys. Rev. D13 (1976) 1958.
- [6] R. Shankar, Phys. Rev. D15 (1977) 755.
- [7] K.G. Chetyrkin, N.V. Krasnikov and A.N. Tavkhelidze, Phys. Lett. 76B (1978) 83; N.V. Krasnikov and A.A. Pivovarov, Phys. Lett. B112 (1982) 397; N.V. Krasnikov, A.A. Pivovarov and N.N. Tavkhelidze, JETP Lett. 36 (1982) 333; Z. Phys. C19 (1983) 301; A. A. Penin and A.A. Pivovarov, Phys. Lett. B357 (1995) 427.
- [8] K. Schilcher and M.D. Tran, Phys. Rev. D29 (1984) 570.
- [9] E. Braaten, Phys. Rev. Lett. 53 (1988) 1606.
- [10] E. Braaten, Phys. Rev. D39 (1989) 1458.
- [11] S. Narison and A. Pich, Phys. Lett. B211 (1988) 183.
- [12] E. Braaten, S. Narison and A. Pich, Nucl. Phys. B373 (1992) 581.
- [13] J.G. Körner, F. Krajewski and A.A. Pivovarov, Eur. Phys. J. C12 (2000) 461.
- [14] J.G. Körner, F. Krajewski and A.A. Pivovarov, Eur. Phys. J. C14 (2000) 123.
- [15] J.G. Körner, F. Krajewski and A.A. Pivovarov, Phys. Rev. D63 (2001) 036001, hep-ph/0002166.
- [16] J.G. Körner, F. Krajewski and A.A. Pivovarov, Eur. Phys. J. C20 (2001) 259, hep-ph/0003165.

- [17] N.V. Krasnikov and A.A. Pivovarov, *Mod. Phys. Lett.* A11 (1996) 835; *Phys. Atom. Nucl.* 64 (2001) 1500; S. Groote, J. G. Körner and A. A. Pivovarov, *Phys. Rev.* D65 (2002) 036001; A. A. Pivovarov, [arXiv:hep-ph/0104213].
- [18] A.A. Pivovarov, *Nucl. Phys. Proc. Suppl.* 64 (1998) 339 [hep-ph/9708461], *Phys. Atom. Nucl.* 62 (1999) 1924, *Sov. J. Nucl. Phys.* 52 (1990) 372; A.A. Pivovarov and A.S. Zubov, *Phys. Atom. Nucl.* 63 (2000) 1650.
- [19] A.A. Pivovarov, *Sov. J. Nucl. Phys.* 54 (1991) 676; *Z. Phys.* C53 (1992) 461; *Nuovo Cim.* 105A (1992) 813; N.V. Krasnikov and A.A. Pivovarov, *Phys. Lett.* B116 (1982) 168.
- [20] F. Le Diberder and A. Pich, *Phys. Lett.* B286 (1992) 147.
- [21] W.M. Marciano and H. Pagels, *Phys. Rep.* 36C (1978) 137.
- [22] M.E. Peskin and D.V. Schroeder, *An introduction to quantum field theory*, Addison-Wesley (1995).
- [23] J. Collins, *Renormalisation*, Cambridge University Press (1984).
- [24] T. van Ritbergen, J.A.M. Vermaseren and S.A. Larin, *Phys. Lett.* B400 (1997) 379.
- [25] K.G. Chetyrkin, *Phys. Lett.* B404 (1997) 161.
- [26] T. van Ritbergen, J.A.M. Vermaseren and S.A. Larin, *Phys. Lett.* B405 (1997) 327.
- [27] S. Groote, J. G. Korner and A. A. Pivovarov, *Eur. Phys. J.* C11 (1999) 279, *Nucl. Phys.* B542 (1999) 515, *Phys. Lett.* B443 (1998) 269; S. Groote and A. A. Pivovarov, *Nucl. Phys.* B580 (2000) 459; S. Narison and A.A. Pivovarov, *Phys. Lett.* B327 (1994) 341 [hep-ph/9403225].
- [28] K.G. Chetyrkin, A.L. Kataev and F.V. Tkachov, *Nucl. Phys.* B174 (1980) 345.
- [29] T. Muta, *Foundations of Quantum Chromodynamics*, World Scientific Lecture Notes in Physics, Vol. 5
- [30] K.G. Chetyrkin and F.V. Tkachov, *Nucl. Phys.* B192 (1981) 159.
- [31] R. Harlander, *Acta Phys. Polon.* B30 (1999) 3443, hep-ph/9910496.
- [32] S.G. Gorishny, A.L. Kataev and S.A. Larin, *Phys. Lett.* B259 (1991) 144.
- [33] L.R. Surguladze and M.A. Samuel, *Phys. Rev. Lett.* 66 (1991) 560, 2416(E), *Phys. Rev.* D44 (1991) 1602.
- [34] K.G. Chetyrkin, *Phys. Lett.* B391 (1997) 402.
- [35] K.G. Chetyrkin, *Phys. Lett.* B390 (1997) 309.

- [36] K.G. Chetyrkin and J.H. Kühn, *Phys.Lett.* B406 (1997) 102.
- [37] G. Grunberg, *Phys. Lett.* B95 (1980) 70, *Erratum-ibid.* B110 (1982) 501.
- [38] A. Hsieh and E. Yehudai, *Comput. Phys.* 6 (1992) 253
- [39] J.D. Bjorken and S.D. Drell, *Relativistische Quantenfeldtheorie*,
B.I.-Hochschultaschenbuch Band 101.
- [40] N.V. Krasnikov, *Nucl. Phys.* B192 (1981) 497.
- [41] A.L. Kataev, N.V. Krasnikov and A.A. Pivovarov, *Phys. Lett.* B107 (1981) 115;
Nucl. Phys. B198 (1982) 508; A.A. Pivovarov, *Phys. Atom. Nucl.* 63 (2000) 1646
- [42] A. Dhar and V. Gupta, *Phys. Rev.* D29 (1984) 2822.
- [43] S.J. Brodsky, J.R. Pelaez and N. Toumbas, *Phys. Rev.* D60 (1999) 037501.
- [44] S. Groote, J.G. Körner, A.A. Pivovarov and K. Schilcher, *Phys. Rev. Lett.* 79 (1997) 2763.
- [45] K.G. Chetyrkin, B.A. Kniehl, M. Steinhauser, *Phys. Rev. Lett.* 79 (1997) 2184.
- [46] A.A. Penin, A.A. Pivovarov, *Nucl. Phys.* B549 (1999) 217, *Phys. Lett.* B443 (1998) 264, *Phys. Lett.* B435 (1998) 413; J.H. Kühn, A.A. Penin and A.A. Pivovarov, *Nucl. Phys.* B534 (1998) 356; A.A. Pivovarov, *Phys. Lett.* B475 (2000) 135.
- [47] S. Groote, J.G. Körner and A.A. Pivovarov, *Phys. Lett.* B407 (1997) 66; *Mod. Phys. Lett.* A13 (1998) 637.
- [48] A. Pich and J. Prades, *JHEP* 9806:013, (1998); *ibid* 9910:004, (1999).
- [49] F. Wilczek, IASSNS-HEP-99-64, Jun 1999, [hep-ph/9907340](http://arxiv.org/abs/hep-ph/9907340).
- [50] V.I. Zakharov, *Prog. Theor. Phys. Suppl.* 131 (1998) 107.
- [51] S. Groote, “Compendium on Adler’s function”, nicht veröffentlichte persönliche Aufzeichnungen.
- [52] P.M. Stevenson, *Phys. Rev.* D23 (1981) 2916; A. A. Penin and A. A. Pivovarov, *Phys. Lett.* B367 (1996) 342.
- [53] J. Kubo, S. Sakakibara and P.M. Stevenson, *Phys. Rev.* D29 (1984) 1682.
- [54] W.J. Marciano and A. Sirlin, *Phys. Rev. Lett.* 61 (1988) 1815.
- [55] E. Braaten and C.S. Li, *Phys. Rev.* D42 (1990) 3888.

- [56] S. Groote, J.G. Körner and A.A. Pivovarov Eur. Phys. J. C24 (2002) 393, A.A. Pivovarov, hep-ph/0110249, Phys. Atom. Nucl. 65 (2002) 1319 J.G. Körner, A.A. Pivovarov and K. Schilcher Eur. Phys. J. C9 (1999) 551.
- [57] C. Becchi, S. Narison, E. de Rafael and F.J. Yndurain, Z. Phys. C8 (1981) 335.
- [58] A.A. Ovchinnikov and A.A. Pivovarov, Phys. Lett. B163 (1985) 231; N.V. Krasnikov and A.A. Pivovarov, Nuovo Cim. 81A (1984) 680.
- [59] Y. Chung et al. Z. Phys. C25 (1984) 151; H.G. Dosch, M. Jamin and S. Narison, Phys. Lett. B220 (1989) 251.
- [60] K.G. Chetyrkin, J.H. Kühn and A.A. Pivovarov, Nucl. Phys. B533 (1998) 473.
- [61] S. Narison and E. de Rafael, Phys. Lett. B103 (1981) 57.
- [62] J. Gasser and H. Leutwyler, Phys. Rept. 87 (1982) 77.
- [63] A.L. Kataev, N.V. Krasnikov and A.A. Pivovarov, Phys. Lett. B123 (1983) 93; Nuovo Cim. 76A (1983) 723.
- [64] S.G. Gorishnii, A.L. Kataev and S.A. Larin, Phys. Lett. B135 (1984) 457.
- [65] M. Jamin and M. Münz, Z. Phys. C66 (1995) 633.
- [66] K.G. Chetyrkin, D. Pirjol and K. Schilcher, Phys. Lett. B404 (1997) 337.
- [67] ALPHA and UKQCD Collaboration (Joyce Garden et al.), hep-lat/9906013.
- [68] ALPHA Collaboration (Marco Guagnelli et al.), Nucl. Phys. B560 (1999) 465.

Abbildungsverzeichnis

2.1	Darstellung des nichttrivialen Zwei-Schleifen-Diagramms durch zwei triviale Zwei-Schleifen-Diagramme. Einfache Linien symbolisieren Propagatoren der Form $1/p^2$ und Linien mit Punkt Propagatoren der Form $1/p^4$	12
2.2	Das nicht planare und das planare Drei-Schleifen-Master-Diagramm (Linien symbolisieren skalare Propagatoren $1/p^2$)	13
4.1	4-Fermion-Vertex der effektiven Wirkung	30
4.2	Darstellung von Gleichung (4.13). Die Summe über H läuft über alle hadronischen Zerfallskanäle und $\int d\Pi_f$ steht für die Integration über den Phasenraum der Hadronen.	32
4.3	Diagramm für Gl. (4.18)	34
4.4	Integrationskontur in der komplexen s-Ebene	40
5.1	Bei der Berechnung der führenden Ordnung und der ersten QCD-Korrektur der Korrelationsfunktion auftretende Feynman-Diagramme. Fettgedruckte Quarkpropagatoren bezeichnen hierbei das als massiv behandelte Strange-Quark mit Masse m_s und dünngedruckte Quarkpropagatoren die Up- und Down-Quarks, deren Massen vernachlässigt werden können.	47
8.1	Messung der Vektor- (v_1) -plus-Axialvektor- (a_1) -Spektraldichte aus τ -Zerfällen in strangelose Hadronen und Vorhersage des Parton-Modells für masselose QCD. (Quelle: ALEPH-Kollaboration [2])	78
8.2	Resultate für die starke Kopplungskonstante α_s aus verschiedenen Experimenten. (Quelle: Particle Data Book [1])	82
9.1	Laufen der effektiven Kopplungskonstante $a_E(\phi)$ auf einer kreisförmigen Kontur in der komplexen Ebene ($Q^2 = M_\tau^2 e^{i\phi}$), berechnet mit der β -Funktion in der LO-, NLO- und NNLO-Näherung (links: Realteil, rechts: Imaginärteil).	90
9.2	Laufen der effektiven Koeffizienten-Funktion C_q auf einer kreisförmigen Kontur in der komplexen Ebene ($Q^2 = M_\tau^2 e^{i\phi}$), berechnet mit der γ_q -Funktion in der LO-, NLO- und NNLO-Näherung (links: Realteil, rechts: Imaginärteil).	90
9.3	Aus τ -Zerfällen in Hadronen mit Strangeness bestimmte Vektor- (v) -plus-Axialvektor- (a) -Spektraldichte [3]. Die mit (MC) bezeichneten Daten stammen aus Monte-Carlo-Simulationen	95

9.4 Experimenteller Integrand $d(\delta R_\tau)/ds$ für Gl. (9.29) [3]	96
--	----

Danksagung

Ich möchte allen danken, die mich beim Schreiben meiner Diplomarbeit unterstützt haben, besonders

- Prof. Dr. J.G. Körner
- Prof. Dr. A.A. Pivovarov
- Dr. S. Groote
- I. Bierenbaum, K. Farouqi, A. Holfter und J. Maul
- meinen Eltern